

T.C.

NİĞDE ÜNİVERSİTESİ
FEN BİLİMLERİ ENSTİTÜSÜ
KİMYA ANABİLİM DALI

**İMİNOOKSİMLİ SCHIFF BAZLARININ SENTEZİ VE GEÇİŞ METAL
KOMPLEKSLERİNİN İNCELENMESİ**

Selma Yıldırım UÇAN

1288720

Doktora Tezi

128870

Danışman: Doç. Dr. Bedrettin MERCİMEK

DOĞAL TARİHİ TAKİD EDEBİYATI
TEKNOLOJİ İŞLETİM KURULU
TEKNOLOJİ İŞLETİM KURULU

Ağustos, 2002

Fen Bilimleri Enstitüsü Müdürlüğüne;

Bu çalışma jürimiz tarafından KİMYA ANABİLİM DALI'nda DOKTORA TEZİ olarak kabul edilmiştir

Başkan: Prof. Dr. Gazi İREZ (Muğla Üniversitesi)

.....


Üye: Prof. Dr. Kadriye KAYAKIRILMAZ (Niğde Üniversitesi)

.....


Üye: Prof. Dr. H. İsmet UÇAN (Selçuk Üniversitesi)

.....


Üye: Doç. Dr. Bedrettin MERCİMEK (Muğla Üniversitesi)

.....

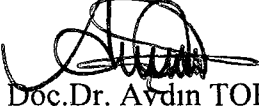

Üye: Yrd. Doç. Dr. Ali İhsan PEKACAR (Niğde Üniversitesi)

.....


ONAY:

Bu Tez 29.08.2002 tarihinde Fen Bilimleri Enstitüsü Yönetim Kurulunca Belirlenmiş Olan Yukarıdaki Jüri Üyeleri Tarafından Uygun Görülmüş ve Enstitü Yönetim Kurulu'nun Kararıyla Kabul Edilmiştir.

29.08.2002


Doç. Dr. Aydin TOPÇU

Enstitü Müdürü

ÖZET

İMİNOOKSİMLİ SCHIFF BAZLARININ SENTEZİ VE GEÇİŞ METAL KOMPLEKSLERİNİN İNCELENMESİ

UÇAN, Selma Yıldırım

Niğde Üniversitesi Fen Bilimleri Enstitüsü Kimya Anabilim Dalı

Danışman : Doç. Dr. Bedrettin MERCİMEK

Agustos, 2002, 110 sayfa

Bu çalışmada çıkış maddesi olarak 2-asetilnaftalin kullanıldı. 2-Asetilnaftalin sodyum etoksitli ortamda n-bütilnitrit ile nitrozolanarak izonitrozo-2-asetilnaftalin elde edildi. Isonitrozo-2-asetilnaftalinin farklı aminler (metilamin, benzilamin, 1,2-diamino-propan ve etilendiamin) ile reaksiyonlarından dört yeni ligand; metiliminoisonitrozo-2-asetilnaftalin, benziliminoisonitrozo-2-asetilnaftalin, 1,2-propilimino-bis(isonitrozo-2-asetilnaftalin) ve 1,2-etilimino-bis(isonitrozo-2-asetilnaftalin sentezlendi.

Schiff bazlarının Ni(II), Cu(II), Co(II), Zn(II), Cd(II) ve Hg(II) asetat tuzları ile 24 kompleksi sentezlendi. Sentezlenen 28 yeni bileşigin yapıları; elementel analiz, FT-IR, ¹H-NMR, ¹³C-NMR, UV-Vis, magnetik suszeptibilite ve MS yöntemleriyle aydınlatıldı.

Anahtar Kelimeler : İminoooksim, Schiff baz, metal kompleksler,

SUMMARY

SYNTHESIS OF İMİNEOXİME SCHİFF BASES AND İNVESTİGATİON OF THEİR TRANSİTİON METAL COMPLEXES

UÇAN, Selma Yıldırım

Niğde Üniversity Graduate School of Natural and Applied Science

Department of Chemistry

Supervisor : Doç. Dr. Bedrettin MERCİMEK

August 2002, 110 pages

In this work 2-acetylnaphthalene was used as a starting material. Isonitroso-2-acetylnaphthalene has been isolated through the nitrosation reaction between 2-acetylnaphthalene and butylnitrite in sodium ethoxide medium. Isonitroso-2-acetylnaphthalene was reacted with different amines (methylamine, benzylamine, 1,2-diaminopropane and 1,2-diaminoethane). As a result of these reactions, four new ligands; methyliminoisonitroso-2-acetylnaphthalene, benzyliminoisonitroso-2-acetyl-naphthalene, 1,2-prophylimino-bis(isonitroso-2-acetylnaphthalene) and 1,2-ethylimino-bis(isonitroso-2-acetylnaphthalene) were synthesized.

The complexes of Schiff bases were synthesized by Ni(II), Cu(II), Co(II), Zn(II), Cd(II) and Hg(II) acetate salts.

As a conclusion of above work, four different ligands and their complexes were characterized by elementary analysis, IR, ¹H NMR, ¹³C-NMR, MS, UV-Vis and Magnetic Susceptibility spectroscopy.

Key Words: İmineoxime, Schiff Base, Metal Complexes

ÖNSÖZ

Bu çalışma, danışmanım Doç. Dr. Bedrettin Mercimek'in Niğde Üniversitesi Araştırma Fonundan (NÜAF) sağladığı proje desteği ile Niğde Üniversitesi Fen Edebiyat Fakültesi Kimya Bölümü laboratuarlarının dan yararlanılarak yürütülmüştür.

Donör gruplara sahip ligandların metaller ile oluşturdukları komplekslerin yapı ve özelliklerinin incelenmesi, anorganik, organik, analitik kimyada büyük öneme sahip olup, üzerinde her geçen gün daha çok çalışma yapılmaktadır. Bu çalışmanın amacı yeni iminooksimli schiff baz türevlerini ve geçiş metal komplekslerini sentezlemek ve bazı özelliklerini incelemektir.

Bu çalışmada 2-asetilnaftalin'den çıkararak, isonitroso-2-asetilnaftalin sentezlendi. Isonitroso-2-asetilnaftalin ile metilamin, benzilamin, 1,2-diaminopropan ve etilendiamin'den dört yeni Schiff bazı ve Ni(II), Cu(II), Co(II), Zn(II), Cd(II) ve Hg(II) acetat tuzları ile schiff bazlarının kompleksleri sentezlendi. Sentezlenen 28 yeni bileşigin yapıları elementel analiz, FT-IR, $^1\text{H-NMR}$, $^{13}\text{C-NMR}$, UV-Vis, Magnetik suszeptibilite ve MS yöntemleriyle aydınlatıldı.

Bu çalışma, Niğde Üniversitesi Fen Bilimleri Enstitüsü'ne Doktora Tezi olarak sunulmuştur.

TEŞEKKÜR

Doktora çalışmamın yönetimini kabul eden, konu seçiminde, çalışmaların yönlendirilmesinde, NÜAF'dan proje alınmasında, araştırma laboratuvarı olanaklarının sağlanmasında, tezin hazırlanmasında yardımlarını esirgemeyen ve bana her zaman destek olan değerli hocam Doç. Dr. Bedrettin Mercimek'e saygı ve şükranlarımı sunarım.

Tez süresince çalışmalarımın her safhasında yakın ilgi ve yardımlarını gördüğüm Tez İzleme Komitesi üyesi olan Prof. Dr. H. İsmet UÇAN'a ve Yrd.Doç.Dr.Ali İhsan PEKACAR'a, araştırmam süresince yardımlarını gördüğüm, Prof. Dr. Kadriye KAYAKIRILMAZ'a ve eşim Dr. Mustafa UÇAN'a teşekkür ederim.

Hep yanında olduğunu bildiğim bütün hocalara, mesai arkadaşlarına ve yaşamım süresince bana her zaman destek olan aileme teşekkür ederim.

Bu araştırmayı FEB 2001 / 022 nolu proje olarak destekleyen N. Ü. Araştırma Fonuna teşekkür ederim.

Arş. Gör. Selma Y. UÇAN

İÇİNDEKİLER

ÖZET	iii
SUMMARY	iv
ÖNSÖZ	v
TEŞEKKÜR	vi
İÇİNDEKİLER DİZİNİ	vii
ŞEKİLLER DİZİNİ	xii
TABLOLAR DİZİNİ	xii
KISALTMA ve SİMGELER	xiii

BÖLÜM-I

GİRİŞ ve ÖNCEKİ ÇALIŞMALAR	1
---	---

BÖLÜM-II **GENEL BİLGİLER**

2.1.Schiff Bazları	6
2.1.1. Schiff bazları ve özellikleri	6
2.1.2. Schiff bazlarının oluşum mekanizması	10
2.1.3. Azometin grubunun geometrik izomeri	10
2.1.4. Schiff bazlarının sentezleri.....	11

2.1.5. Schiff bazlarının metal kompleksleri ve spektroskopik özellikleri	12
2.2. Oksimler.....	17
2.2.1. Oksimlerin genel özelliklerı	18
2.2.2. Oksimlerin eldesi	19
2.2.3. Oksimlerin reaksiyonları.....	21
2.2.4. Oksimlerin spektroskopik özellikleri	23
2.3. Çalışmanın amacı.....	24

BÖLÜM-III

MATERIAL-METOT

3.1. Materyal	25
3.1.1. Çalışmada Kullanılan cihazlar	25
3.1.2. Kullanılan kimyasal maddeler	25
3.2. Metot	26
3.2.1. Sentezler	26
3.2.1.1. İzonitrozo-2-asetilnaftalin'in sentezi	26
3.2.1.2. Metilimino izonitrozo-2-asetilnaftalinin sentezi.....	27
3.2.1.3 HL^1 'in Ni(II), Cu(II), Co(II), Zn(II) ve Hg(II) komplekslerinin sentezi	27
3.2.1.4. Benzilimino izonitrozo-2-asetilnaftalin'in sentezi	28
3.2.1.5. HL^2 'in Ni(II),Cu(II), Co(II), Zn(II) ve Hg(II) komplekslerinin sentezi	29
3.2.1.6. 1,2-Propilimino-bis(izonitrozo-2-asetilnaftalin)'in sentezi	29
3.2.1.7. H_2L^3 'ün Ni(II), Cu(II), Co(II), Zn(II) ve Hg(II) komplekslerinin sentezi	30
3.2.1.8. 1,2-Etilimino-bis(izonitrozo-2-asetilnaftalin)'in sentezi	31
3.2.1.9.. H_2L^4 'ün Ni(II), Cu(II), Co(II), Zn(II) ve Hg(II) komplekslerinin sentezi	31
3.2.2. Sentezlenen bileşiklerin karakterizasyonu	32

3.2.1.8. FTIR spektrumlarının alınması	32
3.2.1.8. ^1H -NMR ve ^{13}C -NMR spektrumlarının alınması	32
3.2.1.8. Kütle spektrumlarının alınması.....	32
3.2.1.8. Elementel analiz sonuçlarının değerlendirilmesi	32

BÖLÜM-IV BULGULAR VE TARTIŞMA

4.1 Erime noktası renk ve verim bulgularının değerlendirilmesi	33
4.2. Elementel Analiz bulgularının değerlendirilmesi	33
4.3. FT-IR Spektrum bulgularının değerlendirilmesi	35
4.4. Magnetik Suszeptibilite sonuçlarının değerlendirilmesi.....	39
4.5. ^1H -NMR Spektrum bulgularının değerlendirilmesi	40
4.6. ^{13}C -NMR Spektrum bulgularının değerlendirilmesi	44
4.7. Kütle Spektrumlarının (MS) Değerlendirilmesi.....	45
4.8. UV-Vis spektrumlarının Değerlendirilmesi.....	47
4.9. Ligandlar ve kompleksler için önerilen yapılar.	49
4.9.1. Ligandların yapıları.....	49
4.9.2. Komplekslerin yapıları.....	49

BÖLÜM-V SONUÇLAR ve ÖNERİLER

SONUÇLAR	53
ÖNERİLER	56
KAYNAKLAR	57
EKLER	63
I. Ligand ve komplekslerin UV-Vis Spektrumları.....	63
II. Ligand ve komplekslerin karakteristik IR Spektrumları.....	68

III. Ligand ve komplekslerin $^1\text{H-NMR}$ Spektrumları	82
IV. Ligand ve komplekslerin Kütle Spektrumları.....	88
V. Ligandların $^{13}\text{C-NMR}$ Spektrumları	94
ÖZGEÇMİŞ	97



ŞEKİLLER DİZİNİ

Şekil 2.1. Azometin bağına komşu orta pozisyonunda SH grubu bulunduran Komplekslerin yapısı	9
Şekil 2.2. Salisilaldimin'in syn- izomeri	10
Şekil 2.3. Salisilaldoksimin Ni(II) kompleksi	12
Şekil 2.4. Co(II), Mn(II), Fe(II) ve Ni(II)'nin binükleer komplekslerinin yapısı	13
Şekil 2.5. N,N'-bis(salisilaldehit)-o-fenilendiamin Ni(II) ve Cu(II) komplekslerinin yapısı	14
Şekil 2.6. Cu(II) kompleksinin kare düzlem yapısı	15
Şekil 2.7. Ni(II) ve Cu(II) heterobimetalik komplekslerinin yapısı	15
Şekil 2.8. 2-Hidroksiimino propiyonik asit	17
Şekil 2.9. syn-Benzaldoksimin geometrik izomerleri	17
Şekil 2.10. vic-Dioksimlerde -OH gruplarının syn-, amphi- ve anti- izomerleri	18
Şekil 2.11. syn-, amphi- ve anti- Fenilglioksimlerin erime noktaları ve yapıları	18
Şekil 4.1. İzonitrozo-2-asetilnaftalin'in FT-IR spektrumu	36
Şekil 4.2. İzonitrozo-2-asetilnaftalin'in ¹ H-NMR spektrumu	42
Şekil 4.3. İzonitrozo-2-asetilnaftalin'in ¹³ C-NMR spektrumu	43
Şekil 4.4 İzonitrozo-2-asetilnaftalin'in MS spektrumu	46
Şekil 4.5. İminoooksimli Schiff bazlarının yapısı	49
Şekil 4.6. Ligandların Cu(II) komplekslerinin kare düzlem yapısı	50
Şekil 4.7. Ligandların Ni(II), Cd(II), Zn(II) ve Hg(II) komplekslerinin tetrahedral yapısı	51
Şekil 4.8. Ligandların Co(II) komplekslerinin oktaedral yapısı	52

ÇİZELGELER DİZİNİ

Çizelge 4.1. Sentezlenen ligandların ve komplekslerin fiziksel özellikleri ve elementel analiz sonuçları	35
Çizelge 4.2. Ligandların ve komplekslerin karakteristik FTIR Spektrumları (cm^{-1}) (KBR Pellet) ve Magnetik Suszeptibilite değerleri ..	38
Çizelge 4.3. Ligandların ve komplekslerin CDCl_3 $^1\text{H-NMR}$ Spektrumları δ (ppm)	40
Çizelge 4.4. Ligandların ve komplekslerin CDCl_3 $^{13}\text{C-NMR}$ Spektrumları δ (ppm) ...	40
Çizelge 4.5. Ligandların ve komplekslerin Kütle Spektrumları.....	42
Çizelge 4.6. Ligandların ve komplekslerin UV-Vis. Spektrumları	43

KISALTMA ve SİMGELER

DMSO	: Dimetilsülfoksit
DMF	: Dimetilformamit
CCl₄	: Karbontetraklorür
CHCl₃	: Kloroform
NMR	: Nükleer Magnetik Rezonans Spektroskopisi
L	: Litre
mL	: Mililitre
g	: Gram
FT-IR	: Fourier Transformu İnfrared Spektroskopisi
MS	: Kütle Spektrometresi
Ph	: Fenil
B.M.	: Bohr Magneton

BÖLÜM I

GİRİŞ VE ÖNCEKİ ÇALIŞMALAR

Geçiş metalleri ile farklı donör gruplara sahip ligandların meydana getirdikleri komplekslerin; özellikle makrosiklik bileşiklerin sentezinde ara kademe rolünü oynamaları, ayrıca bazı komplekslerin oluşum mekanizmalarının incelenmesiyle birçok biyokimyasal reaksiyon mekanizmalarının aydınlatılması, bu konu üzerindeki çalışmaların artmasına neden olmaktadır (Bekaroğlu, 1972, Tan, 1981, Uçan, 1997).

Schiff bazları ve oksimler, sürekli bir yeni sentezlenen geniş bir kimyasal grup olup başlıca sağlık olmak üzere çeşitli alanlarda kullanılmaktadır. Bazı oksimler antibiyotik olarak klinik kullanım alanı bulmuşlardır. Bazıları da organofosforlu ve karbamatlı bileşiklerin yol açtığı zehirlenmelerde atropinle birlikte tedavi amacıyla kullanılmaktadır. Bir oksim çeşidi olan fluoksamin antidepresant olarak psikiyatrik tedavi amacıyla kullanılmaktadır (Şimşek, 1998). Schiff bazlarının La(III) ve Eu(III) kompleksleri antitümör etkisi nedeniyle kanser araştırmalarında kullanılmaktadır (Yang ve Ark. 2000).

Kromatografide bazı polimerik Co(II) kompleksleri sabit faz olarak kullanılmıştır (Ersöz ve ark. 1993, Ayar ve ark., 2002). Fenol grupları içeren makrosiklik Schiff bazları ile geçiş metal iyonlarının sıvı-sıvı ekstraksiyonunda kullanılması incelenmiştir (Shigeki ve ark. 1993, Shigeki ve ark. 1994).

Schiff bazları karbonil bileşiklerinin primer aminlerle reaksiyonundan elde edilen kondensasyon ürünleridir. Schiff bazları ilk defa 1869 yılında alman kimyager H.Schiff tarafından sentezlenmiştir (Schiff, 1869). Pfeiffer tarafından da ilk kez ligand olarak kullanılmıştır. Bu tarihe kadar ligand olarak sadece küçük moleküller (CN^- , $C_2O_4^{2-}$, H_2N-NH_2) bilindiği için böylesine büyük moleküller ilginç birer ligand olarak kabul edilmiş ve pek çok metalle Schiff bazı kompleksleri hazırlanmıştır (Pfeiffer, 1932).

Bazı alifatik diaminlerle isonitrosoasetofenonun reaksiyonu sonucu alifatik bis(aminoglioksim) ve bis(isonitrosofenilketimin)etan-1,2-, bis(isonitrosofenilketimin)-propan-1,3 ligandlarını sentezleyerek bunların Ni(II), Cu(II) ve Co(II) metal kompleksleri incelenmiştir (Deveci ve İrez, 1994)

Fenilendiamin ile salisilaldehit'in kondensasyon reaksiyonu ile meydana gelen Schiff bazının binükleer Cu(II) ve Cd(II), mononükleer Co(II) ve Zn(II) kompleksleri

sentezlenmiştir. Bu komplekslerin Sn(IV) ve Ti(IV) klorür ile reaksiyonları incelenmiştir (Sarıkahya ve Demirhan, 1997).

Rao ve Kumar, 1995 yılında, 2,6-diasetilpiridin(N-benzol)glisilhidazon Schiff bazını ve La(III), Pr(III), Nd(III), Sm(III), Eu(III), Gd(III), Tb(III), Dy(III) ve Y(III) metal komplekslerini sentezlemiştir (Rao ve Kumar, 1995).

Garnovskii ve arkadaşları, 2-aminopiridine 2-tosilaminobenzaldehitin toluen deki çözeltisi ilave edilerek 2-tosil-amino(2-piridil) anilin Schiff bazını elde etmişlerdir. Schiff baz ile Co(II), Ni(II), Zn(II), Cd(II) ve Cu(II) metal tuzlarını kullanarak elektrokimyasal yöntemle metal komplekslerini sentezlemiştir (Garnovskii ve ark, 1997).

o-Fenilendiaminin sulu çözeltisine 1,1,3,3-tetrametoksipropan ilave edilerek N,N'-(1,3-propandiyolidene)-bis(1,2-benzendiamin) Schiff bazını ve Ni(II) kompleksi sentezlenmiştir (Dolphin ve ark, 1985).

1-Fenil-3-metil-4-benzoil-5-pirazolin ve isoniazidin kondensasyonuyla 1-fenil-3-metil-5-hidroksi-4-pirazolil fenil keton isonikotinoil hidazon Schiff bazı ve Ln(HL)₃.3.5H₂O (Ln(III) = La, Eu, Gd, Tb, Dy, Ho ve Er) kompleksleri Yang ve arkadaşları tarafından sentezlenmiştir. Araştırmacılar La ve Eu komplekslerinin antitümör etkisi olduğunu araştırmaları sonucunda saptamışlardır (Yang ve Ark. 2000).

İmin-oksimin Ni(IV) kompleksleri, perkloratlı ortamda pH 4.50-7.00'de Ni(III) imin-oksım komplekslerine indirgenmesi araştırılmıştır (Banerjee ark. 1998).

[N,N'-bis(salisilikidin)-2,2'-dimetil-1,3-propandiimin] in türevlerinin Co(II) kompleksleri sentezlenerek, çözünürlükleri ve oksijen adsorpsiyon özellikleri araştırılmıştır (Mathur ve ark. 1998).

Uçan ve arkadaşları, asetofenonun nitrozolanmasıyla izonitrozoasetofenonu sentezlemiştir. Bu çalışmada izonitrozoasetofenonun substitue diaminler (1,4-fenilendiamin, 1,1'-bifenil-4,4'-diamin, 1,1'-difenilmetan-4,4'-diamin veya 1,1'-difeniloksi-4,4'-diamin) ile kondensasyonuyla dört dişli Schiff bazları [1,4-fenilimino-bis(fenilasetoksim), 1,1'-bifenil-4,4'-diimino-bis(fenilasetoksim), 1,1'-difenilmetan-4,4'-diimino bis(fenilasetoksim) ve 1,1'-difeniloksi-4,4'-diimino-bis(fenilasetoksim)] elde edilmiştir. Bu Schiff bazları Ni(II) ve Cu(II) ile polimerik kompleks verirken Co(II) ile oktaedral kompleks

verdikleri rapor edilmiştir. Ligand ve komplekslerin yapıları $^1\text{H-NMR}$, IR spektroskopisi ve elementel analiz metodları ile aydınlatılmıştır (Uçan ve ark.1997)

Bir araştırmada 1,2-etilendiaminin 0 °C de metanol-etonol karışımında siyanojen $[(\text{CN})_2]$ ile reaksiyonu sonucu bis(Δ^2 -2-imidazolin) sentezlenmiştir. Bis(Δ^2 -2-imidazolin)'in "siyanojen-di-N-oksid" ile -10 °C de metilen klorür içerisindeki reaksiyonu sonucu "bis(Δ^2 -2-imidazolin)-5,5'-dioksim" (LH_2) sentezlenmiştir. LH_2 'nin Ni(II), Co(II), Cu(II), Zn(II), Cd(II) ve Hg(II) kompleksleri hazırlanmıştır. Ni(II) ve Co(II) komplekslerinin metal-ligand oranı 1:2 ve mononükleer yapıda olmalarına karşılık Cu(II) komplekslerinin metal-ligand oranı 3:2 ve trinükleer yapıda olduğu tespit edilmiştir. Çinko(II), Cd(II) ve Hg(II) komplekslerinde ise altı üyeli şelatin oluşması sonucu metal-ligand oranı 1:1 olan kompleksler olduğu saptanmıştır. Mononükleer Ni(II) ve Co(II) komplekslerinin Cu(II) ile reaksiyonu sonucu heterotrinükleer kompleksler elde edilmiştir (Mercimek ve İrez, 1995). Ayrıca başka bir çalışmada; Değişik mikroorganizmaların "in vitro" koşullarında "Bis(Δ^2 -2-imidazolin)-5,5'-dioksim" (LH_2)'nin Ni(II), Co(II), Zn(II), Cd(II) ve Hg(II) komplekslerinin antimikrobiyal özellikleri incelenmiştir (Uğur ve ark.1999).

Mercimek ve Özler 1999 yılında yaptıkları çalışmada, ditizon ile siyanojen-di-N-oksit reaksiyonu sonucu yeni heterosiklik bir oksim (2,3-hidroksiimino-4-fenil-6-fenilazo-1-tia-4,5-diazasiklohexa-5-dien (H_2L) ve altı kompleks sentezlemiştir. H_2L 'nın Ni(II), Co(II) ve Cu(II) komplekslerinde metal-ligand oranının 1:2 ve mononükleer yapıda olduğu tespit edilmiştir. H_2L 'nin Zn(II), Cd(II) ve Hg(II) ile oluşturduğu $[(\text{HL})\text{Cl}(\text{H}_2\text{O})\text{M}]$ komplekslerde ise altı üyeli şelatin oluşması sonucu metal-ligand oranı 1:1 olan kompleksler olduğu rapor edilmiştir (Mercimek ve Özler, 1999).

Fenilendiamin ile salisilaldehit, 2-hidroksi-1-naftilaldehit ya da o-hidroksiasetofenonun kondensasyon sonucunda oranı 1:2 olan üç tane dört dişli ligand; N,N-bis(salisilaldehit)-o-fenilendiamin, N,N-bis(2-hidroksi-1-naftilaldehit)-o-fenilendiamin ve N,N-bis(o-hidroksiasetofenon)-o-fenilendiamin sentezlenmiştir. Ni(II), Cu(II) ve Zn(II) iyonları ile metal-ligand oranı 1:1 olan kompleksler elde edilmiştir (Mokles ve Elzaher, 2001).

o-Fenilendiamin ve asetoasetanilitin kondensasyonuyla; Schiff bazı ve Ni(II), Mn(II), Cu(II), Zn(II) ve VO(II) iyonları ile nötral dört dişli N_2O_2 tipinde kompleksler sentezlenmiştir. Komplekslerin yapısı magnetik süszeptibilite, IR, UV-Vis ve $^1\text{H-NMR}$ ile aydınlatılmıştır. IR, UV-Vis spektrumları, Ni(II), Cu(II) ve Zn(II) komplekslerinin kare

düzlem, VO(II) kare piramit, Mn(II) kompleksinin oktaedral yapıda olduğunu göstermiştir (Raman ve ark.2001).

H_2L (3,14-dimetil-4,7,10,13-tetraazahexadeka-3,13-dien-2, 15-dion dioksimato) ligandı ile Fe(II)'nin perklorat tuzu kullanılarak $[Fe(H_2L)](ClO_4)_2$ Fe(II) kompleksi Chakravorty tarafından belirtilen metod ile sentezlenmiştir (Chakravorty, 1974). Sentezlenen $[Fe(H_2L)](ClO_4)_2$ imin-oksim kompleksinin periodat oksidasyonu üzerine kinetik çalışması yapılmıştır (Saha ve ark. 1998).

Tümer ve arkadaşları binükleer dört dişli Schiff bazlarının $[N,N'-bis(salisilidin)-1,5-diaminonaftalin, N,N'-bis(3-metoksisalisilidin)-1,5-diaminonaftalin ve N,N'-bis(4-hidroksialisilidin)-1,5-diaminonaftalin]n$ ın Cu(II), Ni(II) ve Co(II) komplekslerini sentezlenlemiştir. Araştırmacılar, bu komplekslerin yapılarını; elementel analiz, magnetik süszeptibilite, TG-DTA, IR spektrumları ile karakterize edilmiştir. Schiff bazların N_2O_2 tipinde olan dört dişli ligandları binükleer Cu(II) komplekslerinin geometrik yapısının tetrahedral, binükleer Co(II) ve Ni(II) komplekslerinin yapısının ise oktaedral geometriye sahip olduklarını bildirmiştir (Tümer ve ark. 1996).

Tümer ve arkadaşları 1997 yılında yaptıkları çalışmada, $N-(3-hidroksialisilidin)-3,5-di(ters-bütيل)-4-hidroksianilin$ ve $N-(3,4-hidroksi-salisilidin)-3,5-di(ters-bütيل)-4-hidroksianilin$ schiff bazlarının Co(II), Cu(II) ve Ni(II) komplekslerini sentezleyerek, magnetik süszeptibilite, IR, UV, 1H NMR, ^{13}C NMR ve elementel analiz yöntemleri ile komplekslerin yapılarını aydınlatmışlardır. Tüm komplekslerde metal-ligand oranı 1:2 olarak bulunmuş, Co(II) kompleksinin yapısının tetrahedral, Ni(II) ve Cu(II) komplekslerinin ise kare düzlem olduğu saptanmıştır (Tümer ve ark.1997).

Bir araştırmada, 2,4-Pentandion ve 2-aminobenzentiyolden bir Schiff bazi ile Ni(II) kompleksi $[Ni(C_{11}H_{11}NOS)]_2$ sentezlenmiştir. Bu Schiff bazının yapısında üç donör atom bulunduğu, 2-(2-merkapto-fenil)imino-4-pentano üç dişli bir ligand olduğu ve Ni(II) ile üçlü koordinasyon yaptığı bulunmuştur. Kompleksin yapısı IR, 1H NMR, MS ve elementel analiz sonuçlarına göre açıklanmıştır. Kristal ve molekül yapısı X-ray kristal diffraksiyon metoduyla belirlenmiştir. Kompleksin yapısında iki tane Ni(II) iyonunun merkezde NOS_2 tipinde koordinasyona girdiği. Ni(II) kompleksinin kare düzlem yapıda olduğu bulunmuştur (Ancin ve ark. 2001).

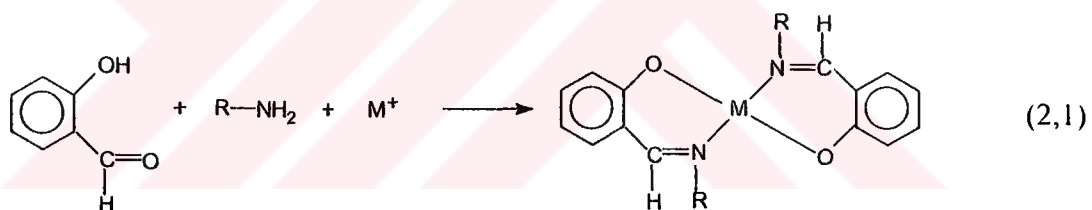
Zishen ve arkadaşları, 4-hidroksi salisilaldehit ve L-alaninden oluşan schiff bazının Cu(II), Zn(II) Ni(II) ve Co(II) komplekslerini sentezlemiştir. Bu bileşiklerin Ehrlich Ascites Carcinoma virüsüne karşı kanser aktivitesinin oldukça yüksek olduğu fareler üzerinde yapılan deneylerle gözlenmiştir (Zishen ve ark.1990).

BÖLÜM II

GENEL BİLGİLER

2.1. Schiff Bazları

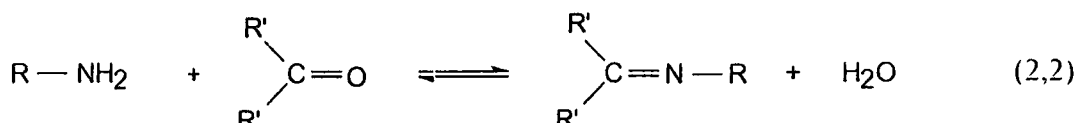
Aldehit ve ketonların uygun reaksiyon şartlarında primer aminlerle kondensasyonu sonucu meydana gelen ve yapılarında karbon-azot çift bağı bulunan bileşiklere "Schiff bazları" denir. Genel olarak yapılarında karbon-azot çift bağı ($C=N$) bulunan bileşiklere "Azometin yada imin bileşikleri" ve karbon azot çift bağından oluşan fonksiyonel guruba da "Azometin Gurubu" denir. Schiff bazları ilk defa 1864 yılında Alman kimyager H. Schiff tarafından sentezlenmiştir (Schiff,1869). 1930 yılında Pfeiffer tarafından ligand olarak kullanılmıştır (Pfeiffer,1932). Salisilaldehit ile stokimetrik orandan biraz fazla alınan herhangi bir alifatik primer aminle, alkollü veya sulu-alkollü ortamda, az mikardaki sodyum hidroksit veya sodyum asetat varlığında geçiş metalleri ile geri soğutucu altında ısıtıması ile N-alkil salisilaldiminlerin metal kompleksleri ilk kez Schiff tarafından elde edilmiştir (Schiff 1869) Bu tepkimeye ait denklem 2,1 de verilmiştir.



2.1.1. Schiff bazları ve özellikleri

Azometin grubundaki azot atomuna elektron salıcı bir alkil ya da aril grubu bağlılığı takdirde, azometin bileşığının kararlılığı (stabilitesi) artmaktadır. Azot atomunda -OH taşıyan oksimler, -NH taşıyan fenilhidrazon ve semikarbazonlar, alkil ya da aril sübstiyentini taşıyan schiff bazlarına göre hidrolize karşı çok daha dayanıklıdır.

Karbonil bileşikleriyle, primer aminlerin kondensasyonundan oluşan, N-alkil veya N-aril sübstiyen imin yapısındaki schiff bazları, hidrolize karşı pek dayanıklı değildir. Özellikle düşük pH'larda denklem 2,2 de gösterildiği gibi kendisini meydana getiren karbonil ve amin bileşiklerine ayrılır.



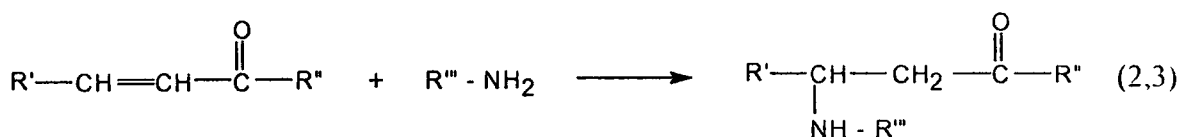
Reaksiyon iki yönlüdür ve denge genel olarak hissedilir bir hızla gerçekleşir. Reaksiyon, azot atomunda en az bir tane çiftleşmemiş elektron içeren elektronegatif atom bulunan aminlerle (örneğin: hidroksilaminin, semikarbazit veya hidrazinle) yapıldığı takdirde, tam olarak tamamlanır. Bu durumda reaksiyon ürünü kolay hidrolize uğramadığından yüksek bir verimle izole edilebilir.

Hidrolize yatkın olmaları nedeniyle Schiff bazlarının elde edilmesinde, daha çok susuz ortamda çalışılır. Reaksiyon sonucu meydana gelen su, azeotrop oluşturan bir çözücü ile uzaklaştırılır. Diaril ve alkil-aryl ketonlardan Schiff bazı elde edilirken, reaksiyon suyunun uzaklaştırılması gerekli olduğu halde, aldehit ve dialkil ketonlardan schiff bazı sentezinde suyun uzaklaştırılması gerekli olmamaktadır. Buradan diaril ve alkilaril ketiminler hidrolize karşı aldiminlerden ve dialkil ketiminlerden daha az dayanıklıdır ((Pratt, 1961))

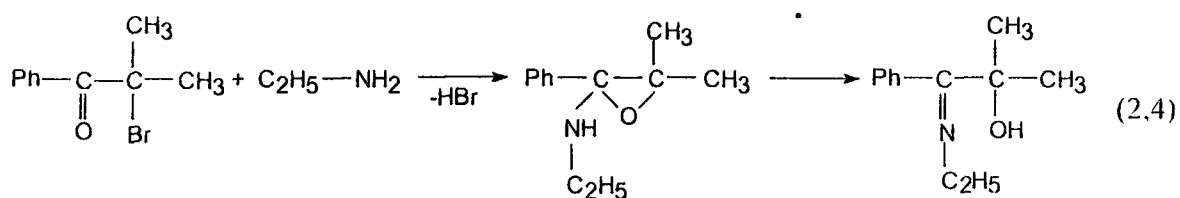
Aromatik aldehitler düşük sıcaklıkta ve uygun bir çözücü ortamında aminlerle reaksiyona girerler. Aromatik aldehitlerin aromatik aminlerle kondenzasyonunda, para pozisyonunda elektron çekici bir substituentin aldehitte bulunması halinde reaksiyon hızının arttığı, aminde bulunması halinde ise, reaksiyon hızının azaldığı anlaşılmıştır (Pratt, 1961).

Aldehitler primer aminlerle kolayca schiff bazı verdikleri halde, ketonlardan schiff bazı elde edilmesi oldukça zordur. Ketonlardan schiff bazı elde edebilmek için reaksiyon sırasında açığa çıkan su ile azeotrop oluşturan bir çözücü seçilmesi, katalizör seçimi, uygun pH aralığı ve uygun reaksiyon sıcaklığının seçimi gibi çok sayıda faktörün dikkate alınması gereklidir. Özellikle aromatik ketonlardan schiff bazını elde edebilmek için, yüksek sıcaklık, uzun reaksiyon süresi ve katalizör gereklidir (Bilmann, 1958, Patai, 1970).

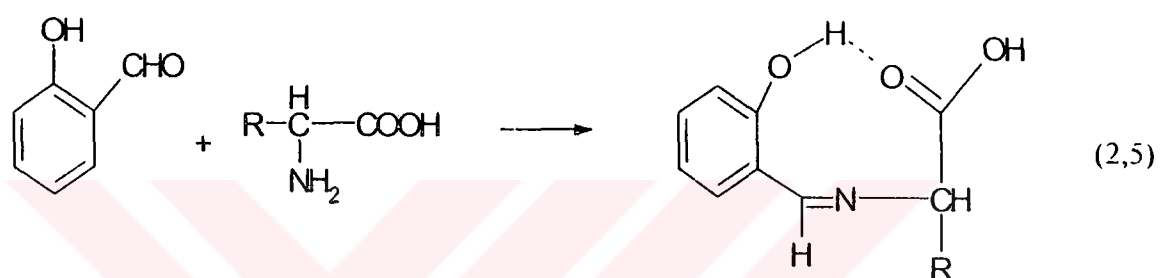
α -, β - Doymamış ketonlar primer aminlerle ve amonyakla azometin bileşiği vermezler. Fakat çift bağa katılma sonucu β -amino ketonları oluşur. (2,3)



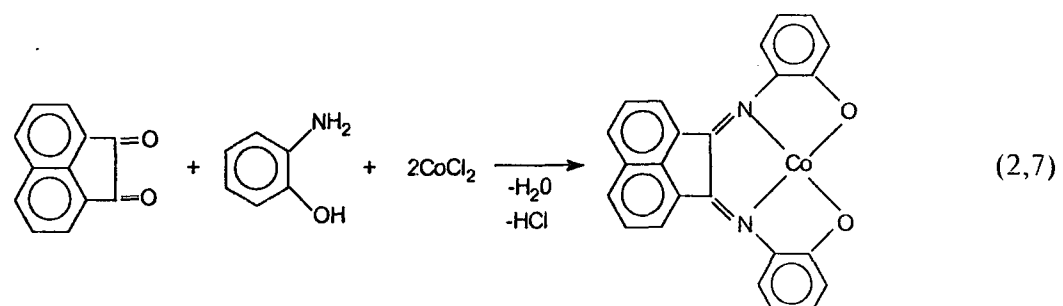
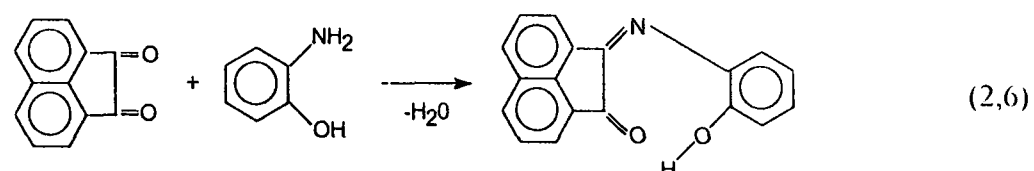
α -Bromoketonlar alkil aminlerle tepkimeye girdiğinde α -hidroksi iminleri verir. Reaksiyon ara ürünü olarak epoksitler oluşur (Stevens, 1963) (2,4).



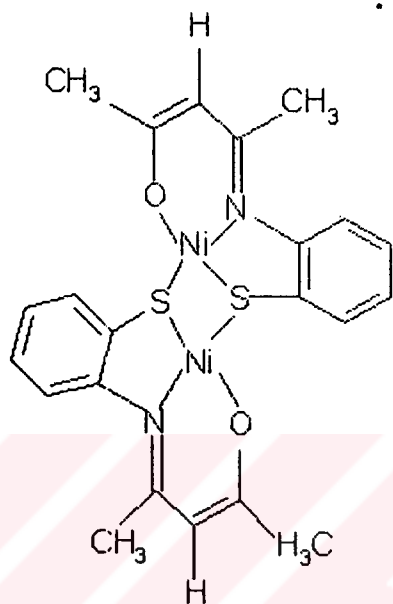
α -Amino asitlerin o-hidroksi benzaldehit veya benzer aldehitlerle verdikleri schiff bazları şelat bağları nedeniyle kararlı olduğundan, sentezlenebilmiptedir (Gerngross, 1963) (2,5).



Bir α -Diketon olan asenaftakinonun metanollu çözeltisinde o-aminofenol ile doğrudan reaksiyona girdiğinde karbonil gruplarından sadece birinin o-aminofenolle azometin bağı oluşturduğu denklem 2,6 de gösterilmiştir. Aynı reaksiyon Co^{2+} ve UO_2^{2+} iyonları varlığında gerçekleştirildiğinde ise, metal iyonlarının yönlendirici etkisi nedeni ile asenaftakinon daki her iki karbonil grubunun azometin bağına dönüştüğü görülmüştür (Bıçak 1980) (2,7).



Schiff bazları koordinasyon kimyasında ligand olarak kullanılır. Yapılarında bulunan donör atomlarının sayısına bağlı olarak çok dişli ligand olarak davranışır. Ligandın yapısında azometin bağına komşu orta konumunda OH, SH gibi gruplar varsa bunlar metalle birlikte altılı halka oluşturdukları için dayanıklı kompleksler meydana gelir (Ancin ve ark. 2002) (Şekil 2.1.).



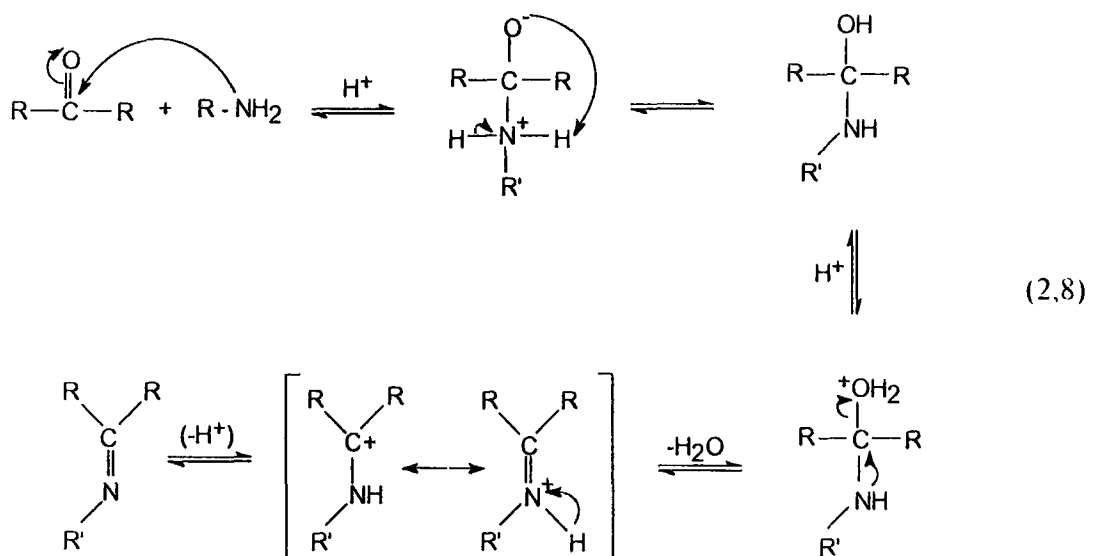
Şekil 2.1. Azometin bağına komşu orta konumunda SH grubu bulunduran komplekslerin yapısı

2.1.2. Schiff bazlarının oluşum mekanizması

Schiff bazlarının oluşum mekanizması; ilk basamakta nükleofilik özelliğe sahip olan amin asidik ortamda, karbonil grubuna katılır. Daha sonra azot bir proton kaybederken oksijene bir proton bağlanır, protonlaşmış –OH grubu su olarak ayrılır. Denklem 2.8. İmin oluşumu pH'a bağlı bir tepkimedir. pH<3 olduğunda aminin tuzu oluşacağından serbest amin derişimi ihmali edilecek kadar düşer. Bu durumda, normalde hızlı olan katılma basamağı yavaşlar ve bu basamak tepkime mekanizmasında hız belirleyen basamak olur.

Asitliğin azalmasına karşılık birinci basamak daha hızlı ikinci basamak ise daha yavaş yürürl. En uygun pH, bu iki aşırı ucun arasındaki (pH 3-4 arası) pH tir. Bu pH nükleofilik katılma tepkimesini başlatmak ve yeterli hızda ayrılmının gerçekleşmesi için yeterlidir (Uyar, 1988).

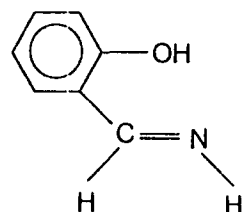
Nükleofilik katılma:



Bu mekanizma, hidrazoneların, semikarbozonların ve oksimlerin oluşum mekanizmalarının benzeridir. Aralarındaki fark schiff bazlarının hidrolize yatkın olmaları yani dehidrasyon kademesinin hız belirleyen basamak olarak ortaya çıkmasıdır.

2.1.3. Azometin grubunun geometrik izomeri

Aldiminlerde, syn- izomeri, C=N çift bağı çevresindeki hidrojen ve azota bağlı substituentin çift bağ düzleminin aynı tarafında olması halinde kullanılır (Şekil 2.2).



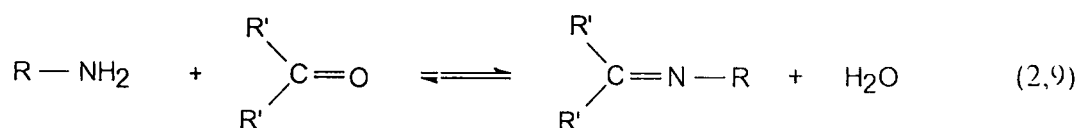
Şekil 2.2. Salisilaldimin'in syn- izomeri

C=N bağı etrafındaki dönenin C=C bağına göre daha kolay olması steroizomerlerin birbirlerine dönüştürmesini sağlar. Bunun nedeni ise karbona göre daha elektronegatif olan azot atomunun azometin başında bir polarizasyona yol açmasıdır. Eğer azometin grubundaki N atomunda elektron salıcı bir grup varsa, (oksimler ve hidrazone larda olduğu gibi) elektronegatif grubun N atomunun negatif yüklerini karbona doğru itmesi polarizasyonun azalmasına ve kovalent çift bağ karakterinin artmasına neden olur. Yani

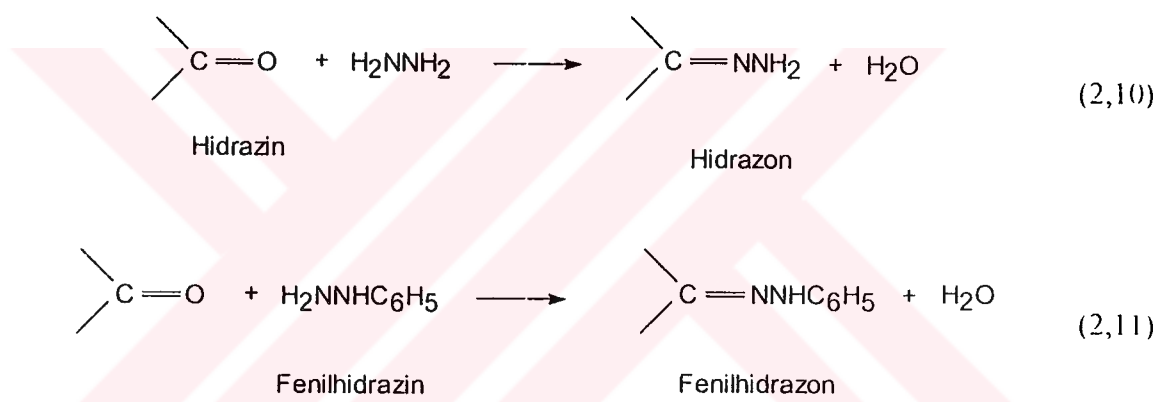
azot atomunda elektron salıcı bir grubun bulunması azometin bağı ($C=N$) etrafındaki dönmeyi zorlaştırrır (Bıçak, 1980).

2.1.4. Schiff bazlarının sentezleri

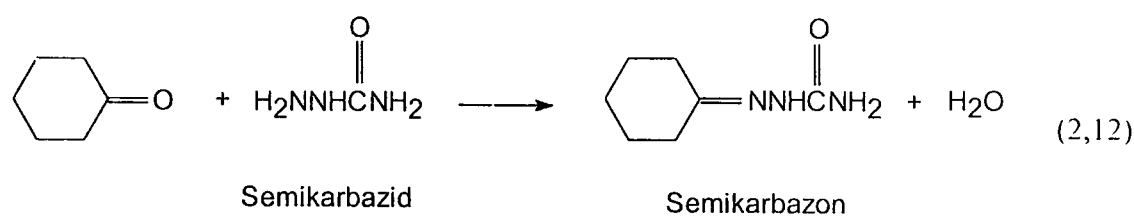
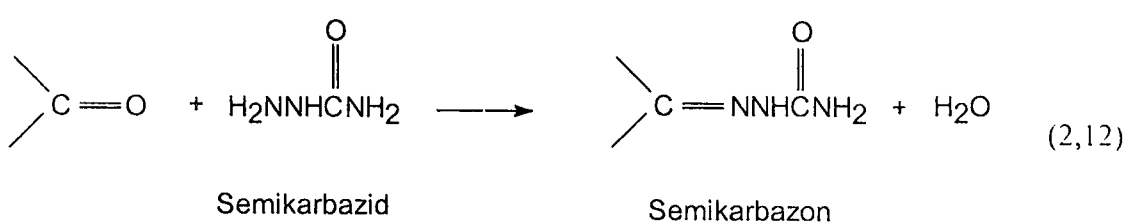
a) Aldehit ve ketonların primer aminler ile reaksiyonları, denklem 2,9 verilmiştir.



b) Aldehit ve ketonların hidrazin ve fenilhidrazin ile reaksiyonları denklem 2,10 ve 2,11 verilmiştir.



c) Aldehit ve ketonların semikarbazit ile reaksiyonları denklem 2.12 ve 2.13 yer almıştır.



2.1.5. Schiff bazlarının metal kompleksleri ve spektroskopik özellikleri

Azometin bağındaki azot atomunun çiftleşmemiş bir çift elektron (bağ yapmamış veya ortaklaşmamış elektron çifti) taşıması, bu grubun elektron verici olmasına, yani bazik karakterde olmasına neden olur. Böylece Lewis bazı durumundaki azometin grubu çiftleşmemiş bir çift elektronunu metale vererek koordinasyon bileşikleri oluşturur.

Azometin grubunun bazik olması, çiftleşmemiş elektronların metal iyonları ile koordinasyon yaparak kararlı kompleksler oluşturmaları için yeterli değildir. Azometin grubunun ligand olarak kararlı kompleksler oluşturabilmesi için molekülde hidrojen atomunun kolay uzaklaştırılabilen azometin bağına yakın bir fonksiyonel grup (örneğin: fenolik OH grubu gibi) bulunmalıdır. Böylece meydana gelen besli veya altılı kararlı şelat halkaları ortaya çıkar. Bunlara en iyi örnek salisilaldoksim kompleksleridir (Demirhan, 1997). Bu kompleksler suda çok az çözünür. (Şekil 2.3.).



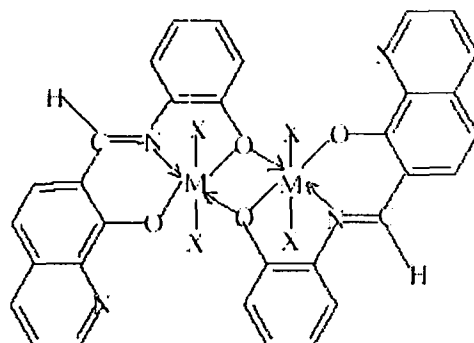
Şekil.2.3. Salisilaldoksim'in Ni(II) kompleksi

Bu tür bileşiklerin iki değerlikli metal iyonları ile oluşturdukları komplekslerin yapıları karedüzlem veya tetrahedraldir. Bu yalnızca metal iyonunun karakterine değil, aynı zamanda azot atomundaki substituentlerin karakterlerine de bağlıdır.

Bu komplekslerin yapılarının aydınlatılması için en iyi metod magnetik suszeptibilitesinin ölçümüdür. Ni^{2+} , Pd^{2+} ve Pt^{2+} iyonları d orbitalerinde 8 elektrona sahiptirler (Ni^{2+} : $[\text{Ar}] 3\text{d}^8 4\text{s}^0 4\text{p}^0$). Bu iyonların dörtlü koordinasyon yapmaları için iki ayrı olasılık vardır. Bu iyonlar eğer dsp^2 hibrit orbitaleri ile koordinasyona girerse, böyle bir kompleks kare düzlem yapıda ve diyamagnetik olacaktır. İyonlar sp^3 hibrit orbitaleri ile koordinasyona girdiğinde tetrahedral yapıda ve paramagnetik bir kompleks oluşur (Bıçak, 1980).

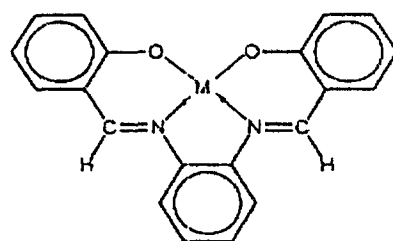
Kobalt atomu nikel atomundan bir eksik elektrona sahiptir ve dsp^2 hibrit orbitaleriyle bağ yapan Co(II) iyonunun kompleksleri karedüzlem yapıda ve bir tane çiftleşmemiş elektron taşıdıklarından, paramagnetiktir. Kobalt(II) nin sp^3 hibrit orbitaleri ile oluşturduğu tetrahedral yapıdaki komplekslerde ise üç tane çiftleşmemiş paralel spinli elektron

bulunduğu için paramagnetiktir. Kobalt(III)'ün d^2sp^3 hibrit orbitalleri ile bağ yaparak oluşturduğu oktaedral komplekslerde ise çiftleşmemiş elektron yoktur. Oktaedral yapıdaki Co(III) kompleksleri diamagnetiktir. 7-Formil-8-hidroksikinolinin 2-aminofenol ile sentezlenen Schiff bazının Co(II), Mn(II), Fe(III) ve Ni(II) kompleksleri oktaedral yapılara Şekil 2.4. örnek olarak verilebilir (El-Sonbati ve El-Bindary, 2000).



Şekil 2.4. Co(II), Mn(II), Fe(III) ve Ni(II)'nin binükleer komplekslerinin yapısı

Çinko(II) atomu d orbitalinde on elektrona sahiptir ve sp^3 hibrit orbitalleri ile tetrahedral yapıda diyamagnetik kompleksler oluşturur. Salisilaldiminin ve salisilaldoksimin Ni(II), Cu(II) ve Pd(II) kompleksleri karedüzlem yapıda ve diamagnetiktir. Şekil 2.5 de yapısı verilen N,N'-bis(salisilaldehit)-o-fenilendiamin Ni(II) kompleksi karedüzlem yapıda ve diamagnetik, Cu(II) kompleksi ise karedüzlem yapıda ve paramagnetiktir (Mokhles, 2001) (Şekil 2.5).

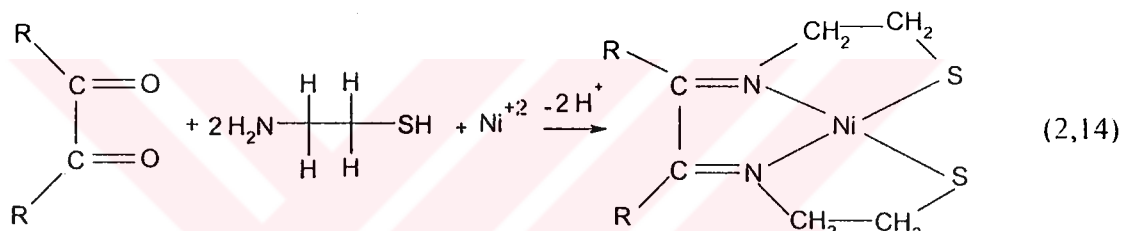


Şekil 2.5. N,N'-bis(salisilaldehit)-o-fenilendiamin Ni(II) ve Cu(II) komplekslerinin yapısı

Geçiş metal komplekslerinin IR spektrumlarında metal-ligand titreşim bantları uzak-IR'de ($650-500\text{cm}^{-1}$) görünür. Metal-azot (M-N) titreşim bantları amin komplekslerinde $500-650\text{cm}^{-1}$ de ortaya çıkar (Djebbar, 2001).

Asetonil aseton ve türevlerinin metal kompleksleri ile yapılan çalışmalarda metal-oksijen (M-O) titreşim bandları $500\text{-}400\text{ cm}^{-1}$ aralığında, metal-kükürt (M-S) titreşim bandı $420\text{-}440\text{ cm}^{-1}$ arasında bulunmuştur (Burger, 1965). Sulu komplekslerde ise su molekülü, koordinasyon suyu halinde veya kristal suyu halinde bulunur. Su molekülü koordinasyon halinde ise -OH düzlem içi ve düzlem dışı eğilme titreşim bantları $650\text{-}880\text{cm}^{-1}$ aralığında ortaya çıkar. Eğer su molekülü, kristal suyu halinde ise, zayıf hidrojen köprüleri vardır. Suyun gerilme titreşimleri $3350\text{-}3200\text{ cm}^{-1}$ aralığında, eğilme titreşimleri $1630\text{-}1600\text{ cm}^{-1}$ aralığında ortaya çıkar (Gül ve Bekaroğlu, 1982).

α -Diketonlar ile β -merkaptoetilamin reaksiyonu sonucu oluşan schiff bazının Ni(II) kompleksinin IR spektrumunda titreşim bantları: C=N 1660 cm^{-1} de, Ni-S 430cm^{-1} , C-S 670 cm^{-1} , Ni-N 500 cm^{-1} ortaya çıkmıştır (Thompson, 1964). Denklem 2,14.

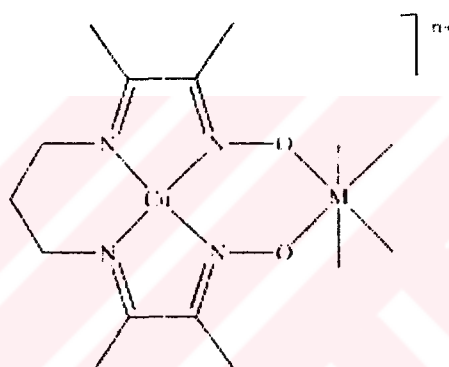


Khandar ve Nejati'nın yaptıkları çalışmada, 5-Fenilazo-salisilaldehitin etilendiamin ile kondensasyon sonucu oluşan Schiff bazından $\text{Cu}(\text{CH}_3\text{COO})_2 \cdot 4\text{H}_2\text{O}$ ile [bis(5-fenilazosalisilaldehit)-etilendiimino]Cu(II) kompleksini sentezlemiştir (Şekil 2.6). Ligandların, IR spektrumlarında titreşim bantları O-H 3450 cm^{-1} de, C-H_{arom} 3050 cm^{-1} de, C-H_{alif} $2900\text{-}2950\text{ cm}^{-1}$ de, C=O 1666 cm^{-1} de, C=N 1640 cm^{-1} de ortaya çıkmıştır. Kompleksin, IR spektrumunda ise C=N 1630 cm^{-1} , C-H_{alif} 2930 cm^{-1} , C-H_{arom} 3060 cm^{-1} de titreşim bantları gözlenmiştir. Ligandın ^1H NMR spektrumunda protonlarının kimyasal kaymaları; O-H 13.8 ppm (s,2H), CH=N 8.5 ppm, -CH₂ 4.04 ppm de (s,4H) gözlenmiştir ve Cu(II) kompleksinin geometrik yapısının kare düzlem olduğu bildirilmiştir (Khandar ve Nejati, 2000).



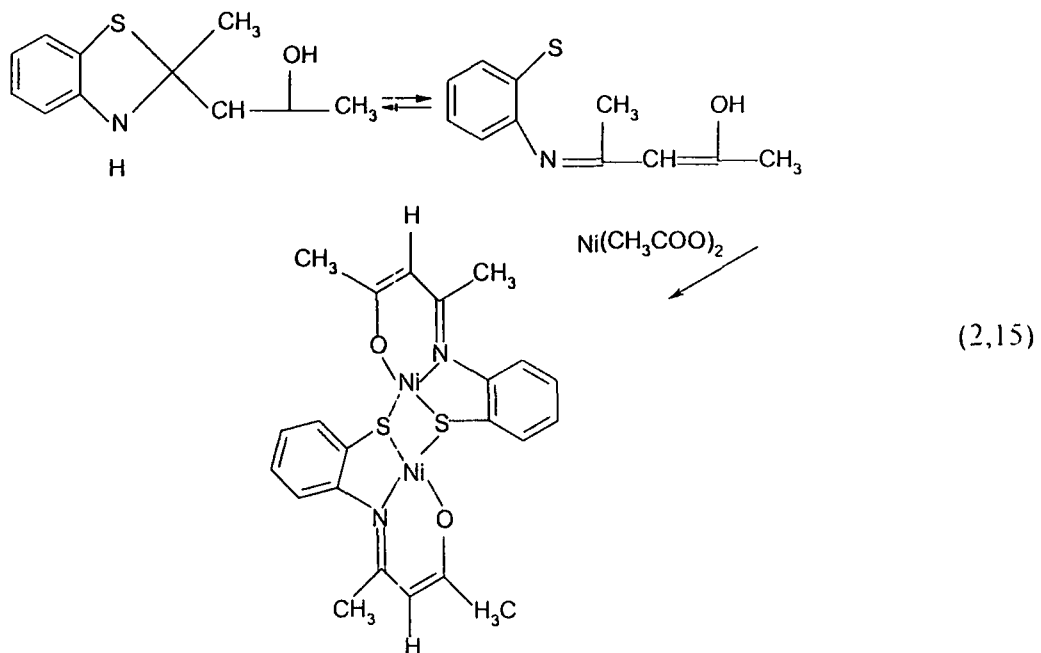
Şekil 2.6. Cu(II) kompleksinin karedüzlem yapısı

Cervera ve arkadaşları Şekil 2.7 de yapıları verilen, Ni(II) ve Cu(II) heterobimetallik kompleksleri sentezleyerek yapısını aydınlatmışlardır. Kompleksin IR spektrumunda C=N titreşim bandını 1553 cm^{-1} de, N-O pikini 1226 cm^{-1} de gözlemişlerdir (Cervera ve ark.1999).

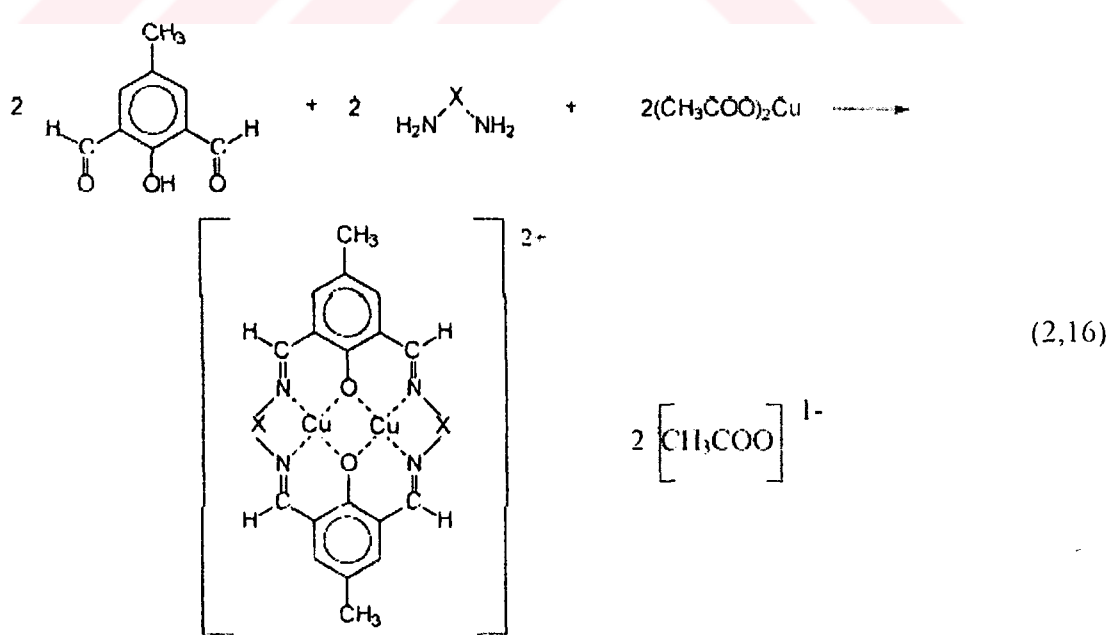


Şekil 2.7. Ni(II) ve Cu(II) heterobimetallik komplekslerinin yapısı

Ancın ve arkadaşları, denklem 2,15 te verilen, 2,4-pentandion ve 2-aminobenzotriyolden bir Schiff bazı oluşturuktan sonra Ni(II) ile $[\text{Ni}(\text{C}_{11}\text{H}_{11}\text{NOS})_2]$ kompleksini sentezlemişlerdir. Yapılan analizler sonucunda yapının kare düzlem geometride ve dimer olduğunu bildirmiştirlerdir. Ligandların IR spektrumlarında, C=N 1630 cm^{-1} de, C-O $1085\text{-}1050\text{ cm}^{-1}$ de, C=O $1720\text{-}1710\text{ cm}^{-1}$ de, komplekste 1550 cm^{-1} de C=N karakteristik piklerini gözlemişlerdir. $^1\text{H-NMR}$ spektrumlarında CH=N protonlarının kimyasal kayması 8.6 ppm de, C-H_{arom} $6.94\text{-}7.25\text{ ppm}$ de, -CH₃ $1.89\text{-}2.27\text{ ppm}$ de olduğunu rapor etmişlerdir (Ancın ve ark. 2002).



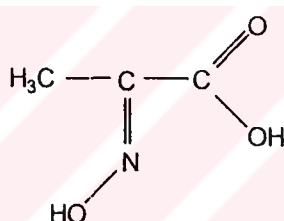
Dziembowska ve arkadaşları yaptıkları çalışmada, makrosiklik Schiff bazları ile binükleer Cu(II) kompleksini sentezleyerek dimer yapıda olduğunu bildirmiştir (Denklem 2.16). Kompleksin IR spektrumunda, 1630 cm^{-1} de C=N, 505 cm^{-1} de M-O, 620 cm^{-1} de M-N, 1400 cm^{-1} de karboksilli asitlerin COO titreşim bandlarını gözlemiştir (Dziembowska ve ark.1999)



2.2. Oksimler

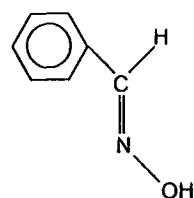
Oksim terimi genel bir adlandırma olup, basitçe aldehit ve ketonların hidroksilaminle bir kondensasyon ürünü olarak tanımlanabilir ve $>\text{C}=\text{NOH}$ grubu içerirler. Oksim adı oksi ve imin kelimelerinin birleşmesiyle oluşmuştur. oksi-imin adının kısaltılması ile ortaya çıkan oksimler, zayıf bazik karakterli $\text{C}=\text{N}$ grubu ile zayıf asidik karakterli -OH grubunu içeren amfoter maddelerdir (Chakravorty, 1974).

Oksimler, üretildikleri aldehit ve ketonların sonlarına oksim kelimesi eklenerken isimlendirilebildiği gibi, (benzaldoksim, asetonoksim, benzofenon oksim v.b.), ana grub keton veya aldehit olmak koşuluyla, "hidroksiimino" öneki ile isimlendirilmektedir. Örneğin 2-hidroksiimino propiyonik asidin yapısı Şekil 2.8 de verilmiştir. Ayrıca oksimler nitrozo bileşiklerinin yapı izomerleri oldukları için "izonitrozo" terimi de kullanılır (Smith, 1966).

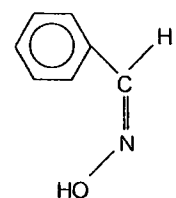


Şekil 2.8. 2-Hidroksiimino propiyonik asit

Basit oksimlerin ve türevlerinin syn- ve anti geometrik izomerleri vardır. Syn- öneki, C=N çift bağı çevresindeki H ve OH gruplarının çift bağ düzleminin aynı tarafında, anti- öneki ise zıt tarafında olması halinde kullanılır (Şekil 2.9)



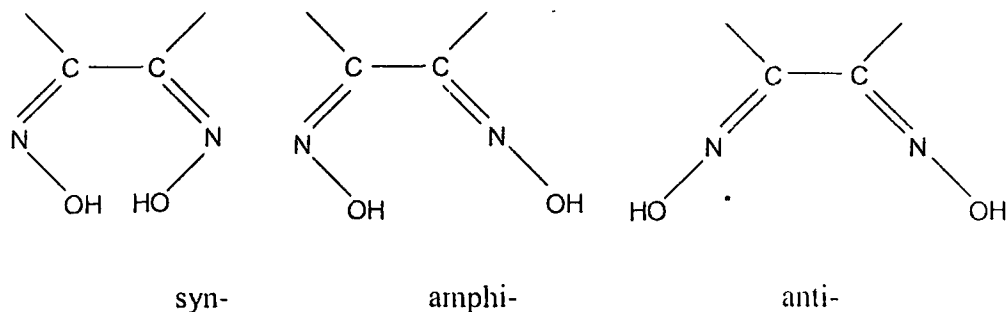
syn-benzaldoksim



anti-benzaldoksim

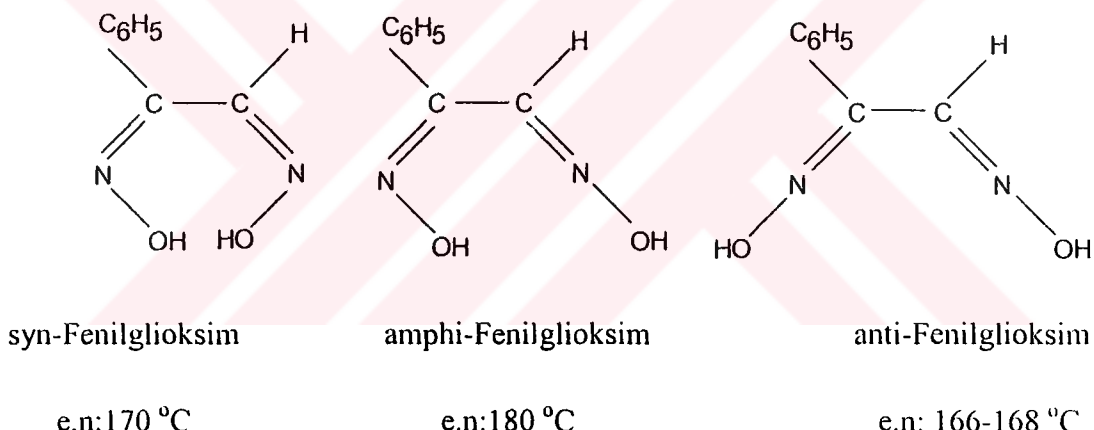
Şekil 2.9. syn-Benzaldoksimin geometrik izomerleri

1,2-Dioksim (vic-dioksim) izomerleri, komşu C=N grubundaki iki -OH in birbirinin konumlarına göre Şekil 2.10 da açıkladığı üzere syn-, amphi- ve anti- şeklinde adlandırılmaktadır (Patai 1970).



Şekil 2.10. vic-Dioksimlerde -OH gruplarının syn-, amphi- ve anti- izomerleri

Genellikle vic-dioksim konfigürasyonlarında anti-formu amphi- formuna göre daha düşük enerjili olduğunda daha kararlıdır. Aynı zamanda anti-formlarının erime noktası, amphi- ve syn-formlarına göre daha yüksektir. Şekil 2.11 de görüldüğü gibi bunun istisnaları da vardır (Burakevic ve ark. 1971)) (Şekil 2.11).



Şekil 2.11. syn-, amphi- ve anti-Fenilglioksimlerin yapıları ve erime noktaları

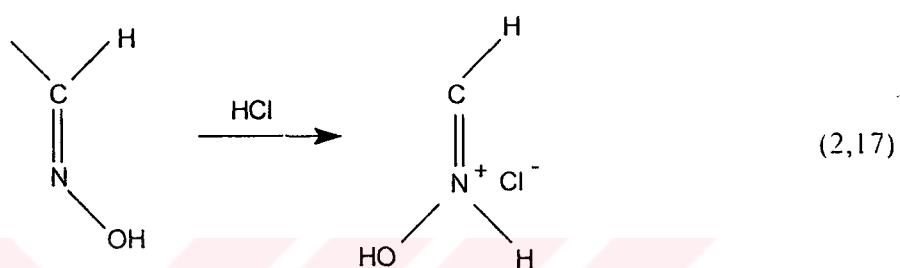
2.2.1. Oksimlerin genel özellikleri

Oksimler; çoğunlukla renksiz, orta derecede eriyen katı maddeler olup, suda çok az çözünürler. Sadece molekül ağırlıkları küçük olanlar dikkate değer ölçüde uçucudur (Chakravorty, 1974). Oksimler; daha önce bildirildiği gibi azometin ($>\text{C}=\text{N}-$) grubundan dolayı zayıf bazik, hidroksil grubundan dolayı zayıf asidik özellik gösteren amfoter maddelerdir. Bununla beraber mono ve dioksimler, zayıf asidik özellik gösterirler. Bu nedenle NaOH' de çözünürler ve CO_2 ile çökerler.

Basit oksimlerin pK_a' sı 10-12 arasında (Brady ve Chokshi 1929). Örneğin syn-benzaldoksimin pK_a' 'sı 10.68, benzofenonoksiminki 11.30 dur. Anti-keto grubunun asit

gücünü artırmasından dolayı anti-dioksimler mono oksimlerden daha kuvvetli asitlerdir pKa değerleri 7 ile 10 arasında değişir. Metilglioksimin pKa'sı 9.7, dimetiglioksiminkı 10.7 civarındadır (Ungnade 1963).

Oksimler iminlerden on kat daha zayıf bazik özellik gösterirler. Bu, hidroksil grubunun etkisinden ileri gelir. Oksimlerin çoğu, derişik mineral asitlerde çözünlürlerse de genellikle suyla seyreltme durumunda çökererek hidroklorür kristalleri oluşturur. Syn- ve amphi-izomerleri denklem 2.17 de verildiği gibi HCl ile reaksiyona girererek anti- izomerlerinin hidroklorürlerine dönüşür (Serin ve Bekaroğlu, 1983).



Aminoglioksimlerde, R gruplarının yerine NH₂ grubunun geçmesiyle molekülün bazik karakteri artmaktadır (Smith, 1966, İrez ve Bekaroğlu, 1983, Gök ve Bekaroğlu, 1981).

Özellikle son yıllarda, kloroglioksim, klorometilglioksim ve klorofenilglioksim gibi dioksim klorürlerinin daiminler ile reaksiyonundan tetraoksim türevleri ve bunların polimerik metal kompleksleri elde edilmiştir (İrez ve Bekaroğlu, 1983, Uçan ve Karataş, 1991, Deveci ve ark. 1991).

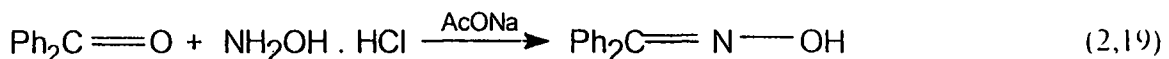
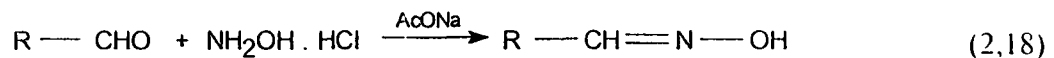
2.2.2. Oksimlerin sentezi

Oksim oluşumu sırasında reaksiyon ortamının bazılılığı çok önemlidir. Reaksiyon hızı çözelti pH'sına bağlı olarak incelendiğinde nötral noktaya yakın bir yerde maksimum olduğu gözlenir (Nakamura, 1979). Zor çözünen ketonlardan oksim sentezinde, hem baz hem de çözücü görevini, piridin yapar (Weyl, 1968, Güllü ve ark. 1982).

Aktif metilen grubuna sahip ketonların nitrolanmasıyla oksimler sentezlenebilir (Burakevich, 1971). Alifatik nitro bileşiklerinin indirgenmesiyle veya primer aminlerin yükselgenmesiyle çeşitli oksimler üretilebilir (Thompson, 1963).

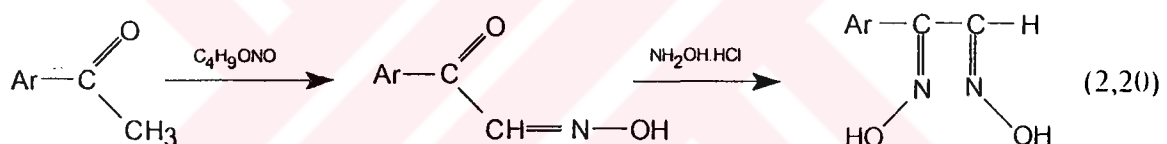
Oksimlerin bir çok sentez yöntemleri vardır. Bunlardan önemli olanları aşağıda kısaca açıklanmıştır.

a) Aldehit ve ketonların hidroksil aminle reaksiyonlarında: Reaksiyon 2.18 ve 2.19 daki denklemelerde görüldüğü gibi sulu alkollü ortamda, oda sıcaklığından kaynama sıcaklığı koşullarına kadar ve uygun pH'larda gerçekleştirilebilir (Bierlein ve Lingafelter 1951) (2,18;2,19).

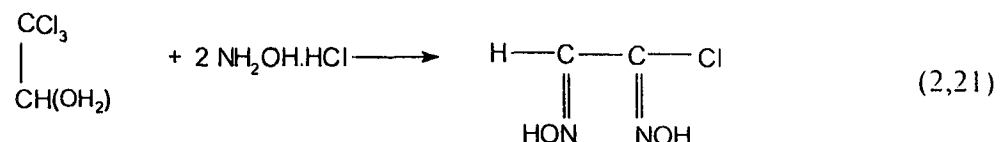


b) Nitrosolama metodu: α -Keto oksimlerin hazırlanmasında oldukça kullanışlı bir yoldur. Aktif metilen grubu içeren bileşiklerden yararlanılır. Bu yöntemle sentez, denklem 2.20 de görüldüğü gibi dioksimler elde edilir (Burakevich 1971)

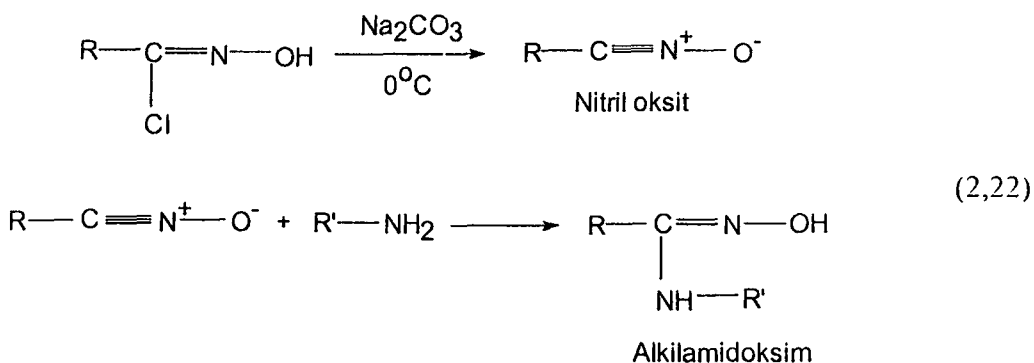
α -Keto oksimlerin karbonil grubunun hidroksilamin ile reaksiyonundan vic-dioksimler elde edilir (Uçan ve Mirzaoglu 1990) (2,20)



c) Kloralhidrat ile hidroksilamin reaksiyonundan: Bu yöntemle Denklem 2.21 görüldüğü gibi kloroglioksim izomerleri elde edilir (Hesse ve Krehbiel 1955, Gök 1981, Deveci 1994) (2,21).



d) Nitrilosit katılımıyla: Mono klorürlerinin soğukta ve bazik ortamındaki reaksiyonundan nitril oksitler elde edilir. Bunlar çözelti ortamında kararlıdırlar ve oldukça aktif maddelerdir. Nitril oksitlerin çözeltilerine mono ve diaminlerin katılımıyla monoamidoksimler sentezlenir (Grundmann ve ark.1971). Denklem 2,22.



2.2.3. Oksimlerin reaksiyonları

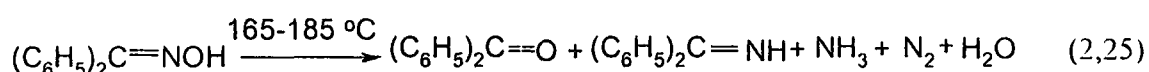
a) **Oksimlerin indirgenmesi:** Oksimler çeşitli reaktiflerle (SnCl_2/HCl , Na , $\text{C}_2\text{H}_5\text{OH}$, LiAlH_4) imin basamağından geçerek primer aminlere indirgenebilirler (Chakravorty, 1974) (2.23).



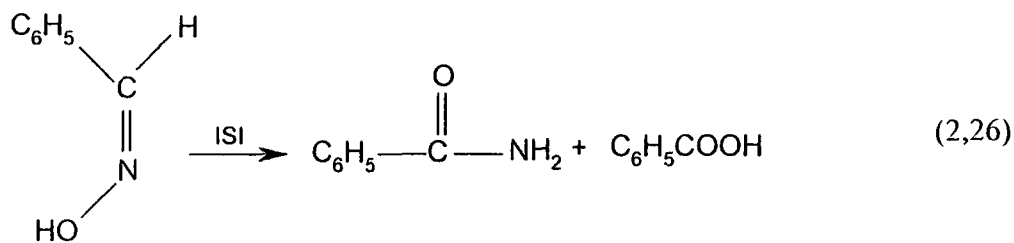
b) **Oksimlerin yükseltgenmesi:** Aldoksimlerde, yükseltgendiginde nitril oksitleri verirler (Chakravorty, 1974). Denklem 2.24.



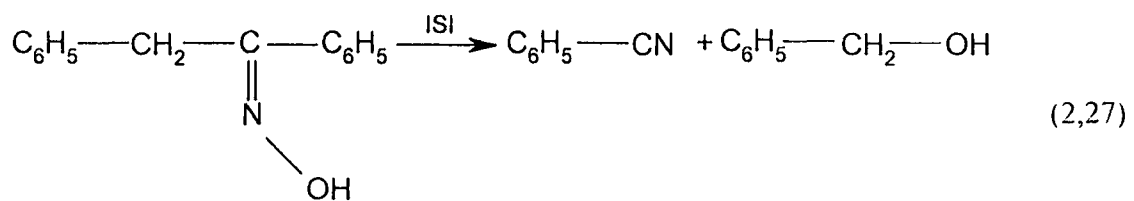
c) **İşı ve ışık etkisi:** Oksimler oldukça kararlı maddeler olmalarına rağmen, uzun süre ışık ve hava oksijenine maruz kaldılarında bazı bozunmalar olur. Bozunmalar sonucunda genellikle karbonil bileşiği ile bazı azotlu inorganik maddeler meydana gelir. Örneğin; benzofenon oksim ısı etkisiyle bozunduğunda denklem 2.5 te gösterildiği gibi azot, amonyak, benzofenon ve imine ayırsız (Smith, 1966).



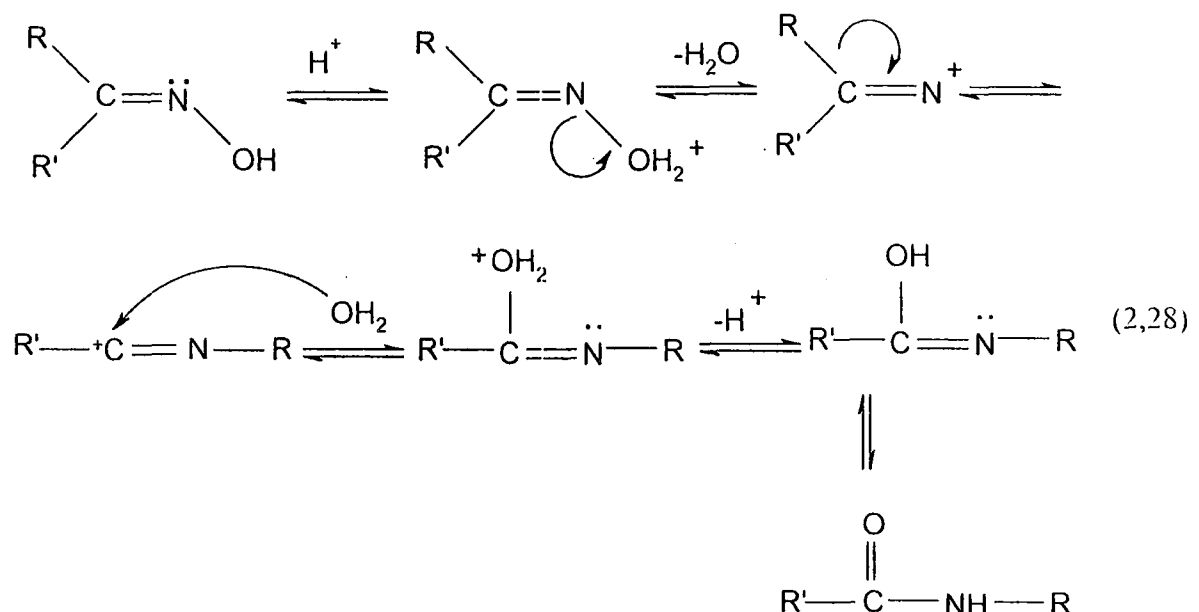
Anti-Benzaldoksim ise; benzamit ve benzoik asite ayırsız. Denklem 2.26.



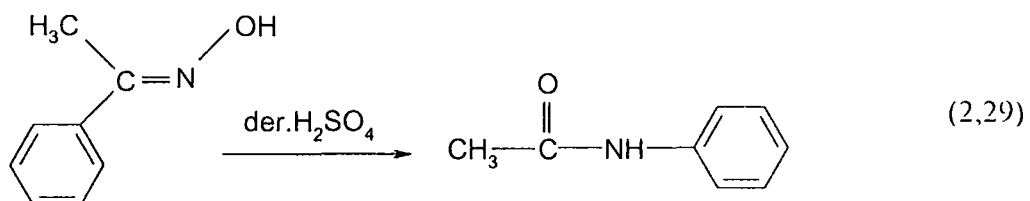
Oksimin yapısında α - hidrojenleri varlığında ise bozunma, alkol ve nitrile ayrışma şeklinde olur (2.27).



d) **Beckmann çevrilmesi:** Oksimlerin katalizlenmiş izomerizasyonu ile amide dönüşümüdür. Özellikle keto oksimler, sülfürik asit, polifosforik asit, hidroklorik asit gibi kuvvetli asitlerle veya fosfor pentaoksit, fosfor pentaklorür varlığında bir çevrilmeye (rearrangement) uğrarlar. Alkil veya aril grubu azot atomu üzerine göç ederek, N-sübstansiyeler meydana gelir (Uyar, 1988, Gök, 1981). Denklem 2,28. Grupların göçme eğilimi: H>Fenil> 3° alkil> 2° alkil> 1° alkil>CH₃ dür (Solomons, 1992)



Örneğin; asetofenonoksim derişik sülfürik asit beraberinde, Beckmann çevrilmesine uğrayarak denklem 2,29 da verildiği gibi aset anilidi verir (Tüzün, 1999).



2.2.4. Oksimlerin spektroskopik özellikleri ve metal kompleksleri

Oksimlerin yapıları magnetik suszeptibilite, IR, ve $^1\text{H-NMR}$, spektroskopik yöntemler ile aydınlatılmaktadır. IR spektrumunda Aldoksim ve ketoksimler için $3300\text{-}3130\text{ cm}^{-1}$ de -OH, $1660\text{-}1600\text{ cm}^{-1}$ de C=N ve $1000\text{-}930\text{ cm}^{-1}$ deki N-O titreşimlerine ait karakteristik bantlar görülmektedir. Seyreltik çözelti veya gaz halinde IR spektrumu alındığında oksimin -OH grubuna ait gerilme titreşimine ait bant $3600\text{-}3500\text{ cm}^{-1}$ de çıkar. bunun sebebi O-H grubunun serbest olmasıdır (Burakevich 1971).

Doymuş konjuge olmayan oksimlerde C=N bandı $1685\text{-}1650\text{ cm}^{-1}$ de görülsürse de vic-dioksimlerde söz konusu bant 1600 cm^{-1} yakınlarına kadar kayabilir. anti-Glioksimlerde C=N titreşiminin 1621 cm^{-1} civarında zayıf bir bant olarak görülmeli, merkez simetrili bir yapıda olmalarından ileri gelir. Oksimlerde bir çift bağı komşu N-O titreşimine ait N-O bandın $970\text{-}925\text{ cm}^{-1}$ arasında şiddetli bir absorbsiyon gösterdiği, N-O frekansının konfigürasyona bağlı olarak önemli bir değişiklik göstermediği, ancak oksim grubuna bağlı sübstiyentlerin özelliğine göre değiştiği, dimetilglioksimde 952 cm^{-1} , anti glioksimlerde 978 cm^{-1} , anti-dikloriglioksimlerde ise 1000cm^{-1} de görüldüğü rapor edilmiştir. (Karataş ve ark. 1991, İrez ve ark.1983).

Aromatik ve heteroaromatik oksimlerde: -OH ait kimyasal kayma değerlerinin 12.50-11.00 ppm. arasında görüldüğü bildirilmiştir [Uçan ve Mirzaoglu,1990].

Sarısaban, magnetik suszeptibilite çalışmasıyla Ni(II) kompleksinin paramagnetik, sp^3 konfigürasyonunda ve tetrahedral yapıda olduğunu, portakal renkli komplekslerin diamanyetik, kare düzlem geometride ve dsp^2 konfigürasyonunda olduğunu, Cu(II) nin genellikle kare düzlem yapıda 1:2 kompleksler vermesine rağmen susuz Cu(II) tuzlarının 1:1 kompleks verdiği görülmüştür. Cd(II) ve Zn(II) komplekslerinde ise, metal iyonu

oksimlerden birinin azot atomu, diğerinin oksijen atomu üzerinden koordinasyona girerek şelat oluşturur (Sarısaban, 1975).

Oksimlerin Zn(II) ve Cd(II) gibi d^{10} elektron konfigürasyonuna sahip metallerle çoğunlukla metal-ligand oranı 1:2 olan kompleksler oluşur (Gök ve Bekaroğlu, 1981. İrez ve Bekaroğlu, 1983). Bununla birlikte etan-1,2-bis(thioglioksim)'in Zn(II) ile metal-ligand oranı 2:1, Cd(II) ile ise metal-ligand oranı 4:1 olan kompleksler oluşur (Koçak ve Bekaroğlu, 1985).

2.3. Çalışmanın amacı

Schiff bazları anorganik, organik, analitik kimyada büyük öneme sahip olup, üzerinde her geçen gün daha çok çalışma yapılmaktadır. Bu çalışmanın amacı yeni iminooksimli schiff baz türevlerini ve geçiş metal komplekslerini sentezlemek ve bazı özelliklerini incelemektir.

Bu çalışmada 2-asetilnaftalin'den çıkarak, izonitrozo-2-asetilnaftalin sentezlemek, izonitrozo-2-asetilnaftalin ile metilamin, benzilamin, 1,2-diaminopropan ve etilendiamin'den dört yeni Schiff bazı (ligand); Metilimino-izonitrozo-2-asetilnaftalin (HL^1), Benzilimino-izonitrozo-2-asetilnaftalin (HL^2), 1,2-Propilimino-bis(izonitrozo-2-asetilnaftalin) (H_2L^3), 1,2-Etilimino-bis(izonitrozo-2-asetilnaftalin) (H_2L^4) ile bu ligandlardan Ni(II), Cu(II), Co(II), Zn(II), Cd(II) ve Hg(II) asetatları ile 24 metal kompleksini sentezlemek ve sentezlenen 28 yeni bileşigin yapılarını; elementel analiz, Magnetik Suszeptibilite, FT-IR, 1H -NMR, ^{13}C -NMR, UV-Vis, ve MS spektroskopik yöntemleriyle aydınlatılmaya çalışmak olmuştur.

BÖLÜM III

MATERİYAL METOD

3.1. Materyal

3.1.1. Çalışmada kullanılan cihazlar

FTIR Spektrofotometresi: IR spektrumları Niğde Üniversitesi Fen Edebiyat Fakültesi Kimya Bölümü’nde bulunan JASCO marka FT/IR-300E model FTIR spektrofotometresi ile çekilmiştir.

Nükleer Magnetik Rezonans Spektroskopisi: ^1H -NMR- ^{13}C -NMR spektrumları TÜBİTAK Enstrümental Analiz Laboratuvarı’nda Bruker marka 200-MHZ model ile (ANKARA) yaptırılmıştır.

Elementel Analiz Cihazı: Sentezi yapılan bileşiklerin elementel analizleri TÜBİTAK Enstrümental Analiz Laboratuvarı’nda (ANKARA) yaptırılmıştır.

Kütle Spektrometresi (MS): Sentezlenen bileşiklerin kütle spektrumları TÜBİTAK Enstrümental Analiz Laboratuvarı’nda (ANKARA) alınmıştır.

Magnetik Suszeptibilite: Ç.Ü. Fen Edebiyat Fakültesi Kimya Bölümü’nde Sherwood Scientific MXI model Gouy Magnetik Suszeptibilite terazisi ile yapıldı.

pH metre: Çözeltilerin pH ölçümleri Orion marka 420 A model cam elektrotlu pH metre ile yapılmıştır.

UV-Visible spektrofotometre: Niğde Üniversitesi Fen Edebiyat Fakültesi Kimya Bölümü’nde bulunan Shimadzu marka 160-A model UV-Visible spektrofotometre ile çekildi.

3.1.2. Kullanılan kimyasal maddeler

Çalışmada kullanılan bütün kimyasal maddeler analitik saflıktadır. Kimyasal maddeler Fluka, Merck, Sigma, Riedel-de Haën ve Carlo Erba firmalarından temin edilmiştir.

3.2. Metot

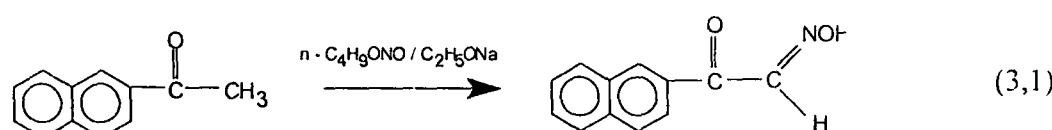
3.2.1. Sentezler

Bu çalışmada, bir monoooksim, dört yeni iminoooksim (ligand) ve bu ligandların 24 metal kompleksi, Uçan ve Deveci'nin yöntemleri kullanılarak, bölümümüz kimya laboratuvarlarında 2-asetilnaftalin'den çıkılarak sentezlenmiştir (Uçan,1998 ve Deveci,1994). İzonitrozo-2-asetilnaftalin, daha önce kullandığımız bir yöntemle yeniden sentezlendi (Pekacar ve Yıldırım,1996)

2-Asetilnaftalin sodyum etoksitli ortamda n-bütilnitrit ile nitrozolandıktan sonra, izonitrozo-2-asetilnaftalin elde edildi. İzonitrozo-2-asetilnaftalin ile metilamin, benzilamin, 1,2-diaminopropan ve etilendiamin' den dört yeni ligand; Metilimino-izonitrozo-2-asetilnaftalin (HL^1), Benzilimino-izonitrozo-2-asetilnaftalin (HL^2), 1,2-Propilimino-bis(izonitrozo-2-asetilnaftalin) (H_2L^3), 1,2-Etilimino-bis(izonitrozo-2-asetilnaftalin) (H_2L^4) sentezlendi.

Bu ligandlardan Ni(II), Cu(II), Co(II), Zn(II), Cd(II) ve Hg(II) asetatları ile 24 metal kompleksi sentezlendi. Sentezlenen 28 ligand ve kompleksin yapıları; elementel analiz, FT-IR, 1H -NMR, UV-Vis, Magnetik Suszeptibilite ve MS yöntemleriyle aydınlatıldı. Sonuçlar Çizelge 4.1, Çizelge 4.2, Çizelge 4.3, Çizelge 4.4 Çizelge 4.5, Çizelge 4.6 da verildi. Ayrıca örnek olarak üç spektrum Şekil 4.1, Şekil 4.2, Şekil 4.3, Şekil 4.4'de verildi.

3.2.1.1. İzonitrozo-2-asetilnaftalin'in sentesi



2-Asetilnaftalin

İzonitrozo-2-asetilnaftalin

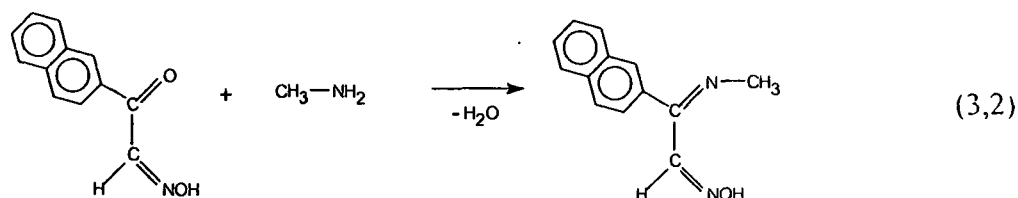
250 mL' lik tek boyunlubir balonda, 0.1000 mol (2.300 g) sodyum metali 50 mL mutlak etanolde çözüldü. Üzerine oda sıcaklığında 20-30 dakika karıştırılarak 0.1000 mol (10.30 g) bütülnitrit yavaş yavaş damlatıldı. Karıştırmaya 15-20 dakika daha devam ettikten sonra üzerine karıştırılarak 0.1000 mol (17.02 g) 2-asetilnaftalin 20-30 dakika da damlatıldı. Bir gün dinlenmeye bırakılarak oluşan kırmızı kristaller süzüldü, eterde birkaç defa yıkandı,

asgari miktarda su ile çözüldü. Çözelti, asetik asit ile asitlendirildiğinde, oluşan çökelti süzülüp su ile birkaç defa yıkandıktan sonra etanol-su (1/2) karışımında kristallendirildi (3,1).

Verim : 14.40 g (% 72), e.n.: 115°C

Bu bileşik, etanol, DMSO, DMF, piridinde çözünür. CCl₄, CHCl₃ de az çözünür, suda çözünmez.

3.2.1.2. Metilimino-izonitrozo-2-asetilnaftalinin (C₁₃H₁₂N₂O)sentezi (HL¹):



Izonitrozo-2-asetilnaftalin

Metilimino-bis(izonitrozo-2-asetilnaftalin)

250 mL'lik bir balon içerisinde Bölüm 3.2.1.1 de sentezlenen izonitrozo-2-asetilnaftalinden, 6 mmol (1.1952 g) alınarak 20 mL metil alkolde çözüldü. Bu çözeltinin üzerine 6 mmol (0.1863 g) metilamin damla damla ve magnetik karıştırıcı ile karıştırılarak ilave edildi. İki saat karıştırıldıktan sonra reaksiyon ortamında açık sarı renkli kristalimsi madde oluşmaya başladı. Karıştırma işlemine üç saat daha devam edildi. Çöken madde süzülerek metil alkolle yıkandı ve vakumda kurutuldu. Diklorometan-hekzan (1:1) karışımında kristallendirildi (3,2).

HL¹'in fiziksel özellikleri

Verim: 1.150 g (%90), e.n: 84°C

Etanol, DMSO, DMF, dioksan, eter ve diklorometanda çözünür, su, hekzan ve CCl₄'de çözünmez.

3.2.1.3. HL¹'in Ni(II), Cu(II), Co(II), Zn(II), Cd(II) ve Hg(II) komplekslerinin sentezi

250 mL'lik bir balon içerisinde Bölüm 3.2.1.2 de sentezlenen HL¹ den 1 mmol (0.2120 g) alınarak 20 mL metanol de çözüldü. Bu çözeltiye magnetik karıştırıcı ile karıştırılarak 0.5 mmol (0.1244 g) (Ni(CH₃COO)₂.4H₂O' in, alkoldeki çözeltisi ilave edildi. 70 °C civarında üç saat geri soğutucu altında tutuldu. Soğutulan kompleks süzüldü. Alkol ve su

ile yikanarak vakumda kurutuldu. Aynı işlemler 0.5 mmol (0.0998 g) Cu(CH₃COO)₂.H₂O, 0.5 mmol (0.1245 g) Co(CH₃COO)₂.4H₂O, 0.5 mmol (0.1097 g) Zn(CH₃COO)₂.2H₂O, 0.5 mmol (0.1333 g) Cd(CH₃COO)₂.2H₂O ve 0.5 mmol (0.1593 g) Hg(CH₃COO)₂ ile tekrarlandı.

Komplekslerin fiziksel özellikleri

[Ni(L¹)₂]: C₂₆H₂₂N₄O₂Ni: Yeşil, verim: 0.4430 g (%92), e.n: 251°C

[Cu(L¹)₂]: C₂₆H₂₂N₄O₂Cu: Yeşil, verim: 0.3980g (%81), e.n: 283°C

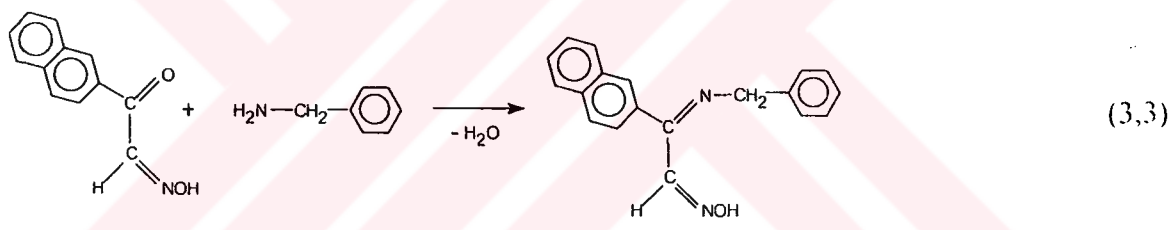
[Co(L¹)₂.2H₂O]: C₂₆H₂₆N₄O₄Co: Kiremit kırmızısı, verim: 0.218g (%83), e.n: 220°C

[Zn(L¹)₂]: C₂₆H₂₂N₄O₂Zn: Sarı, verim: 0.4650g (%95), e.n: 137°C

[Hg(L¹)₂]: C₂₆H₂₂N₄O₂Hg: Turuncu, verim: 0.5010g (%80), e.n: 123°C

[Cd(L¹)₂]: C₂₆H₂₂N₄O₂Cd: Sarı, verim: 0.4230g (%79), e.n: 196°C

3.2.1.4. Benzilimino-izonitrozo-2-asetilnaftalinin (C₁₉H₁₆N₂O) sentezi (HL²):



İzonitrozo-2-asetilnaftalin

Benzilimino-izonitrozo-2-asetilnaftalin

250 mL'lik bir balon içerisinde Bölüm 3.2.1.1 de sentezlenen izonitrozo-2-asetilnaftalinden, 6 mmol (1.1952 g) alınarak 20 mL metil alkolde çözüldü. Bu çözeltinin üzerine 6 mmol (0.6429g) benzilamin damla damla ve magnetik karıştırıcı ile karıştırılarak ilave edildi. Üç saat karıştırıldıktan sonra reaksiyon ortamında sarı renkli kristalimsi madde oluşmaya başladı. Karıştırma işlemine iki saat daha devam edildi. Çöken madde süzülerek alkolle yıkandı ve vakumda kurutuldu. Diklorometan-hekzan(1:1) karışımında kristallendirildi (3,3).

HL²'nin fiziksel özellikleri

Verim: 1.500 g (%86), e.n: 79°C

Etanol, DMSO, DMF, dioksan, eter, diklorometanda çözünür, su, hekzan ve CCl₄'de çözünmez.

3.2.1.5. HL^2 'nin Ni(II), Cu(II), Co(II), Zn(II), Cd(II) ve Hg(II) komplekslerinin sentezi

250 mL'lik bir balon içerisinde Bölüm 3.2.1.4 de sentezlenen HL² den 1 mmol (0.2880 g) alınarak 20 mL metanol de çözüldü. Bu çözeltiye magnetik karıştırıcı ile karıştırılarak 0.5 mmol (0.1244 g) Ni(CH₃COO)₂.4H₂O'ın, alkoldeki çözeltisi ilave edildi. 70 °C civarında üç saat geri soğutucu altında tutuldu. Soğutulan kompleks süzüldü. Alkol ve su ile yıkandıktan sonra vakumda kurutuldu. Aynı işlemler 0.5 mmol (0.0998 g) Cu(CH₃COO)₂.H₂O, 0.5 mmol (0.1245 g) Co(CH₃COO)₂.4H₂O, 0.5 mmol (0.1097 g) Zn(CH₃COO)₂.2H₂O, 0.5 mmol (0.1333 g) Cd(CH₃COO)₂.2H₂O ve 0.5 mmol (0.1593 g) Hg(CH₃COO)₂ ile tekrarlandı.

Komplekslerin fiziksel özellikleri

[Ni(L²)₂]: C₃₈H₃₀N₄O₂Ni: Yeşil, verim : 0.6330 g (%82), e.n: 284°C

[Cu(L²)₂]: C₃₈H₃₀N₄O₂Cu: Siyah-kahve, verim : 0.4900 g (%76), e.n: 197°C

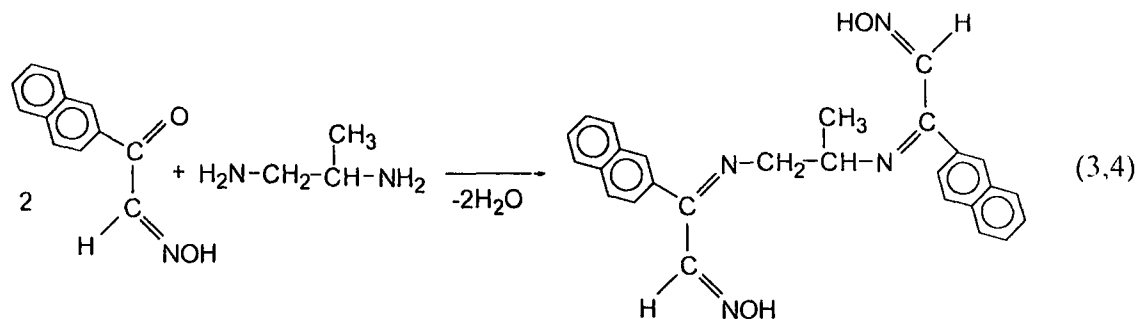
$[\text{Co}(\text{L}^2)_2 \cdot 2\text{H}_2\text{O}]$: $\text{C}_{38}\text{H}_{34}\text{N}_4\text{O}_4\text{Co}$: Kiremit kırmızısı, verim: 0.5410 g (%80), e.n: 184°C

[Zn(L²)₂]: C₃₈H₃₀N₄O₂Zn: Sarı, verim: 0.5920 g (%92), e.n: 133°C

[Hg(L²)₂]: C₃₈H₃₀N₄O₂Hg; Turuncu, verim: 0.6700 g (%86), e.n: 139°C

[Cd(L²)₂]: C₃₈H₃₀N₄O₂Cd: Sarı, verim: 0.6150 g (%89), e.n: 163°C

3.2.1.6. 1,2-Propilimino-bis(izonitrozo-2-asetilnaftalin)in ($C_{27}H_{24}N_4O_2$) sentezi (H_2L^3):



Izonitrozo-2-asetilnaftalin

1-2-Propilimino-bis(izonitrozo-2-asetilnaftalin)

250 mL'lik bir balon içerisinde Bölüm 3.2.1.1 de sentezlenen izonitrozo-2-asetilnaftalinden, 20 mmol (3.9840 g) alınarak 20 mL metil alkolde çözüldü. Bu çözeltinin üzerine 10 mmol (0.7413 g) 1,2-diaminopropan damla damla ve magnetik karıştırıcı ile karıştırılarak ilave

edildi. İki saat karıştırıldıktan sonra reaksiyon ortamında açık sarı renkli kristalimsi madde oluşmaya başladı. Karıştırma işlemine dört saat daha devam edildi. Çöken madde süzülmekle alkolle yıkandı ve vakumda kurutuldu. Diklorometan-hekzan (1:1) karışımında kristallendirildi (3,4).

H₂L³, ün fiziksel özelliklerı

Verim: 2.0050 g (%88), e.n: 75°C

Etanol, DMSO, DMF, dioksan, eter, diklorometanda çözünür, su, hekzan ve CCl₄'de çözünmez.

3.2.1.7. H₂L³ ün Ni(II), Cu(II), Co(II), Zn(II), Cd(II) ve Hg(II) komplekslerinin sentezi

250 mL'lik bir balon içerisinde Bölüm 3.2.1.6 da sentezlenen H₂L³ den 1 mmol (0.4360 g) alınarak 20 mL metanol de çözüldü. Bu çözeltiye magnetik karıştırıcı ile karıştırılarak 1 mmol (0.2488g) Ni(CH₃COO)₂.4H₂O' in, alkoldeki çözeltisi ilave edildi. 70 °C civarında iki saat geri soğutucu altında tutuldu. Soğutulan kompleks süzüldü. Alkol ve su ile yıkandıktan sonra vakumda kurutuldu. Aynı işlemler 1 mmol (0.1996 g) Cu(CH₃COO)₂.H₂O, 1 mmol (0.2490 g) Co(CH₃COO)₂.4H₂O, 1 mmol (0.2195 g) Zn(CH₃COO)₂.2H₂O, 1 mmol (0.2665 g) Cd(CH₃COO)₂.2H₂O ve 1 mmol (0.3187 g) Hg(CH₃COO)₂ ile tekrarlandı.

Komplekslerin fiziksel özelliklerini

[NiL³]n: C₂₇H₂₂N₄O₂Ni: Yeşil, verim : 0.4289 g (%87), e.n: 139°C

[CuL³]n: C₂₇H₂₂N₄O₂Cu: Siyah-kahve, verim : 0.4233 g (%85), e.n: 1128°C

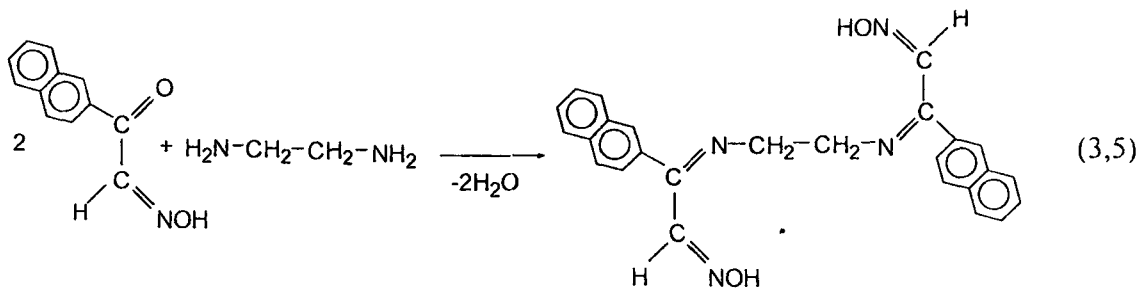
[CoL³.2H₂O]n: C₂₇H₂₆N₄O₄Co.2(H₂O):Koyu-kahve, verim: 0.4813 g (%91), e.n: 191°C

[ZnL³]n: C₂₇H₂₂N₄O₂Zn: Sarı, verim: 0.4091 g (%82), e.n: 131°C

[HgL³]n: C₂₇H₂₂N₄O₂Hg: Turuncu, verim: 0.4953 g (%78), e.n: 122°C

[CdL³]n: C₂₇H₂₂N₄O₂Cd: Sarı, verim: 0.5132 g (%94), e.n: 142°C

3.2.1.8. 1,2-Etilimino-bis(isonitroso-2-asetilnaftalin) in (C₂₆H₂₂N₄O₂) sentezi (H₂L⁴):



İzonitrozo-2-asetilnaftalin

Etilimino-bis(izonitrozo-2-asetilnaftalin)

250 mL'lik bir balon içerisinde Bölüm 3.2.1.1 de sentezlenen izonitrozo-2-asetilnaftalinden, 20 mmol (3.9840 g) alınarak 20 mL metil alkolde çözüldü. Bu çözeltinin üzerine 10 mmol (0.6010 g) etilendiamin damla damla ve magnetik karıştırıcı ile karıştırılarak ilave edildi. Bir saat karıştırıldıktan sonra reaksiyon ortamında sarı renkli kristalimsi madde oluşmaya başlandı. Karıştırma işlemine dört saat daha devam edildi. Çöken madde süzülerek alkolle yıkandı ve vakumda kurutuldu. Diklorometan-hekzan (1:1) karışımında kristallendirildi (3,5).

H_2L^4 'ün fiziksel özellikleri

Verim: 2.0100 g (%91), e.n: 90 °C

Etanol, DMSO, DMF, dioksan, eter, diklorometan da çözünür, su, hekzan ve CCl_4 'de çözünmez.

3.2.1.9. H_2L^4 'ün Ni(II), Cu(II), Co(II), Zn(II), Cd(II) ve Hg(II) komplekslerinin sentezi

250 mL'lik bir balon içerisinde Bölüm 3.2.1.8 de sentezlenen H_2L^4 den 1 mmol (0.4220 g) alınarak 20 mL metanol de çözüldü. Bu çözeltiye magnetik karıştırıcı ile karıştırılarak 1 mmol (0.2488g) $Ni(CH_3COO)_2 \cdot 4H_2O$ 'ın, alkoldeki çözeltisi ilave edildi. 70 °C civarında dört saat geri soğutucu altında tutuldu. Soğutulan kompleks süzüldü. Alkol ve su ile yıkandı ve vakumda kurutuldu. Aynı işlemler 1 mmol (0.1996 g) $Cu(CH_3COO)_2 \cdot H_2O$, 1 mmol (0.2490 g) $Co(CH_3COO)_2 \cdot 4H_2O$, 1 mmol (0.2195 g) $Zn(CH_3COO)_2 \cdot 2H_2O$, 1 mmol (0.2665 g) $Cd(CH_3COO)_2 \cdot 2H_2O$ ve 1 mmol (0.3187 g) $Hg(CH_3COO)_2$ ile tekrarlandı.

Komplekslerin fiziksel özellikleri

$[NiL^4]n$: $C_{26}H_{20}N_4O_2Ni$: Yeşil, verim : 0.4263 g (%89), e.n: 258°C

$[CuL^4]n$: $C_{26}H_{20}N_4O_2Cu$: Siyah-kahve, verim : 0.4202 g (%87), e.n: 189 °C

$[CoL^3 \cdot 2H_2O]n$: $C_{26}H_{24}N_4O_4Co$: Kiremit kırmızısı, verim: 0.4738 g (%92), e.n: 252°C

$[ZnL^4]n$: $C_{26}H_{20}N_4O_2Zn$: Sarı, verim: 0.4074 g (%84), e.n: 126°C

$[HgL^4]n$: $C_{26}H_{20}N_4O_2Hg$: Turuncu, verim: 0.4905 g (%79), e.n: 131°C

$[CdL^4]n$: $C_{26}H_{20}N_4O_2Cd$: Sarı, verim: 0.4788 g (%90), e.n: 160°C

3.2.2. Sentezlenen bileşiklerin karakterizasyonu

3.2.2.1. FTIR spektrumlarının alınması

110°C'de 24 saat etüvde kurutulmuş olan KBr'den spatül ucuyla az miktarda agat havana kondu ve sırasıyla sentezlenen her bileşik ile karıştırılarak ezildi. Ezilen örnek-potasyum bromür karışımı, FTIR'ye ait pres yardımıyla 600 kgflik basınç altında beş dakika tutularak pelet haline getirildi. Dalga sayısı 400-4000 cm^{-1} aralığında FTIR spektrumları alındı. Sentezlenen 28 yeni bileşiğin spektrumları toplu halde Çizelge 4.2.'de tablo halinde verildi. Örnek olarak da izonitrozo-2-asetilnaftalin'e ait FTIR spektrumu Şekil 4.1.'de verildi.

3.2.2.2. 1H -NMR ve ^{13}C -NMR spektrumlarının alınması

Sentezlenen altı yeni bileşiğin, 1H -NMR spektrumları TÜBİTAK-Enstrümental Analiz Laboratuvarında alındı. Spektrumların bulguları Çizelge 4.3, Çizelge 4.4'de tablo halinde, örnek olarak da izonitrozo-2-asetilnaftalin'e ait 1H -NMR ve ^{13}C -NMR spektrumları Şekil 4.2, Şekil ve 4.3.'de verildi.

3.2.2.3. Kütle spektrumlarının alınması

Sentezlenen altı yeni bileşiğin, kütle spektrumları TÜBİTAK-Enstrümental Analiz Laboratuvarı'nda alındı. Spektrumların bulguları her bileşik için ayrı ayrı değerlendirildi. Örnek olarak da izonitrozo-2-asetilnaftalin'e ait kütle spektrumu Şekil 4.4.'de verildi.

3.2.2.4. Elementel analiz sonuçlarının değerlendirilmesi .

Sentezlenen 28 yeni bileşiğin, elementel analizleri TÜBİTAK-Enstrümental Analiz Laboratuvarı'nda yapıldı. Buradan elde edilen analiz sonuçları toplu olarak Çizelge 4.1.'de verildi.

BÖLÜM IV

BULGULAR VE TARTIŞMA

İminoooksimli schiff bazları ve geçiş metal komplekslerinin sentezlenmesi amacıyla yapılan bu çalışmada sırasıyla dört iminoooksimli schiff bazı ve 24 metal kompleksi, literatürde verilen yöntemler kullanılarak sentezlenmiştir. 2-Asetilnaftalin nitrozolanarak, laboratuarda izonitrozo-2-asetilnaftalin yeniden sentezlenmiştir. Izonitrozo-2-asetilnaftalin ile metilamin, benzilamin, 1,2-diaminopropan ve etilendiamin'den dört yeni ligand: Metilimino-izonitrozo-2-asetilnaftalin (HL^1), benzilimino-izonitrozo-2-asetilnaftalin (HL^2), 1,2-propilimino-bis(izonitrozo-2-asetilnaftalin) (H_2L^3), etilimino-bis(izonitrozo-2-asetilnaftalin) (H_2L^4) ligandları ve bu ligandlardan da Ni(II), Cu(II), Co(II), Zn(II), Hg(II) ve Cd(II) asetat ile 24 kompleks sentezlenmiştir. Sentezlenen 28 yeni ligand ve kompleksin tümünün yapıları; elementel analiz ve FTIR yöntemleriyle, bu yöntemlere ek olarak altı bileşigin (dört ligand, bir monoksim, bir kompleks)yapısı 1H -NMR, dört bileşiginki (üç ligand, bir monoksim) ^{13}C -NMR, beş bileşiginki (üç ligand, bir monoksim, bir kompleks) MS, dokuz bileşiginki (üç ligand, altı kompleks) UV-Vis spektroskopik yöntemleriyle ve 12 kompleksin yapısı magnetik suszeptibilite ölçümleriyle aydınlatılmıştır. Analiz bulguları ve literatür bilgileri dikkate alınarak ligandlar ve kompleksler için yapısal formüller önerilmiştir.

4.1. Erime Noktası, Renk ve Verim Bulgularının Değerlendirilmesi

Sentezlenen 28 bileşigin; erime noktaları, renkleri ile verimleri Çizelge 4.1'de verilmiştir. Çizelge 4.1.'de de görüldüğü gibi sentezler sırasında verimler çok yüksek olmuştur. Dağılım aralığı % 76 - % 95'dir. En düşük verim % 76 ile benzilimino-izonitrozo-2-asetilnaftalin ligandının Cu(II) $[Cu(L^2)_2]$ kompleksinin sentezinde, en yüksek verim ise % 95 ile metilimino-izonitrozo-2-asetilnaftalinin Zn(II) $[Zn(L^1)_2]$ kompleksinin sentezi sırasında saptanmıştır. Komplekslerin erime noktaları, beklenildiği gibi ligandlardan yüksek çıkmıştır. Erime noktalarının dağılım aralığı, ligandlarda $75^{\circ}C$ - $90^{\circ}C$, komplekslerde $112^{\circ}C$ - $284^{\circ}C$ olmuştur. Schiff bazlarının tamamı; etanol, DMSO, DMF, dioksan, eter ve diklorometanda çözünmüştür, su, hekzan ve CCl_4 'de çözünmemiştir.

4.2. Elementel Analiz Bulgularının Değerlendirilmesi

Sentezlenen 28 bileşigin C, H ve N miktarları hesaplanarak Çizelge 4.1.'de verilmiştir. Bileşiklerin karbon miktarının dağılım aralığı %79, 14-%49,97, hidrojeninki %5,69-%3,24,

azotunki %13.19-%7.22 arasında hesaplanmıştır. Elementel analiz sonucu bulunan, karbon, hidrojen ve azot miktarları aynı çizelgede verilmiştir. Bu çizelge incelendiğinde, Sentezlenen bileşiklerin elementel analiz bulguları, hesaplanan, C, H ve N miktarlarına çok yakın oldukları görülecektir (Çizelge 4.1).

Çizelge 4.1. Sentezlenen ligandların ve komplekslerinin fiziksel özellikleri ve elementel analiz sonuçları

Bileşikler	Molekül Kütlesi(g)	Renk	E.N.°C (B.N.°C)	Verim %	Hesaplanan(Bulunan)%		
					C	H	N
C ₁₃ H ₁₂ N ₂ O HL ¹	212	Sarı	84	90	73.56 (73.39)	5.69 (5.77)	13.19 (13.35)
C ₂₆ H ₂₂ N ₄ O ₂ Ni [Ni(L ¹) ₂]	481	Yeşil	(251)	92	64.90 (64.74)	4.60 (4.43)	11.64 (11.79)
C ₂₆ H ₂₂ N ₄ O ₂ Cu [Cu(L ¹) ₂]	486	Kahverengi	(283)	81	64.25 (64.15)	4.56 (4.46)	11.52 (11.26)
C ₂₆ H ₂₆ N ₄ O ₄ Co [Co(L ¹) ₂ .2H ₂ O]	517	K.Kırmızısı	(220)	83	60.35 (60.28)	5.06 (4.92)	10.82 (10.50)
C ₂₆ H ₂₂ N ₄ O ₂ Zn [Zn(L ¹) ₂]	487	Açık sarı	(127)	95	64.01 (63.91)	4.54 (4.48)	11.48 (11.22)
C ₂₆ H ₂₂ N ₄ O ₂ Cd [Cd(L ¹) ₂]	534	Sarı	(196)	79	58.38 (58.30)	4.14 (4.04)	10.47 (10.35)
C ₂₆ H ₂₂ N ₄ O ₂ Hg [Hg(L ¹) ₂]	623	Turuncu	(126)	80	50.12 (49.97)	3.55 (3.32)	8.99 (8.87)
C ₁₉ H ₁₆ N ₂ O HL ²	288	Sarı	79	86	79.14 (78.99)	5.29 (5.23)	9.71 (9.60)
C ₃₈ H ₃₀ N ₄ O ₂ Ni [Ni(L ²) ₂]	633	yeşil	(284)	82	72.06 (71.88)	4.77 (4.61)	8.84 (8.78)
C ₃₈ H ₃₀ N ₄ O ₂ Cu [Cu(L ²) ₂]	638	Siyah-yeşil	(197)	76	71.51 (71.38)	4.73 (4.68)	8.77 (8.67)
C ₃₈ H ₃₄ N ₄ O ₄ Co [Co(L ²) ₂ .2H ₂ O]	669	K.kırmızısı	(184)	80	68.15 (67.97)	5.11 (5.03)	8.36 (8.24)
C ₃₈ H ₃₀ N ₄ O ₂ Zn [Zn(L ²) ₂]	640	Açık sarı	(141)	92	71.34 (71.26)	4.72 (4.64)	8.75 (8.68)
C ₃₈ H ₃₀ N ₄ O ₂ Cd Cd(L ²) ₂	687	Sarı	(163)	89	66.42 (66.39)	4.40 (4.26)	8.15 (8.09)
C ₃₈ H ₃₀ N ₄ O ₂ Hg [Hg(L ²) ₂]	775	Turuncu	(139)	86	58.87 (58.70)	3.90 (3.75)	7.22 (7.14)
C ₂₇ H ₂₄ N ₄ O ₂ H ₂ L ³	436	Sarı	75	88	74.13 (73.98)	5.50 (5.32)	12.84 (12.79)
C ₂₇ H ₂₂ N ₄ O ₂ Ni [NiL ³] _n	493	yeşil	(136)	87	65.75 (65.57)	4.49 (4.23)	11.36 (11.23)
C ₂₇ H ₂₂ N ₄ O ₂ Cu [CuL ³] _n	498	Siyah-yeşil	(126)	85	65.11 (64.97)	4.45 (4.40)	11.24 (11.30)
C ₂₇ H ₂₆ N ₄ O ₄ Co [CoL ³ .2H ₂ O] _n	529	Kahverengi	(191)	91	59.29 (59.19)	4.94 (4.87)	10.58 (10.49)
C ₂₇ H ₂₂ N ₄ O ₂ Zn [ZnL3] _n	499	Açık sarı	(123)	82	64.87 (64.48)	4.43 (4.31)	11.20 (11.15)
C ₂₇ H ₂₂ N ₄ O ₂ Cd [CdL3] _n	546	Sarı	(141)	94	59.29 (58.95)	4.05 (4.12)	10.24 (10.18)
C ₂₇ H ₂₂ N ₄ O ₂ Hg [HgL3] _n	635	Turuncu	(112)	78	51.06 (50.91)	3.49 (3.69)	8.82 (8.76)

Çizelge 4.1. (Devamı) Sentezlenen ligandların ve komplekslerinin fiziksel özellikleri ve elementel analiz sonuçları

Bileşikler	Molekül Kütlesi(g)	Renk	E.N.°C (B.N.°C)	Verim %	Hesaplanan(Bulunan)%	C	H	N
$C_{26}H_{22}N_4O_2$ H_2L^4	422	Sarı	90	91	73.91 (73.84)	5.24 (5.05)	13.16 (13.11)	
$C_{26}H_{20}N_4O_2Ni$ $[NiL^4]n$	479	Yeşil	(258)	89	65.17 (65.03)	4.20 (4.24)	11.69 (11.51)	
$C_{26}H_{20}N_4O_2Cu$ $[CuL^4]n$	483	Siyah-yeşil	(189)	87	64.52 (64.24)	4.16 (4.06)	11.57 (11.34)	
$C_{26}H_{24}N_4O_4Co$ $[CoL^4\cdot 2H_2O]n$	515	Kahverengi	(252)	92	60.58 (60.73)	4.69 (4.61)	10.86 (10.77)	
$C_{26}H_{20}N_4O_2Zn$ $[ZnL^4]n$	485	Açık sarı	(127)	84	64.27 (64.13)	4.14 (4.07)	11.53 (11.38)	
$C_{26}H_{20}N_4O_2Cd$ $[CdL^4]n$	532	Sarı	(119)	90	50.60 (50.42)	3.78 (3.18)	10.51 (10.34)	
$C_{26}H_{20}N_4O_2Hg$ $[HgL^4]n$	621	Turuncu	(131)	79	50.28 (50.05)	3.24 (3.09)	9.02 (8.90)	

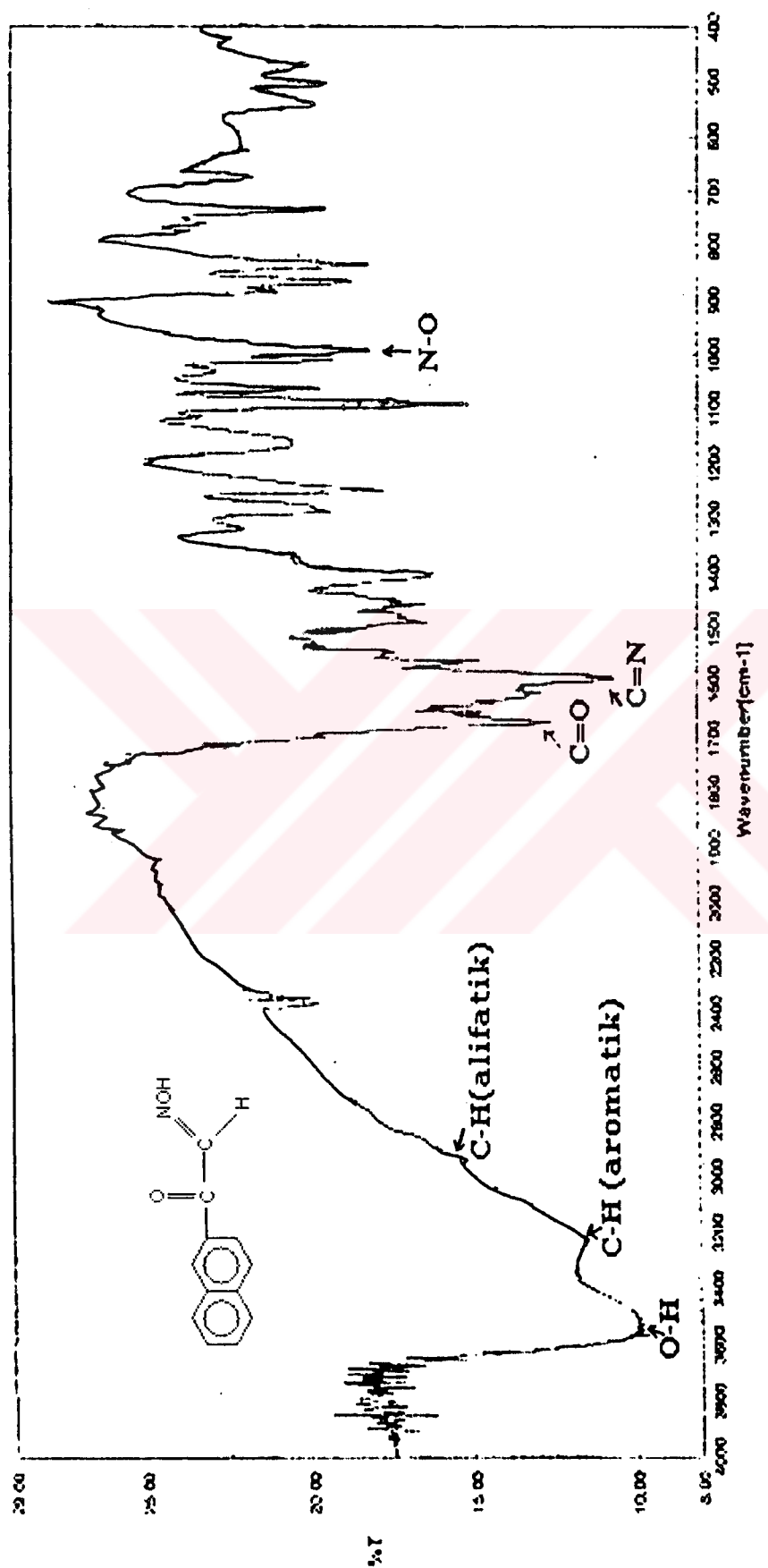
E.N: Erime noktası, B.N: Bozunma noktası

4.3. FTIR Spektrum Bulgularının Değerlendirilmesi

Sentezlenen 28 yeni bileşliğin kırmızı ötesi (IR) spektrumları değerlendirilerek toplu halde Çizelge 4.2 de verilmiştir. Örnek olarak da izonitrozo-2-asetilnaftaline ait FT-IR spektrumu Şekil 4.1'de görülmektedir. Bu spektrum üzerinde, bileşliğin yapısında bulunan işlevsel gruplardaki bağlara ait eğilme ve gerilme titreşimleri not edilmiştir. Diğer bileşiklere ait spektrumlar, Ek II de verilmiştir.

Oksimlerde ($C=N-OH$); $3650-3500\text{ cm}^{-1}$ de O-H gerilmesi (H bağlı ise daha düşük frekansta), $1685-1650\text{ cm}^{-1}$ de $C=N$ gerilmesi (konjuge değilse zayıf, halkalı ise karbonil bileşiklerine benzer), $960-930\text{ cm}^{-1}$ de N-O gerilmesine ait pikler görülmektedir. İminlerde, $R-C=N$ grubuna ait $C=N$ gerilmesine ait pikin 1670 cm^{-1} de, $Ar-C=N-$ (konjuge $C=N$ gerilmesine ait pik, $C=C$ gerilmesine yakın olduğu için belirsiz olabilmektedir.) grubunun $C=N$ gerilmesine ait pikin 1620 cm^{-1} de görüldüğü belirtilmektedir (Erdik, 1993).

Ligandlarda iki ayrı çevreye sahip $\nu(C=N)$ yapıları mevcuttur. Biri oksim ($C=N-OH$) grubu bulunduran $\nu(C=N)$, diğeri ise azometin grubu bulunduran $\nu(C=N)$ yapısıdır. Bu çalışmada izonitrozo-2-asetilnaftalindeki $C=O$ titreşimine ait pik 1685 cm^{-1} de gözlenirken, ligandların tümünde $C=O$ fonksiyonel grubu $C=N$ e dönüştüğünden $C=N$ pikleri görülmüştür. Izonitrozo-2-asetilnaftalindeki $C=N$ gerilme titreşim bandları 1650 cm^{-1} de gözlenmiştir.



Sekil 4.1. İzonitrozo-2-asetilnftalalinin FT-IR spektrumu

Ligandlarda: Oksim grubunun C=N gerilmesi $1649\text{-}1645\text{ cm}^{-1}$ de, azometin grubuna ait C=N gerilmesi $1625\text{-}1617\text{ cm}^{-1}$ de iki ayrı keskin pik halinde görülmüştür. Komplekslerde, oksim grubunun C=N titreşim bandlarının dağılım aralığı $1629\text{-}1600\text{ cm}^{-1}$, azometin grubunun C=N titreşim bandları $1600\text{-}1569\text{ cm}^{-1}$ de görülmüştür. Kompleks oluşumunda, piklerin düşük alana kayması, metal iyonlarının azot atomları üzerinden koordinasyona girdiği şeklinde yorumlanmıştır.

Ligandlarda O-H gerilimesine ait pikler $3260\text{-}3208\text{ cm}^{-1}$ de geniş bandlar halinde gözlenmiştir. Bölüm 4.8 de açıklandığı üzere Co(II) komplekslerinde, koordine H_2O dan kaynaklanan -OH gerilme titreşimleri $3420\text{-}3410\text{ cm}^{-1}$ de gözlenmiştir.

Ligandlarda aromatik C-H gerilme titreşimleri $3100\text{-}3050\text{ cm}^{-1}$ de, alifatik C-H gerilme titreşimleri $2840\text{-}2700\text{ cm}^{-1}$ de gözlenmiştir. C-H bağları kompleks oluşumunda koordinasyona katılmadıkları için, komplekslerdeki C-H gerilme bandları (aromatik ve alifatik) aynı bölgede ortaya çıkmışlardır. Söz konusu pikler sırasıyla $3085\text{-}3030\text{ cm}^{-1}$ ve $2930\text{-}2700\text{ cm}^{-1}$ de görülmüştür. Merkez atomuna ve amin gruplarına bağlı olarak piklerin yerlerinde çok az kaymalar görülmüştür. Ligandların tümünde N-O gerilme titreşim bandları 990 cm^{-1} de görülürken, kompleks oluşumu ile zayıf alana $940\text{-}912\text{ cm}^{-1}$ e kaymıştır. Bu kayma metal ile ligandın, oksim ($\text{C}=\text{N}-\text{O}$) grubundaki oksijen üzerinden koordinasyona girdiğini kanıtlamaktadır.

Komplekslerde metal-heteroatom bağlarına ait IR bandlarının dağılım aralığı, metal-azot bağları için $585\text{-}478\text{ cm}^{-1}$ ve metal-oksijen için $400\text{-}482\text{ cm}^{-1}$ olmuştur. Ligandlarda görülmeyen bu pikler, kompleks oluşumu sırasında metal iyonlarının azot ve oksijen üzerinden koordinasyona katıldığını göstermektedir.

Uçan ve arkadaşları: ligandlarda -OH gerilme titreşim bandlarını $3400\text{-}3260\text{ cm}^{-1}$ de, C=N gerilme titreşimerini $1690\text{-}1600\text{ cm}^{-1}$ de, N-O pikini $1000\text{-}980\text{ cm}^{-1}$ de, komplekslerde ise C=N gerilme titreşim bandlarını $1630\text{-}1610\text{ cm}^{-1}$ de, (N-O) pikini $950\text{-}890\text{ cm}^{-1}$ de, koordine H_2O dan kaynaklanan -OH gerilme titreşim bandlarını $3440\text{-}3300\text{ cm}^{-1}$ de, (M-N) pikini 540 cm^{-1} de, (M-O) pikini 430 cm^{-1} de görüldüğünü bildirmiştir (Uçan ve ark. 1998).

**Çizelge 4.2. Ligandların ve komplekslerinin karakteristik FTIR bandları (cm^{-1} , KBr Pellet)
ve magnetik suszeptibilite değerleri (BM)**

Bileşikler	v(O-H)	v(C-H _{atom})	v(C-H _{aliit})	v(C=N)	v(N-O)	v(M-N)	v(M-O)	$\mu(\text{B.M})$
HL ¹	3230	3100	2770	1645-1625	990			
[Ni(L ¹) ₂]	-	3055	2820	1614-1569	925	535	482	2.02
[Cu(L ¹) ₂]	-	3050	2800	1622-1599	924	540	475	1.66
[Co(L ¹) ₂ 2H ₂ O]	3420	3070	2750	1629-1605	920	481	436	3.77
[Zn(L ¹) ₂]	-	3050	2700	1613-1576	913	580	481	*
[Cd(L ¹) ₂]	-	3060	2930	1617-1579	924	485	431	*
[Hg(L ¹) ₂]	-	3045	2900	1621-1585	925	489	437	*
HL ²	3208	3050	2700	1645-1621	990			
[Ni(L ²) ₂]	-	3055	2850	1605-1585	925	490	430	2.12
[Cu(L ²) ₂]	-	3050	2820	1600-1580	930	500	400	1.75
[Co(L ²) ₂ 2H ₂ O]	3415	3075	2880	1621-1600	925	484	431	3.85
[Zn(L ²) ₂]	-	3085	2860	1620-1576	916	481	420	*
Cd(L ²) ₂	-	3070	2830	1622-1585	940	530	425	*
[Hg(L ²) ₂]	-	3046	2825	1614-1585	916	481	420	*
H ₂ L ³	3260	3080	2750	1649-1621	990			
[NiL ³] _n	-	3045	2890	1629-1600	917	478	420	2.20
[CuL ³] _n	-	3050	2850	1625-1583	925	585	474	1.81
[CoL ³ 2H ₂ O] _n	3410	3070	2700	1621-1600	919	484	430	4.10
[ZnL ³] _n	-	3050	2850	1610-1580	915	495	435	*
[CdL ³] _n	-	3055	2840	1621-1579	914	484	420	*
[HgL ³] _n	-	3046	2836	1614-1583	925	585	474	*
H ₂ L ⁴	3256	3090	2840	1649-1617	990			
[NiL ⁴] _n	-	3050	2890	1614-1577	917	478	420	2.22
[CuL ⁴] _n	-	3100	2900	1625-1596	917	493	428	1.92
[CoL ⁴ 2H ₂ O] _n	3410	3070	2820	1625-1600	921	482	420	4.30
[ZnL ⁴] _n	-	3030	2820	1615-1590	935	510	425	*
[CdL ⁴] _n	-	3055	2845	1621-1592	917	493	428	*
[HgL ⁴] _n	-	3045	2760	1621-1577	912	482	431	*

*: d¹⁰ elektron konfigürasyonunda olan metal iyonlarının (Zn(II), Cd(II) ve Hg(II)) kompleksleri diamagnetik olduklarından magnetik suszeptibilite ölçümleri yapılmamıştır.

Dziembowska ve arkadaşları yaptıkları çalışmada, makrosiklik Schiff bazları ile binükleer Cu(II) kompleksini sentezleyerek dimer yapıda olduğunu bildirmişlerdir. Kompleksin IR spektrumunda, 1630 cm^{-1} de C=N, 505 cm^{-1} de M-O, 620 cm^{-1} de M-N, 1400 cm^{-1} de karboksilli asitlerin COO titreşim bandlarını gözlemiştir (Dziembowska ve ark. 1999)

Ancın ve arkadaşları, 2,4-pentandion ve 2-aminobenzotiyol Schiff bazı oluşturuktan sonra Ni(II) ile [Ni(C₁₁H₁₁NOS)]₂ kompleksini sentezlemiştir. Yapılan analizler sonucunda yapının kare düzlem geometride ve dimer olduğunu bildirmiştir. Ligandların IR spektrumlarında, C=N 1630 cm^{-1} de, C-O 1085-1050 cm^{-1} de, C=O 1720-1710 cm^{-1} de, komplekste 1550 cm^{-1} de C=N karakteristik piklerini gözlemiştir (Ancın ve ark. 2000).

Cervera ve arkadaşları, Ni(II) ve Cu(II) heterobimetallik kompleksleri sentezleyerek yapısını aydınlatmışlardır. Kompleksin IR spektrumunda C=N titreşim bandını 1553 cm^{-1} de, N-O pikini 1226 cm^{-1} de gözlemişlerdir (Cervera ve ark. 1999).

Khandar ve Nejati'nın yaptıkları çalışmada, 5-fenilazo-salisilaldehitin etilendiamin ile kondensasyon sonucu oluşan Schiff' bazından $\text{Cu}(\text{CH}_3\text{COO})_2 \cdot 4\text{H}_2\text{O}$ ile [bis(5-fenilazosalisilaldehit)-etilendiimino]Cu(II) kompleksini sentezlemiştir. Ligandların IR spektrumlarında titreşim bantları O-H 3345 cm^{-1} de, C-H_{arom} 3050 cm^{-1} de, C-H_{ali} $2900\text{-}2950\text{ cm}^{-1}$ de, C=O 1666 cm^{-1} de, C=N 1640 cm^{-1} de ortaya çıkmıştır. Kompleksin, IR spektrumunda ise C=N 1630 cm^{-1} , C-H_{ali} 2930 cm^{-1} , C-H_{arom} 3060 cm^{-1} de titreşim bantları gözlemişlerdir (Khandar ve Nejati, 2000). Bizim çalışmamızda, bulunan değerler, literatürde verilen bulgularla uyum içerisindeidir.

4.4. Magnetik Suszeptibilite Sonuçlarının Değerlendirilmesi

Magnetik suszeptibilite ölçümleri, komplekslerin geometrik yapıları hakkında bilgi vermektedir. Bu nedenle sentezlenen 12 kompleksin magnetik suszeptibilite ölçümleri değerlendirilerek toplu halde Çizelge 4.2 de verilmiştir. $[\text{Co}(\text{L}^1)_2 \cdot 2\text{H}_2\text{O}]$ ve $[\text{Co}(\text{L}^2)_2 \cdot 2\text{H}_2\text{O}]$ komplekslerinin oda sıcaklığındaki magnetik suszeptibilite (moment) değerleri sırasıyla 3,77 ve 3,85 BM olarak bulunmuştur. Üç eşleşmemiş elektron bulunduran d⁷ elektron konfigürasyonundaki sp³d² hibritleşmesi yapmış Co(II)'nin paramagnetik ve oktaedral yapıdaki kompleksler için hesaplanan magnetik suszeptibilite değeri 3.87 BM dir. Göründüğü gibi deneysel veriler teorik bulgular ile uyum içindedir (Tunalı ve Özkar, 1997). Polimerik $[\text{CoL}^3 \cdot 2\text{H}_2\text{O}]_n$ ve $[\text{CoL}^4 \cdot 2\text{H}_2\text{O}]_n$ kompleksleri için magnetik suszeptibilite değerleri sırasıyla 4,10 ve 4,30 BM olarak bulunmuştur. Bu değerlerin sp³d² hibritleşmesi yapmış d⁷ metal iyonları için hesaplanan değerden farklı olması, orbital magnetik momentin katısından ileri geldiği belirtilmektedir (Tunalı ve Özkar, 1997, Köksal ve ark. 1996).

$[\text{Cu}(\text{L}^1)_2]$, $[\text{Cu}(\text{L}^2)_2]$, $[\text{CuL}^3]_n$ ve $[\text{CuL}^4]_n$ komplekslerinin, magnetik moment değerleri ise sırasıyla 1.66, 1.75, 1.79 ve 1.81 BM olarak ölçülmüştür. Bu değerler, beklenildiği gibi bir eşleşmemiş elektrona karşılık gelen d⁹ metal iyonları için hesaplanan 1,73 BM değerine yakındır (Tunalı ve Özkar, 1997). Burada komplekslerin karedüzlem veya tetrahedral yapıda olduğu söylenemez. Fakat Schiff bazlarının Cu(II) komplekslerinin karedüzlem yapıda olduğu literatürlerde belirtilmiştir (Mokhles ve Elzaher, 2001, Khandar ve Nejati, 2000).

$[Ni(L^1)_2]$, $[Ni(L^2)_2]$, $[NiL^3]n$ ve $[NiL^4]n$ komplekslerinin magnetik moment değerleri sırası ile 2,02, 2,12, 2,20 ve 2,22 BM olarak ölçülmüştür. Bu değerler Ni(II) komplekslerin sp^3 hibritleşmesi yaptığıni ve tetrahedral geometride olduğunu göstermektedir (Bıçak, 1980).

d^{10} elektron konfigürasyonunda olan Zn(II), Cd(II) ve Hg(II) metal iyonları tetrahedral yapıda diamagnetik kompleks oluşturur. d^{10} elektron konfigürasyonunda olan metal iyonlarının magnetik suszeptibilite ölçümleri yapılmamıştır (Mercimek ve ark. 1995, (Tunalı ve Özkar, 1997).

Köksal ve arkadaşları binükleer dört dişli Schiff bazlarının $[N,N'-bis(salisilidin)-1,5-diaminonaftalin, N,N'-bis(3-metoksisalisilidin)-1,5-diaminonaftalin ve N,N'-bis(4-hidroksisalisilidin)-1,5-diaminonaftalin]n$ nin Co(II) komplekslerini sentezlenlemiştir. Kobalt(II) komplekslerinin magnetik moment değerleri sırasıyla 2,96, 3,16 ve 4,40, 4,65 BM olarak bulmuşturlar. Kobalt(II) komplekslerinin paramagnetik ve oktaedral geometriye sahip olduklarını bildirmiştir (Köksal ve ark. 1996).

Mokhles ve Elzaher çalışmalarında, $N,N'-bis(salisilaldehit)-o-fenilendiamin Cu(II)$, $N,N'-bis(2-hidroksi-1-naftilaldehit)-o-fenilendiamin Cu(II)$ komplekslerinin, magnetik moment değerleri sırasıyla 1,82 ve 1,88 BM olarak bulmuşturlar. Bakır(II) komplekslerinin paramagnetik ve karedüzlem yapıda olduğunu rapor etmişlerdir (Mokhles ve Elzaher. 2001)

Spinu ve Kriza çalışmalarında, $N-(2-tiyonilmetyliden)-1-propanamin Ni(II)$ kompleksinin, magnetik moment değerini 3,52 BM olarak bulmuşturlar. Nikel(II) kompleksinin paramagnetik ve tetrahedral yapıda olduğunu bildirmiştir (Spinu ve Kriza, 2000).

4.5. 1H -NMR Spektrum Bulgularının Değerlendirilmesi

Sentezlenen altı bileşigin (bir monoksim, dört ligand, bir kompleks) DMSO- d_6 'da alınan 1H -NMR spektrumları değerlendirilerek toplu halde Çizelge 4.3' de verilmiştir. Örnek olarak da izonitrozo-2asetilnaftalin'e ait 1H -NMR spektrumu Şekil 4.2' de görülmektedir. Bu spektrum üzerinde, bileşiklerin protonlarına ait kimyasal kayma değerleri not edilmiştir.

Oksimlerin yapısında bulunan OH' a ait protonların kimyasal kayma aralığı 9,8-8,8 ppm olarak verilmektedir (Gündüz, 1990). C=N-OH protonlarının D_2O (Döteryum oksit) ilavesi ile kaybolan pikler olduğu ve 11,5 ppm kimyasal kayma değeri gösterdiği, döteryum

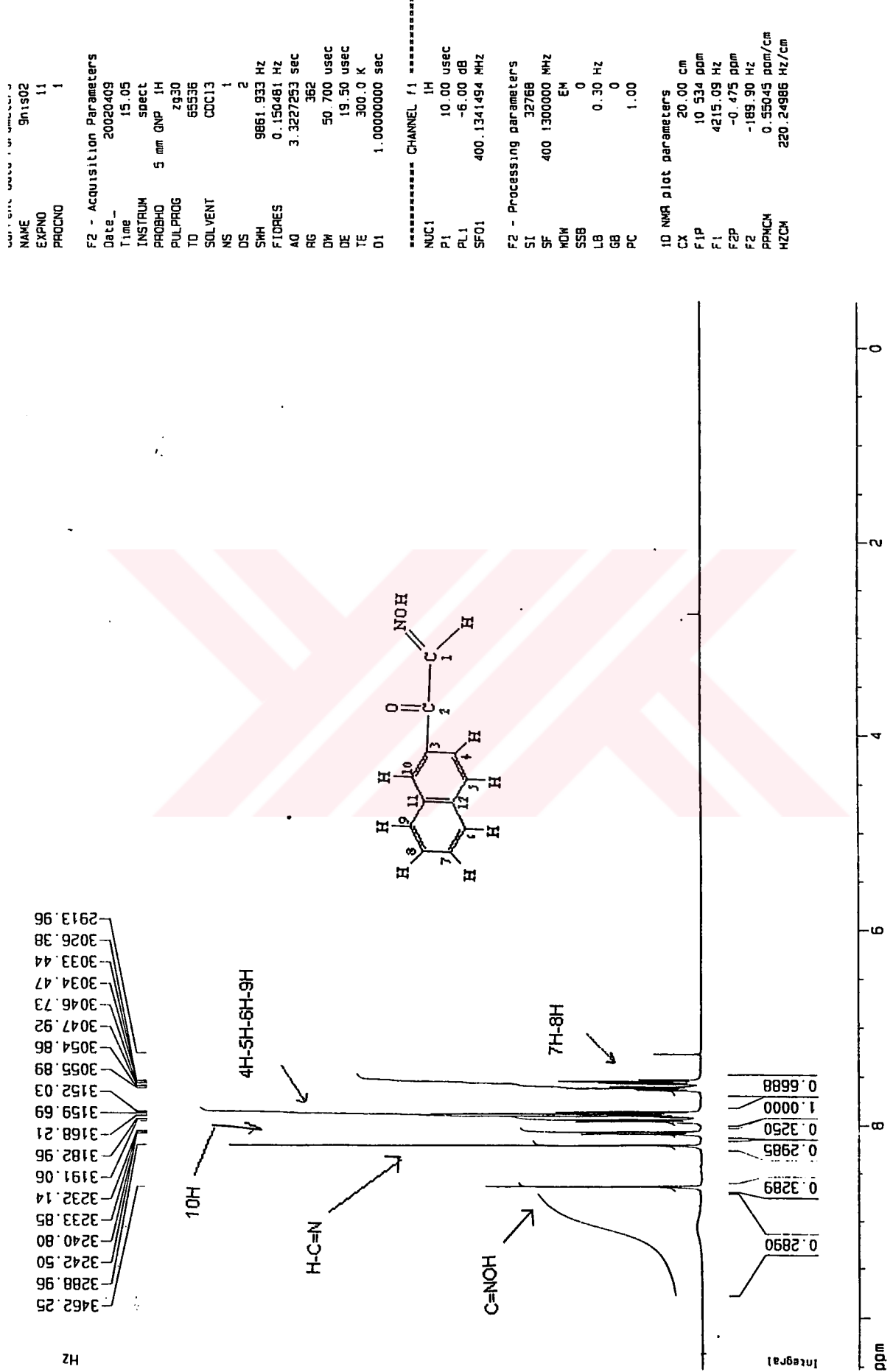
oksit'in hem -OH protonlarının belirlenmesi hem de spektrumun basitleştirilmesi için kullanıldığı bildirilmektedir (Erdik, 1993).

$^1\text{H-NMR}$ spektrumları incelendiğinde, izonitrozo-2-asetilnaftalin bileşigideki -OH protonunun δ 8,70 singlet bir pik olarak görülürken, sentezi yapılan (HL^1 , HL^2 , H_2L^3 , H_2L^4) ligandlarda -OH protonlarına ait kimyasal kayma değerlerinin dağılım aralığı 8,90-8,62 ppm olmuş ve singlet pikler halinde gözlenmiştir. $[\text{CoL}^3\cdot 2\text{H}_2\text{O}]n$ kompleksinde -OH piklerinin kaybolması, metal iyonlarının oksijen üzerinden bağlandığını göstermektedir.

Naftalin halkası sentezi yapılan tüm bileşiklerde bulunmaktadır. Erdik, eşdeğer protonların kimyasal kayma değerlerinin aynı olması gerektiğini, kimyasal eşdeğer olmayan protonların kimyasal kaymalarının çoğunlukla farklı olduğunu belirtmiştir (Erdik 1993). Sentezlenen bileşiklerin yapısında bulunan naftalin halkasına ait yedi proton eşdeğer değildir. Bu nedenle bileşiklerin yapısında bulunan bu tür protonların literatürde verilen 6,0-9,0 ppm kimyasal kayma değerlerinde çoklu pik (multiplet) vermesi gerekmektedir (Erdik, 1993). Altı bileşik için bu bölgede saptanan kimyasal kayma değerleri 8,38-7,18 ppm arasında multiplet olarak görülmüştür.

Oksim gruplarına komşu ($\text{H}-\text{C}=\text{N}-$) protonları δ 8,52-8,14 aralığında singlet olarak görülmüştür.. Azot atomlarına komşu CH_2 protonları δ 3,85-2,38 dağılım aralığında çıkmıştır. Alifatik CH protonları δ 2,81 ve 2,50 de multiplet, CH_3 protonları δ 2,48-1,00 de dublet olarak gözlenmiştir.

Ancın ve arkadaşları çalışmalarında, $^1\text{H-NMR}$ spektrumlarında $\text{H}-\text{C}=\text{N}$ protonlarının kimyasal kaymasını 8,6 ppm'de, C-H_{arom} 6,94-7,25 ppm'de, $-\text{CH}_3$ 1,89-2,27 ppm'de olduğunu rapor etmişlerdir (Ancın ve ark. 2000). Khandar ve Nejati çalışmalarında, $^1\text{H NMR}$ spektrumunda Ligand protonlarının kimyasal kaymalarının; O-H 13,8 ppm (s,2H), $\text{CH}=\text{N}$ 8,5 ppm, $-\text{CH}_2$ 4,04 ppm' de (s,4H) gözlediğini bildirmiştir (Khandar ve Nejati. 2000). Araştırmamızdaki bulgular literatürde verilen değerlerle uyum içindedir. (Ancın ve ark. 2000, Khandar ve Nejati, 2000).



Sekil 4.2. Izonitrozo-2-asetilnaftalin'ın ¹H-NMR spektrumu

Çizelge 4.3. Ligandların ve Komplekslerinin CDCl_3 daki ^1H NMR Spektrumları δ (ppm)

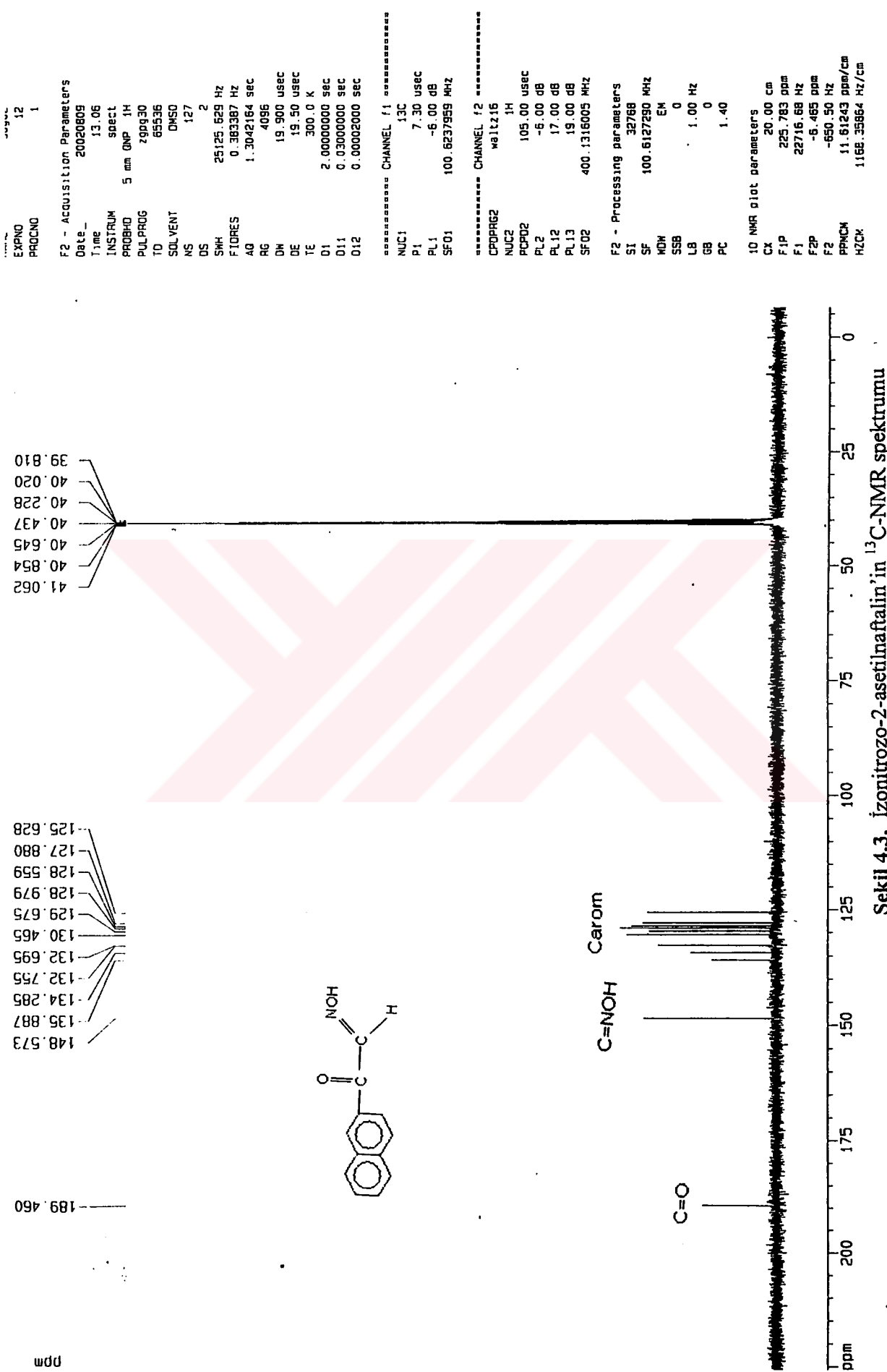
Bileşikler	O-H ^a	C-H(arom)	H-C=N	-CH ₂ -	-CH ₃	-CH-
$\text{C}_{12}\text{H}_9\text{NO}_2$	8.70 (s,1H)	8.21 – 7.54 (m,7H)	8.26 (s,1H)	-	-	-
HL^1	8.90 (s,1H)	8.38 – 7.80 (m,7H)	8.52 (s,1H)	-	2.48 (s,3H)	-
HL^2	8.62 (s,1H)	8.02-7.18 (m,12H)	8.14 (s,1H)	3.85 (s,2H)	-	-
H_2L^3	8.71 (s,1H)	8.08 – 7.54 (m,14H)	8.23 (s,1H)	2.38 (d,2H)	1.00 (d,3H)	2.81 (m,1H)
H_2L^4	8.62 (s,1H)	8.04 – 7.46 (m,14H)	8.15 (s,1H)	2.96-2.59 (t,4H)	-	-
$[\text{CoL}^3 \cdot 2\text{H}_2\text{O}]_n$		8.10-7.53 (m,14H)	8.33 (s,1H)	3.05 (d,2H)	1.40 (d,3H)	2.50 (m,1H)

4.6. ^{13}C -NMR Spektrum Bulgularının Değerlendirilmesi

Sentezlenen izonitrozo-2-asetilnaftalin ve HL^1 , H_2L^3 , H_2L^4 ligandlarının $\text{CDCl}_3 + \text{DMSO}$ ve DMSO da alınan ^{13}C -NMR spektrumları değerlendirilerek toplu halde Çizelge 4.4.'de verilmiştir. Örnek olarak da izonitrozo-2asetilnaftalin'e ait ^{13}C -NMR spektrumu Şekil 4.3 de görülmektedir. Bu spektrum üzerinde, bileşiklerin karbon atomlarına ait kimyasal kayma değerleri not edilmiştir.

İzonitrozo-2-asetilnaftalin ve ligandlarda; aromatik halkanın 10 karbon atomunun piklerine ait kimyasal kaymaları 135.88-125.61 ppm aralığında benzer pikler halinde gözlenmiştir. İzonitrozo-2-asetilnaftalinin karbonil grubunun ($>\text{C=O}$) karbon atomunun kimyasal kayması 189.46 ppm'de, oksim grubunun ($>\text{C=NOH}$) δ 148.57 de görülmüştür. Ligandlardaki azometin gruplarının ($>\text{C=N-}$) karbon atomlarına ait kaymalar 189.59-189.36 aralığında, oksim gruplarının ($>\text{C=NOH}$) δ 148.57-148.36 de, N-CH_3 δ 28.30-21.43 de, N-CH_2 δ 49.39-41.83 de, $-\text{CH-N}$ δ 50.19 da gözlenmiştir.

^{13}C -NMR spektrumunda karbonil karbonlarının kolayca bulunduğu, δ 160-250'de soğurma yaptıkları, aldehit karbonili hariç şiddetleri en düşük pikler olduğu, aromatik halkanın ^{13}C atomlarının kimyasal kayma aralıklarının 145-110 ppm olduğu, oksimlerin C=NOH δ 145-170'de soğurma yaptıkları bildirilmektedir (Erdik, 1993). Tümer ve arkadaşları yaptıkları çalışmada: ^{13}C -NMR spektrumunda azometin grubunun ($>\text{C=N-}$) karbon atomlarının kimyasal kaymalarının 166.75-161.95 ppm'de görüldüğünü rapor etmişlerdir (Tümer ve ark. 1997). Bu araştırmada saptadığımız değerler, Schiff bazlarının ^{13}C -NMR kimyasal kayma değerleri ile uyumlu olduğunu göstermektedir.



Şekil 4.3. İzonitrozo-2-asetilnaftalin'in ^{13}C -NMR spektrumu

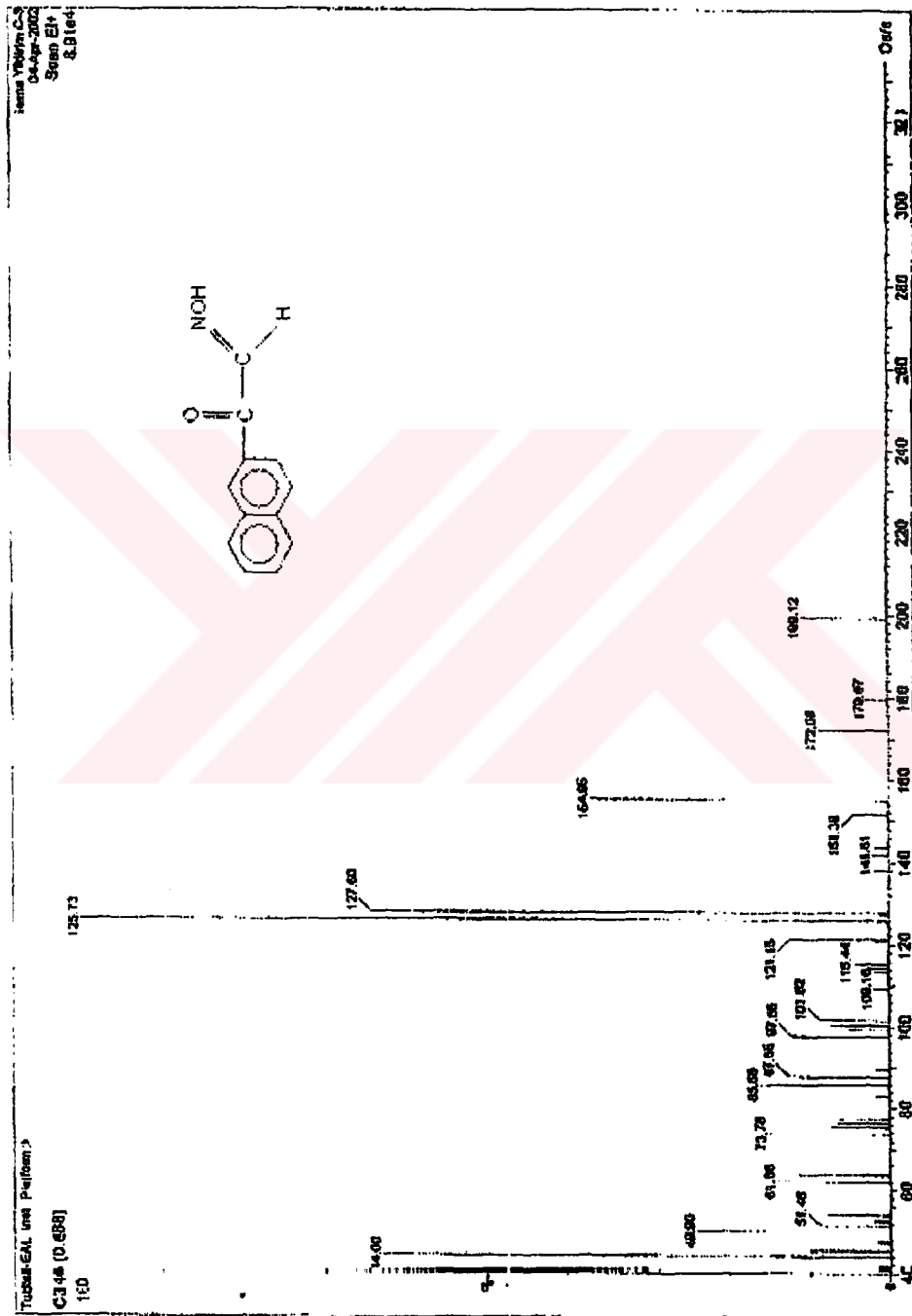
Çizelge 4.4. Ligandların CDCl_3^* +DMSO* ve DMSO* daki ^{13}C -NMR Spektrumları δ (ppm)

Bileşikler	$-\text{C}=\text{N}-\text{R}$	$>\text{C}=\text{NO}$	C_{arom}	$\text{C}=\text{O}$	$-\text{CH}_2$	$-\text{CH}-$
$\text{C}_{12}\text{H}_9\text{N}_2$	-	148.57	135.88,134.28,132.75,132.69 130.46,129.67,128.97,128.55 127.88,125.62	189.46	-	-
HL^1	189.59	148.57	135.88,134.79,134.56,132.76 130.42,129.54,128.86,128.53 127.80,125.75	- CH_3 28.30	-	-
H_2L^3	189.36	148.36	135.80,134.16,132.66,132.58 130.07,129.14,128.53,128.25 127.38,125.61	- CH_3 21.43	49.39	50.19
H_2L^4	189.58	148.55	135.81,134.51,132.76,132.59 130.43,129.56,128.88,128.53 127.81,125.74	-	44.43	- 41.83

(*) δ $\text{\c{c}}\text{o}z\text{ü}c\text{ü}$: CDCl_3 : 79.36-78.71 ppm, DMSO: 41.17-39.92 ppm

4.7. Kütle Spektrumlarının (MS) Değerlendirilmesi

Sentezlenen 28 bileşikten beş tanesinin (bir monoksim, üç ligand, bir kompleks) kütle spektrumları alınmış ve bu spektrumlardan elde edilen sonuçlar Çizelge 4.5 de verilmiştir. Diğer spektrumlar ek olarak verilmiştir. Örnek olarak da izonitrozo-2-asetilnaftaline ait kütle spektrumu Şekil 4.4 de görülmektedir. Çizelge 4.5 de görüldüğü gibi moleküleriyon (M^+) pikleri elementel analizin gösterdiği empirik formül ile uyum içindedir. Diğer pikler moleküleriyonun fragmentlerini göstermektedir. Izonitrozo-2-asetilnaftalinin mol kütlesi 199.20 g olarak hesaplanmıştır. Kütle spektrumu sonucu saptanan kütlesi ise 199,12 g dir (Şekil 4.4). Bu değer izonitrozo-2-asetilnaftalinin yapısını doğrulamakta yani sentezin gerçekliğini kanıtlamaktadır. Aynı şekilde diğer bileşikler için elde edilen kütle spektrum bulgularının, ligandlar ile kompleksin molekül kütlelerinin doğruluğunu göstermektedir. Yapıları daha önce de FTIR, $^1\text{H-NMR}$, $^{13}\text{C-NMR}$, magnetik suszeptibilite ve elementel analiz bulguları ile aydınlatılan bileşiklerin kütle spektrumları incelendiinde sonuçların tamamı bileşiklerin yapısının doğruluğunu desteklemektedir.



Sekil 4.4. İzonitrozo-2-acetilinalatinin MS spektrumu.

Çizelge 4.5. Ligandların ve komplekslerin (MS) kütle spektrumları

Bileşiğin Formülü	Bileşiğin mol kütlesi (g)		m/e	Bağıl Bolluk(%)	Fragment
	Hesaplanan	Deneysel			
$C_{12}H_9NO_2$	199,20	199,12	199	10,56	$M^+(C_{12}H_9NO_2)$
			155	36,78	$C_{11}H_7O$
			127	64,08	$C_{10}H_7$
			125	100	$C_{10}H_5$
$C_{13}H_{12}N_2O$ HL^1	212,25	212,1	212	19	$M^+(C_{19}H_{16}N_2O)$
			199	65	$C_{12}H_{11}N_2O$
			155	100	$C_{11}H_7N$
$C_{19}H_{16}N_2O$ HL^2	288,36	288,1	288	3	$M^+(C_{19}H_{16}N_2O)$
			199	100	$C_{12}H_{11}N_2O$
			181	12	$C_{12}H_7NO$
$C_{27}H_{24}N_4O_2$ H_2L^3	436,53	436,1	436	3	$M^+(C_{27}H_{24}N_4O_2)$
			387	28	$C_{27}H_{11}N_3$
			345	14	$C_{25}H_{17}N_2$
			155	100	$C_{11}H_9N$
			127	84	$C_{10}H_7$
$C_{26}H_{22}N_4O_2$ H_2L^4	422,49	422,1	422	2	$M^+(C_{26}H_{22}N_4O_2)$
			373	7	$C_{26}H_{19}N_3$
			155	89	$C_{11}H_9N$
			127	77	$C_{10}H_7$
$C_{27}H_{26}N_4O_4.C_6$ $[CoL^3.2H_2O]_n$	529,46	529,51	529	9	$M^+(C_{27}H_{26}N_4O_4.C_6)$
			384	20	$C_{17}H_{17}N_4O_3.C_6$
			306	14	$C_{17}H_{14}N_4O_2$
			238	18	$C_{15}H_{14}N_2O$
			220	17	$C_{14}H_8N_2O$
			181	100	$C_{12}H_7NO$

4.8. UV-Vis Spektrumlarının Değerlendirilmesi

Sentezlenen dokuz bileşigin (üç ligand, altı kompleks) elektronik absorbsiyon (UV-Vis) spektral verileri değerlendirilerek toplu halde Çizelge 4.6 da verilmiştir. İminoooksimili Schiff bazlarının, naftalin halkasının $\pi-\pi^*$ geçişin den kaynaklanan aromatik bantları 260-290 nm de ($\epsilon= 26420-10660$) gözlenmiştir. Azometin grubuna ait (C=N) karakteristik $\pi-\pi^*$ geçiş bandı 340-350 nm ($\epsilon= 5400-5320$) de ortaya çıkmıştır.

Çizelge.4.6. Ligand ve komplekslerin UV-visible spektrumları

Şekil No	Maddenin Adı	Çözücü	Konsantrasyon Mol/L	Dalga Boyu (nm),		Molar Absorbsiyon (ε)
						Katsayısı (L/mol.cm)
EK.I-Şekil.1.	Metil İmino İsonitroso-2-Asetilnaftalin	DMSO	5×10^{-5}	270	Pik	16240
				300	Pik	10800
				290	Omuz	10660
				350	Pik	2900
EK.I-Şekil.2.	1,2-Propil İmino- Bis(İsonitroso-2-Asetilnaftalin)	DMSO	5×10^{-5}	270	Pik	29780
				290	Omuz	28140
				300	Pik	20260
				340	Omuz	5400
				350	Pik	5320
EK.I-Şekil.3.	1,2-Etil İmino- Bis(İsonitroso-2-Asetilnaftalin)	DMSO	5×10^{-5}	260	Pik	26420
				270	Omuz	25740
				290	Omuz	16920
				300	Pik	17020
				350	Pik	4520
EK.I-Şekil.4.	Metil İmino İsonitroso-2-Asetilnaftalin Co(II) Kompleksi	DMSO	5×10^{-5}	270	Pik	22380
				300	Omuz	13980
				320	Omuz	13520
				410	Pik	14780
EK.I-Şekil.5.	1,2-Propil İmino- Bis(İsonitroso-2-Asetilnaftalin) Cu(II) Kompleksi	DMSO	5×10^{-5}	240	Pik	1200
				270	Pik	24800
				340	Omuz	12380
				340	Pik	4180
EK.I-Şekil.6.	Benzil İmino İsonitroso-2-Asetilnaftalin Zn(II) Kompleksi	DMSO	5×10^{-5}	260	Pik	24200
				290	Pik	15900
				340	Pik	4180
				410	Pik	210
				270	Pik	24200
EK.I-Şekil.7.	1,2-Etil İmino- Bis(İsonitroso-2-Asetilnaftalin) Ni(II) Kompleksi	DMSO	5×10^{-5}	260	Omuz	21000
				300	Omuz	14700
				370	Pik	21140
				240	Omuz	440
				270	Pik	14080
EK.I-Şekil.8.	1,2-Propil İmino- Bis(İsonitroso-2-Asetilnaftalin) Cd(II) Kompleksi	DMSO	5×10^{-5}	290	Pik	9560
				330	Pik	2540
				350	Omuz	2160
				270	Pik	24100
				290	Pik	15500
EK.I-Şekil.9.	1,2-Etil İmino- Bis(İsonitroso-2-Asetilnaftalin) Hg (II) Kompleksi	DMSO	5×10^{-5}	350	Pik	3320

Tümer ve arkadaşları yaptıkları çalışmada Schiff bazlarının azometin grubunun ($C=N$) $\pi-\pi^*$ geçişine ait bandı 345-465 nm'de gözlemiştir. Serbest ligandlar ile

karşılaştırıldığında komplekslerin imin π - π^* geçişlerine ait piklerin kaydışı, bu kaymayı metal iyonunun ligandın imin grubunun azot atomu ile koordinasyona girmesine bağlamışlardır. Komplekslerde ayrıca 611 ve 647 nm de Cu(II) metal iyonunun d-d geçişlerinden kaynaklanan bandlar görmüşlerdir (Tümer ve ark. 1996).

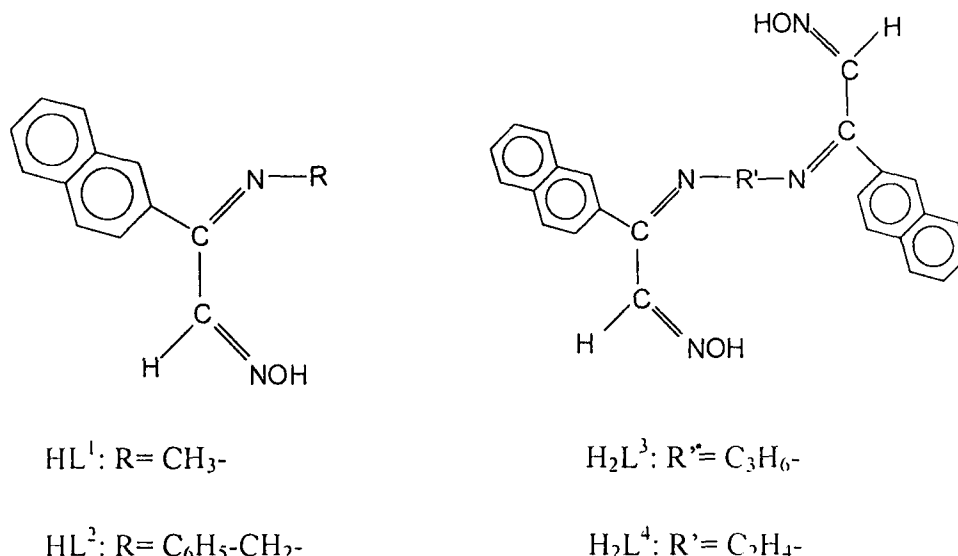
Komplekslerde azometin grubuna ve aromatik halkaya ait karakteristik bandların hemen hemen aynı kaldığı görülmüştür. Komplekslere ait UV-Vis spektrumlarında, kompleks geometrilerinin açıklanmasında yararlı ipuçları verecek olan d-d geçişlerine karşılık gelen bandlar çok zayıf olmaları nedeniyle görülememiştir. UV-Vis bölgedeki yük transfer bandları ile liganda ait bandların genellikle çakışır olması nedeniyle d-d geçişleri görülmemiştir. Kompleks yapılarının aydınlatılmasında UV-Vis spektrumlarından yeterince yararlanılamamıştır. Bu araştırmada kompleks yapılarının açıklanmasında UV-Vis spektrumlarından yararlanılamamıştır (Gök ve Bekaroğlu, 1981).

4.9. Ligandlar ve Kompleksler İçin Önerilen Yapılar

FTIR, $^1\text{H-NMR}$, $^{13}\text{C-NMR}$, MS, UV-Vis, magnetik suszeptibilite, elementel analiz verileri ve literatür bilgileri dikkate alınarak ligandlar için Şekil 4.5'de ki yapı, kompleksler için Şekil 4.5, Şekil 4.6, Şekil 4.6 ve Şekil 4.8 'deki yapılar önerilmiştir.

4.9.1. Ligandların yapıları

İzonitrozo-2-asetilnaftalinden farklı mono(1:1) ve diaminlerden (2:1) sentezlenen ve literatürde bulunmayan dört ligandın yapıları Şekil 4.5'de önerilmiştir.

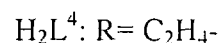
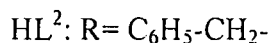
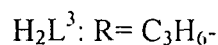
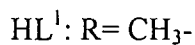
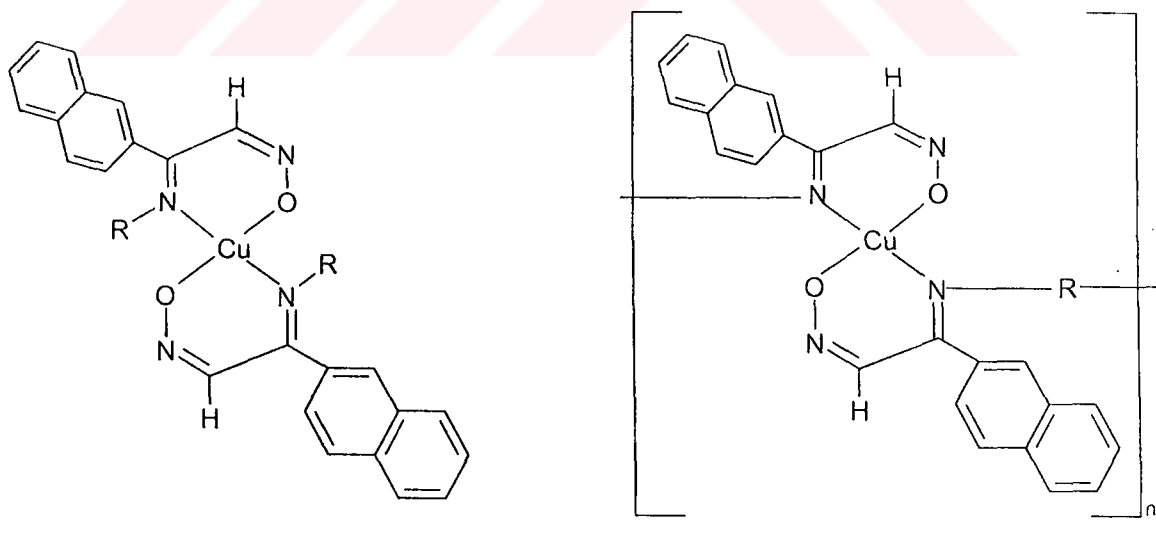


Şekil 4.5. İmino oksimli Schiff bazlarının yapısı

4.9.2. Komplekslerin yapıları

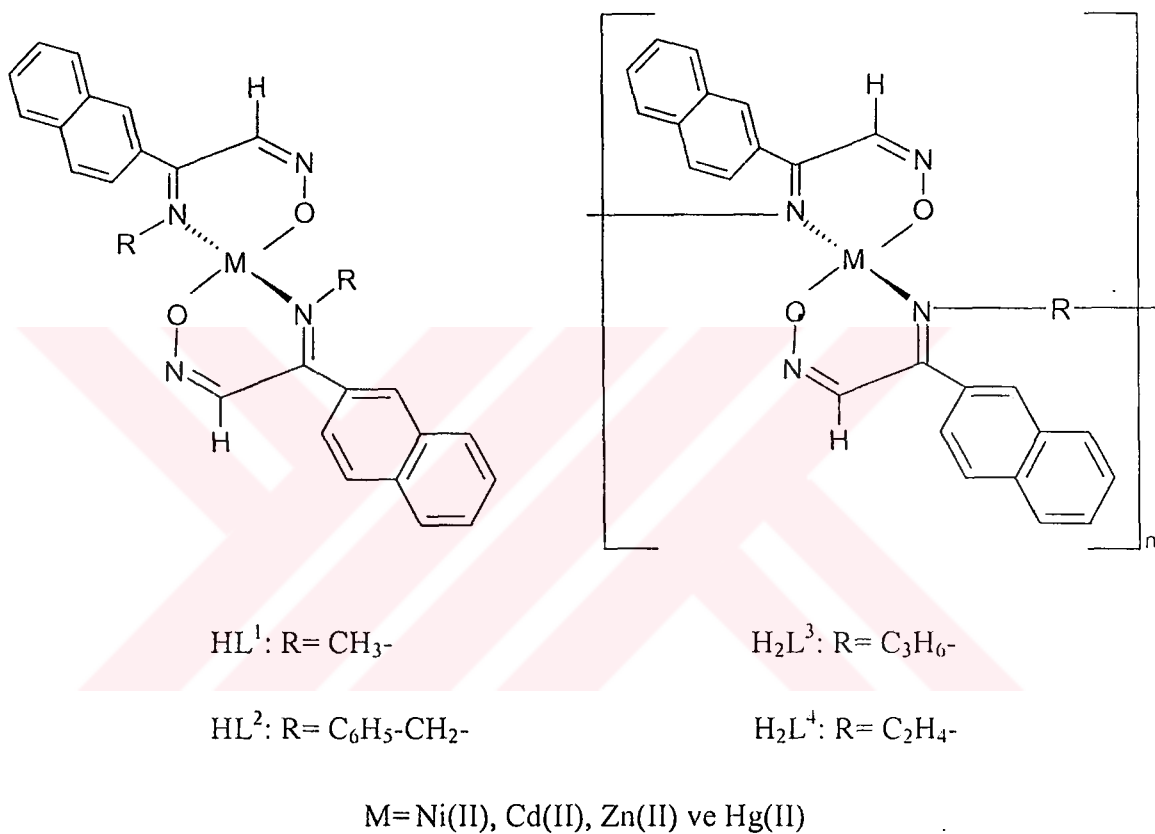
Sentezi yapılan dört farklı iminooksimli schiff bazlarının Ni(II), Cu(II), Co(II), Zn(II), Cd(II) ve Hg(II) metal kompleksleri elde edilmiştir. Metal kompleksleri organik çözücülerde çözünmedikleri için sadece çözünen komplekslerden $\text{CoL}^3 \cdot 2\text{H}_2\text{O}$ metal kompleksinin $^1\text{H-NMR}$ spektrumu alınabilmiştir (Çizelge 4.3). Komplekslerin yapılarının aydınlatılmasında IR spektrumları, magnetik suszeptibilite ve elementel analiz sonuçlarından faydalanyılmıştır. Komplekslerin yapıları aydınlatıldığında üç farklı yapı olduğu göze çarpmaktadır:

Bunlardan birincisi ligandların Cu(II) komplekslerine ait kare düzlem yapıdır. Bu yapıda; metal/ligand oranı HL^1 ve HL^2 nin Cu(II) komplekslerinde $1/2$, H_2L^3 ve H_2L^4 nin Cu(II) komplekslerinde $1/1$ dir. Bakır(II) komplekslerinin yapısı, literatürlerde görülen yapılar ile uyum içerisindeidir (Tümer, 1996, Sarıkahya, 1997). Ligandların Cu(II) komplekslerine ait önerdiğimiz kare düzlem yapı Şekil 4.6 da görülmektedir. Bakır(II) komplekslerinde literatürde de belirtilen şelat yapı oluşmaktadır. Metal iyonu; oksim gruplarının oksijen, imin gruplarının azot atomları üzerinden koordinasyona girmiştir. Sentezi yapılan komplekslere ait FT-IR spektrumlarında metal-oksijen titreşim bandları $400-475 \text{ cm}^{-1}$ de, metal-azot bağının titreşim bandları $493-540 \text{ cm}^{-1}$ de görülmüştür.



Şekil 4.6 Ligandların Cu (II) komplekslerinin kare düzlem yapısı.

Dört ligandın da Ni(II), Zn(II), Cd(II) ve Hg(II) komplekslerinin tetrahedral geometriye sahip olduğu magnetik suszeptibilite ve elementel analiz sonuçlarından anlaşılmıştır. Bu yapı Şekil 4.7 de gösterilmiştir. Komplekslerde literatürde de belirtilen altı üyesi şelat yapı oluşturmaktadır. Metal iyonu; oksim grublarının oksijen, imin gruplarının azot atomları üzerinden koordinasyona girmiştir. Sentezi yapılan komplekslere ait FTIR spektrumlarında M-O titreşim bandları $420\text{-}482\text{ cm}^{-1}$ de, M-N titreşim bandları ise $481\text{-}585\text{ cm}^{-1}$ civarında görülmüştür.



Şekil 4.7 Ligandların Ni(II), Cd(II), Zn(II) ve Hg(II) komplekslerinin tetrahedral yapısı.

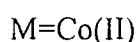
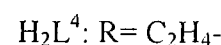
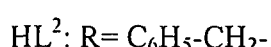
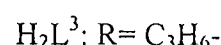
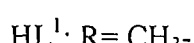
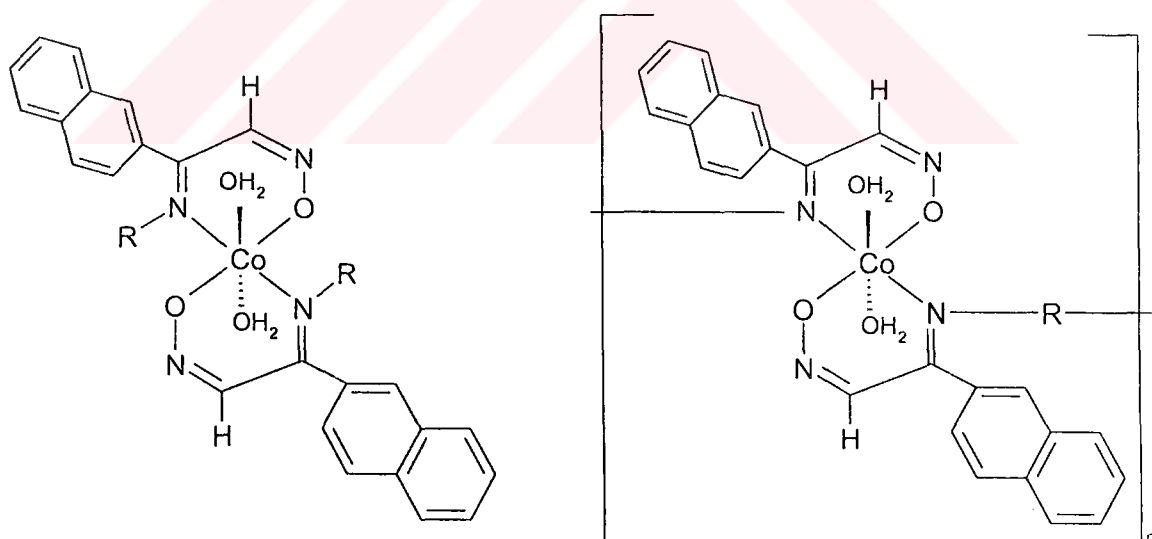
Tüm ligandların Co(II) komplekslerinde; Ni(II), Cu(II), Zn(II), Cd(II) ve Hg(II) komplekslerinden farklı olarak; oktaedral bir yapının ortaya çıktığı IR spektrumları, MS, $^1\text{H-NMR}$, magnetik suszeptibilite ve elementel analiz sonuçlarından anlaşılmıştır. Bu yapı Şekil 4.8 de gösterilmiştir. Burada kare düzlem şelatı oluşturan Schiff bazlarından başka, iki su molekülünün de eksensel konumlardan metal iyonuna bağlandığı düşünülmektedir. $[\text{CoL}^3\cdot 2\text{H}_2\text{O}]_n$ kompleksinin $^1\text{H-NMR}$ spektrumunda -OH piklerinin kaybolması metallerin oksijen üzerinden bağlandığını göstermektedir. FTIR spektrumlarında M-O titreşim bandları $420\text{-}431\text{cm}^{-1}$, M-N titreşim bandları $482\text{-}484\text{ cm}^{-1}$ civarında görülmesi, Co(II) iyonunun oksijen ve azot atomu üzerinden koordinasyona girdiğini göstermektedir.

$3420\text{-}3500\text{ cm}^{-1}$ civarında görülen geniş -OH piki, koordinasyona giren su moleküllerinin varlığını doğrulamaktadır.

Çizelge 4.1 deki elementel analiz verilerinden Co(II) komplekslerinin, hidrojen miktarının, karbon ve azot miktarlarına oranlarının Ni(II) ve Cu(II) komplekslerinkinden, daha yüksek olduğu görülmüştür. Hidrojen miktarının artması, yapıya su moleküllerinin bağlandığını ispat etmektedir. Örnek olarak, metilimino-izonitrozo-2-asetilnaftalinin Ni(II), Cu(II) ve Co(II) komplekslerinin H/C ve H/N oranları:

$[\text{Ni(L}^1\text{)}_2]$	H / C	$4,43 / 64,74 = 0,068$	H / N	$4,43 / 11,79 = 0,38$
$[\text{Cu(L}^1\text{)}_2]$	H / C	$4,46 / 64,15 = 0,069$	H / N	$4,46 / 11,26 = 0,39$
$[\text{Co(L}^1\text{)}_2 \cdot \text{H}_2\text{O}]$	H / C	$4,92 / 60,28 = 0,081$	H / N	$4,92 / 10,50 = 0,47$ dir.

Diğer Co(II) komplekslerinde de benzer durum saptanmıştır. $[\text{CoL}^3 \cdot 2\text{H}_2\text{O}]_n$ nin mol kütlesi 529,46 g olarak hesaplanmıştır. Bu bileşigin kütle spektrometresi ile yapılan analiz sonucunda kütlesi deneysel olarak 529,51g bulunmuştur. Bu değer kompleksin yapısında iki mol suyun bulunduğuunu ispatlamaktadır.



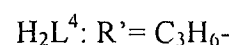
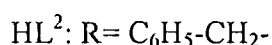
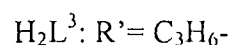
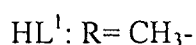
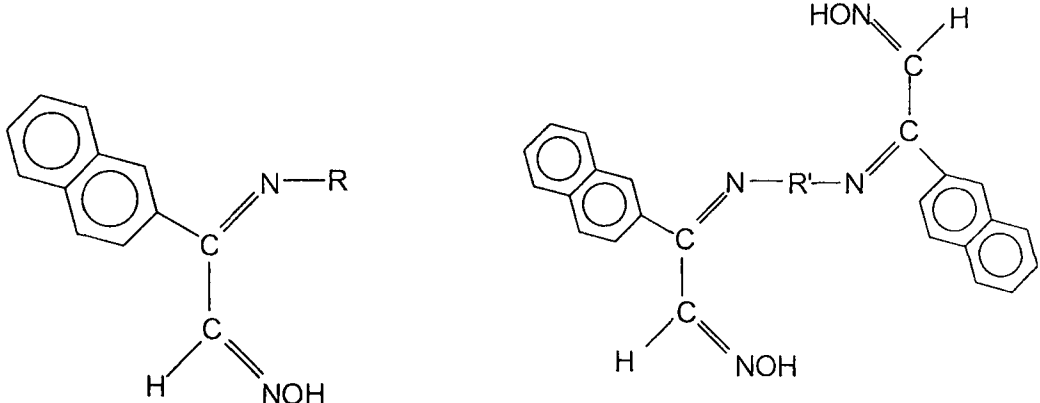
Şekil 4.8 Ligandların Co(II) komplekslerinin oktaedral yapısı.

BÖLÜM V

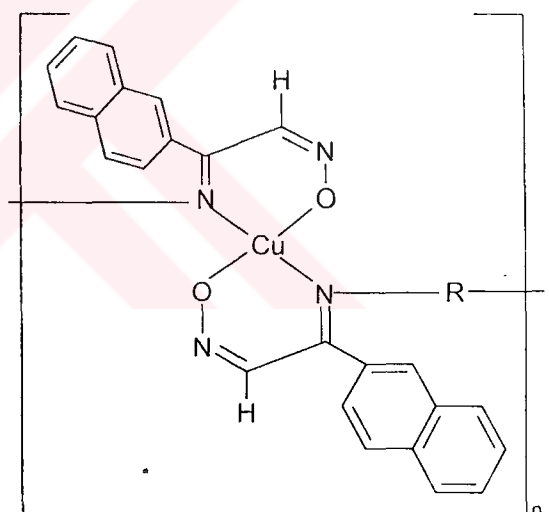
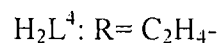
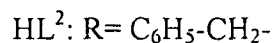
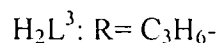
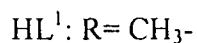
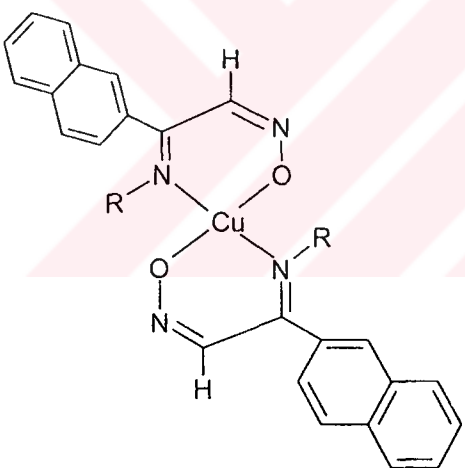
SONUÇLAR

İminoooksimli Schiff bazları ve geçiş metal komplekslerinin sentezlenmesi amacıyla yapılan bu çalışmada sırasıyla dört iminoooksimli schiff bazi ve 24 metal kompleksi, literatürde verilen yöntemler kullanılarak sentezlenmiştir. 2-Asetilnaftalin nitrozolanarak, laboratuarda izonitrozo-2-asetilnaftalin yeniden sentezlenmiştir. İzonitrozo-2-asetilnaftalin ile metilamin, benzilamin, 1,2-diaminopropan ve etilendiamin'den dört yeni ligand: Metilimino-izonitrozo-2-asetilnaftalin (HL^1), benzilimino-izonitrozo-2-asetilnaftalin (HL^2), 1,2-propilimino-bis(izonitrozo-2-asetilnaftalin) (H_2L^3), etilimino-bis(izonitrozo-2-asetilnaftalin) (H_2L^4) ligandları ve bu ligandlardan da Ni(II), Cu(II), Co(II), Zn(II), Hg(II) ve Cd(II) asetat ile 24 kompleks sentezlenmiştir. Sentezlenen 28 yeni ligand ve kompleksin tümünün yapıları; elementel analiz ve FTIR yöntemleriyle, bu yöntemlere ek olarak altı bileşigin (dört ligand, bir monoksim, bir kompleks)yapısı 1H -NMR, dört bileşiginki (üç ligand, bir monoksim) ^{13}C -NMR, beş bileşiginki (üç ligand, bir monoksim, bir kompleks) MS, dokuz bileşiginki (üç ligand, altı kompleks) UV-Vis spektroskopik yöntemleriyle ve 12 kompleksin yapısı magnetik suszeptibilite ölçümleriyle aydınlatılmıştır. Analiz bulguları ve literatür bilgileri dikkate alınarak ligandlar ve kompleksler için yapısal formüller önerilmiştir.

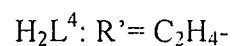
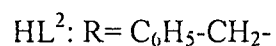
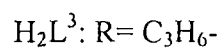
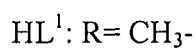
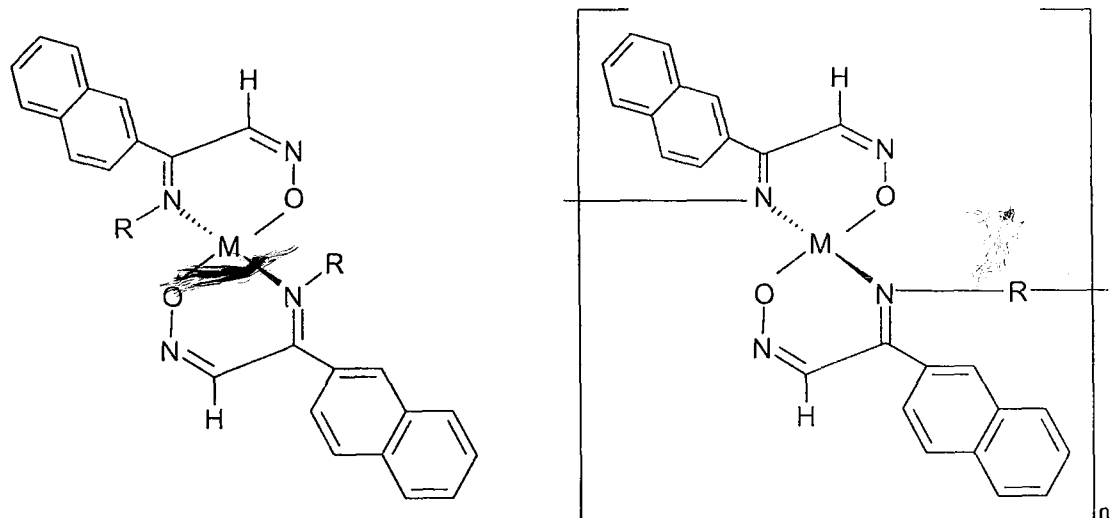
1. Erime noktalarının dağılım aralığı; iminoooksimli schiff bazlarında 75°C - 90°C , komplekslerinde 112°C - 284°C olmuştur. Schiff bazlarının tamamı etanol, diklorometan, kloroform, karbontetraklorür, DMSO, THF ve metanolde çözünmüştür. Hekzan ve suda çözünmemiştir.
2. Sentezlenen bileşiklerin elementel analiz bulguları hesaplanan C, H ve N miktarlarını doğrulamıştır.
3. FTIR, 1H -NMR, ^{13}C -NMR, magnetik suszeptibilite, UV-Vis ve MS bulguları ile literatür verileri dikkate alınarak ligandlar ve kompleksler için yapısal formüller önerilmiştir. Ligandların hazırlanması sırasında birbirlerinden farklı yapılarda mono ve diaminler seçilmiş, bu ligandların yapılarının şeklinde olduğu sonucuna varılmıştır



4. Cu (II) komplekslerinin yapıları kare düzlem olarak önerilmiştir. Bu yapıda, metal iyonu, oksijen ve azot atomları üzerinden koordinasyona girmiştir.

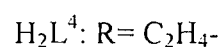
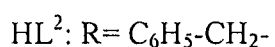
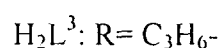
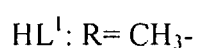
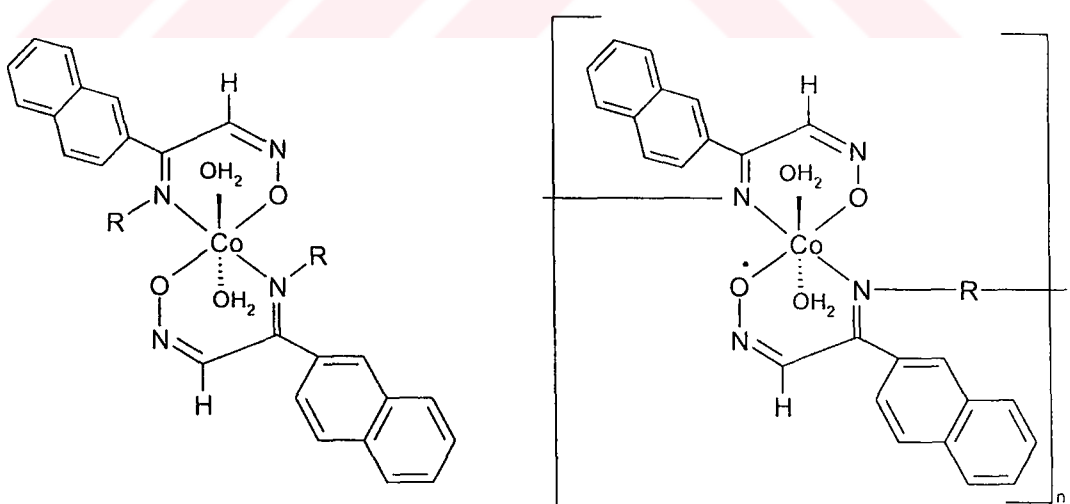


5. Ligandların Ni(II), Cd(II), Zn(II) ve Hg(II) komplekslerinin yapıları tetrahedral olarak önerilmiştir. Bu yapıda, metal iyonu, oksijen ve azot atomları üzerinden koordinasyona girmiştir.



$M = \text{Ni(II)}, \text{Cd(II)}, \text{Zn(II)} \text{ ve } \text{Hg(II)}$

6. Ligandların Co(II) kompleksleri için oktaedral yapı önerilmiştir. Burada kare düzlem şelatı oluşturan Schiff bazlarından başka, iki su molekülünün eksensel konumlardan metal iyonuna bağlandığı düşünülmektedir.



$M = \text{Co(II)}$

BÖLÜM VI

ÖNERİLER

Bu çalışmada; 2-asetilnaftalinden çıkışarak, izonitrozo-2-asetilnaftalin elde edilmiştir. İzonitrozo-2-asetilnaftalin ile metilamin, benzilamin, 1,2-diaminopropan ve etilendiamin'den dört yeni Schiff bazı ve Ni(II), Cu(II), Co(II), Zn(II), Cd(II) ve Hg(II) asetat ile 24 kompleks sentezlenmiştir.

- 1- İzonitrozo-2-asetilnaftaline, bu çalışmada kullanılan aminlerden farklı amin bileşikleri bağlanarak yeni iminoooksimli Schiff bazlarının (ligandlarının) sentezlenmesini, bu ligandlardan da, bu çalışmada kullanılan geçiş metallerinden farklı metaller kullanarak yeni kompleksler elde edilmesini.
- 2- Bu çalışmada, sentezlenen komplekslerin; antimikroiyal ve antitümer etkisi olup olmadığı, sentezlenen ligandların, bazı metallerin ekstraksiyon ile ayrılığında veya tayin edilmesinde kullanılabilirliğinin, komplekslerin yapısındaki metal iyonlarının spektrofotometrik tayinlerde kullanılabilirliğinin, sentezlenen komplekslerin ligand değiştirici sabit faz maddesi olarak kullanılabilirliğinin, araştırılmasını, önermektedir.

7. KAYNAKLAR

- Ancin, N. İde S. Oztaş S.G. Tüzün M. 2002. Journal Of Molecular Structure 606,45-50.
- Bekaroğlu, Ö. 1972. "Koordinasyon Kimyası", İ.Ü. Kimya Fak. Yayınu, İstanbul..
- Bell, S. C. Conklin, G. L. And Childress, S. J. 1963. The Sparation of Ketimine Isomers. J. Of the American Chem. Society. 85, 397-398.
- Bışak, N., 1980. "1,2-Asenastendion'un primer aminlerle doğrudan ve metal iyonları varlığındaki reaksiyonları", Doktora Tezi İ.T.Ü.kimya.Fakültesi. İstanbul.
- Bierlein, T. K. Lingafelter, E. C. 1951. The Crystal Structure of Acetoxime. Acta Chem. 4, 450.
- Bilman, J. H. And Tai, K. M. 1958. Reduction of Schiff bases, II. Benzhydrylamines and structurally related compounds. J. Of Org. Chem. 23, 535-539.
- Brady, O. L. and Chkshi, N. M. 1929. The Isomerism of the Oximes. J. Chem. Society. 2271.
- Burakevic, J. V. Lore, A. M. and Volpp, G. P. !971. Phenylglyoxime Separation, Characterization and Structure of three Isomers. J. Org. Chem. 36, 1.
- Burger, K. Ruff, F. 1965. Infrared and Ultra-Violet Spectrophotometric study of the Dimethylglyoxime Complex of Transition Metals. J. Inorg. Nucl. Chem. 27, 179.
- Cervera, B. Ruiz, J. Lloret, F. and Faus, J. 1999. Inorganica Chimica Acta 288, 57-68.
- Chakravorty, A. 1974. Coordination Chemistry. Rev. 13, 1.
- Cutler. A. R., Alleyne, C. S., and Dolphin, D., 1985. Inorg. Chem. 24, 2281-2286.
- Demirhan, F. Sarıkahya, F. And Sarıkahya, Y. 1997. Reactions of Tin(IV) tetrachloride with some transition metal ion Schiff base complexes. Doktora Tezi E.Ü.Fen-Ed.Fak.Kimya Böl. İzmir.
- Deveci, M. A. 1994. 'İminoooksim Türevlerinin Eldesi ve Onların Bazı Geçiş Elementleri ile Metal Kompleks Yapılarının İncelenmesi' Kimya Anabilim Dalı Doktora Tezi Selçuk Üniversitesi Fen Bilimleri Enstitüsü.
- Djebbar, S. Benali O. and Deloume J. P. 2001. Journal Of Molecular Structure 569, 121-128.

- Drew, G.B. Kisenyl, M. 1982. "Studies of Dioxamide and Dithio-oxamide Metal Complexes", J.Chem. Soc. p.p. 946, 2271.
- Dutta, A. Bhattacharya, S. and Banerjee, P. 1998. Polyhedron Vol.17, No. 13-14, 2313-2319.
- Dziembowska, T. Guskos, N. Typek, J. Seymczak, R. and Glenis, S. 1999. Spectroscopic and Magnetic Properties of two di-Cu(II) Complexes with macrocyclic Schiff base. Materials Research Bulletin, Vol 34 No: 6, pp-943-954.
- El-Sonbati A. Z. and El-Binary A. A. 2000. Polish J. Chem. 74,621-630.
- Erdik, E. 1993. Organik Kimyada Spektroskopik Yöntemler. Gazi Büro Kitapevi-Ankara
- Ersöz, M. Yıldız, S. and Pehlivan, E. 1993. "Separation of Nucleosides and Nucleic Acid Bases by Ligand-exchange Chromatography Using Co^{2+} -and Ni^{2+} Loaded Glyoximated Diaminopropollinin Derivatives", Journal of Chromatographic Science, 31, 61.
- Gerngross, O. And Olcay, A. 1963. Synthese des Benzylidenglycinathylesters und Bemerkungen zur Stabilität der Azomethin Gruppe in Schiffsschen Basen. 96, 2550-2555.
- Gök, Y. and Bekaroğlu, Ö. 1981. The Synthesis and Complex Formation of Stereoisomers of Some New vic-Dioximes. Synth. React. Inorg. Met.-Org. Chem.,11, 621.
- Green, M. Smith, J. and Tasker, P.A., 1971. Catalytic Formation of Cyclic Schiff's Bases by Metal Ions. A Template Process. Inorg.Chimica Acta,5, 17.
- Grundmann, C. and Grunanger, P. 1971. The Nitril Oxides. P. 160, Springer-Verlag, Newyork.
- Gül, A. and Bekaroğlu, Ö. 1982. The Synthesis and Complex Formation of 5,6-dihydrocyclopent[f,g] Acenaphthylene-1,2-Dione Dioxime. Synth. React.Inorg., 1982., Met-Org.Chem.12, 7, 889.
- Gündüz, T. 1993. İnstrumental Analiz. Bilge Yayıncılık, Ankara.
- Hesse, G. and Krenbiel, G. 1955. Die Nitrosierung einiger chlorketone, ein never weg zu hydroxamsaurechloriden. Ber. 88, 130
- Hussan, M.S. Al-Hamuod, S. A., Aziz, El-Faer, M. Z. Khan, A. 1985. A Short Hydrogen Bonded Columnnar Structure: Synthesis, Spectroscopic Studies and X-ray Structure of a Palladium(II) Complex of Alfa-Furil Dioxime. J. Coord. Chem. 14, 91.
- İrez, G. and Bekaroğlu, Ö. 1983. The Synthesis and Complex Formation of Some New Substituted Amino Diaminoglyoximes. Synth.React.Inorg.Met.-Org.Chem. 13, 781.

- Karataş, I. Uçan, H. İ. and İrez, G., 1992. Synthesis of Some Substituted Bis(vic-Dioximes) and Their Polymeric Metal Complexes. *Chimica Acta Turcica*, 20, 167.
- Karataş, İ. İrez, G. Sezgin, M. Uçan, H. İ. and Bedük, A. D. 1991. The Synthesis of Some New Bis(1,2-Dioximes) and Their Some Polymeric Metal Complexes. *Synth. React. Inorg. Met.-Org. Chem.* 21(6-7), 1031.
- Karataş, İ., and İrez, G., 1993. Synthesis of Some Polyamidoximes and Their Complexes with Ni(II), C0(II) and Cu(II) Salts. *Macromolecular Reports, A* 30,241.
- Khandar, A.A.,Nejati, K. 2000. *Polyhedron* 19, 607-613.
- Koçak, M. and Bekaroğlu, Ö. 1985. The Synthesis and Complex Formation of N-(2-Methylpyridyl)amino-glyoxime. *Synth. React. Inorg. Met.-Org. Chem.* 15,4, 479.
- Köksal, H. Tümer, M. and Serin, S. 1997. Synthesis and Characterization of Binuclear Cu(II), Ni(II) and Co(II) Chelates with tetradeinate Schiff Base ligands derived From 1,5-diaminonaphthalene. *Synth. React. Inorg. Met.-Org. Chem.* 26(9), 1577-1788.
- Kwiatkowski, M. Kwiatkowski, E. and Olechnowicz, A., J. 1990. *Chem. Soc. Dalton Trans.* 2497-2502 .
- Mercimek, B. and İrez, G. 1995. *Macromolecular Reports*, A32, 1&2, 147.
- Mercimek, B. and İrez, G. 1995. *Synth. Reac.Inorg. Met-Org.Chem.* 25, 337.
- Mercimek, B. and İrez, G. 1995. *Synth. Reac.Inorg. Met-Org.Chem.* 25,139.
- Mercimek, B. İrez, G. Deveci, M. A. Bedük, A. D. Sarıkavaklı, N. and Uçan, H. İ.. 1995. *Macromolecular Reports*, A32, 8, 1199.
- Mercimek, B. Özler, M. A. and İrez, G. 1999. *Synth. Reac.Inorg. Met-Org.Chem.*, 29(3), 513-524.
- Mercimek, B. Pekacar, A. İ. and Özcan, E. 1995. *Synth. Reac. Inorg. Met.-Org. Chem.* 25, 1571-1579.
- Mokhles, M. 2001. Spectroscopic Characterization of some Tetradeinate Schiff Bases and Their Complexes with Ni(II), Cu(II) and Zn(II). *J. Of the Chinese Chem. Society*, 48, 153-158.
- Musluoğlu, E. Gürek, A. Ahsen, V. Tan, N. and Bekaroğlu, Ö. 1990. Synthesis and Complexation of 1,2-bis(2,3,5,6,8,9,11,12-octahydro-1,4,10,13,7-benzotetraoxaaza-cyloppenta-decin-7-yl)glyoxime. *J. Chem. Research (S)*, 146.

- Nakamura, A. Konishi, A. and Otsuka, S. 1979. Cobalt(II) and Some Other Transition-metal Complexes of Chiral vic-Dioximate Ligands from Derived from D-Camphor and L-b-Piene. J. Chem. Soc. Dalton, 488.
- Nesmeyanov, A. N. and Nesmeyanov, N. A. 1974. Fundamentals of Organic Chemistry. 2, Moscow 166.
- Park, S. Mathur, V. K. and Planalp, R. P. 1998. Polyhedron Vol.17, No. 2-3, 325-330
- Patai, S. 1970. The Chemistry of Carbon Nitrojen double bond group. London.
- Pedersen, S.B. and Larsen, E. 1973. Anti-amphi and cis-trans Isomerisms in Some Bis(dioxsimato) nickel(II) Complexes. Acta Chemica Scandinavica, 27, 3291.
- Pekacar, A. İ. and Özcan, E. 1994. Macromolecular Reports, 31, 651- 661.
- Pekacar, A. İ. and Özcan, E. 1995. Macromolecular Reports, 32, 1161-1169
- Peng, S. Gordon, G. C. and Goedken, L. 1978. Template Condensations: Metal-Ion Directed Synthesis of Macroyclic Complexes from 2,3-Butanedione Di-hydrazone and Aldehydes or Ketones. Am. Chem. Soc. 17, 1, 119.
- Pratt, E. F. And Kamlet, M. J. 1961. Raction rates by distillation. IX the condensation of Anilines with benzaldehydes. J. Of Org. Chem. 26, 4029-4032.
- Rao, T. R. and Kumar, P. A. 1995. Synth. Reac. Inorg. Met.-Org. Chem., 25(6), 1011-1026.
- Sarisaban, S. 1975. Diaminoglioksim ile Bazı Geçiş Metallerinin değişik gaz atmosferindeki reaksiyonları ve kompleks formasyonu. Doktora Tezi, İTÜ. İstanbul.
- Scheinbaum, M. L. 1970. 1,2-Hydroxylaminino Oximes and Pyrazine N,N-Dioximes. J. Org. Chem. 35, 2785.
- Schiff, H. 1869. Untersuchungen über salicinderivate. Annalen der Chemie 150, 193-200
- Serin, S. and Bekaroğlu, Ö. 1983. The Synthesis and Complex Formation of 1,3-Diphenyl-2-Thioxo-4,5-bis(Hydroximino)-Imidazoline. Z. Anorgem. Allg. Chem. 496, 197.
- Siddiqi, K.S. Arjmand, F. Tabassum, S. and Zaidi, S.A.A. 1995. Synth. Reac. Inorg. Met-Org. Chem. 25(6), 955-964.
- Smith, P. A. S. 1966. The Chemistry of Open-Chain, Organic Nitrogen Compounds. 2, Newyork, Benjamin 28.
- Solomons, G. T. 1992. Organic Chemistry. John Wiley and Sons New York

- Steinkopf, B. 1907. a-Anilino-a,b-dioksimino-aethan. *Der.Deutsch. Chem. Ges.* 40, 1639.
- Stevens, C. L. BLumberg, S. P. and Munk, M. 1963. Reactions of α -bromo ketones with primary amines. *J. Of Org. Chem.* 28, 331-336.
- Şimşek, S. 1998. Türk Hij. Den. Biyo. Derg. Cilt55, No 2, S: 121-125
- Tan, N. 1981. 1,2-Asenaftilendion Dioksim'den Bazı Organometalik Bileşiklerin Sentezi ve B_{12} Modeli Bileşiklerle Karşılaştırılması. Doktora Tezi, İ.T.Ü. Kimya Bölümü, İstanbul.
- Thompson, M. C. and Busch, D. H. 1964. Reactions of Coordinated Ligands. VI Metal ion Control in the Synthesis of planar Ni(II) Complexes of α -diketone-bis-Mercaptoimines. *J. Of the American Chem. Society*, 86, 213-215.
- Thompson, M. C. Busch, D.E. 1963. Reactions of Coordination Ligands VI. *J.Am.Chem.Soc.* 86, 213.
- Tschugaeff, L. 1907. Benzildioxime. *Ber. Deusch. Chem. Ges.* 40, 3498.
- Tunalı, N. K. ve Özkar, S. 1993. Anorganik Kimya, Gazi Üniversitesi yayını, Ankara.
- Tümer, M. Köksal, H. and Serin, S. 1997. Synthesis and Characterization of Mononuclear Cu(II), Co(II) and Ni(II) Chelates with new Bidentate aromatic Schiff Bases. *Synth. React. Inorg. Met.-Org. Chem.* 27(5), 775-786.
- Tüzün, C. 1999. Organik Reaksiyon Mekanizmaları. Palme yayıncılık, Ankara.
- Uçan, H. İ. 1989. Değişik Sübstitüent ihtiva eden vic-Dioksimlerin Sentezi ve Komplekslerinin incelenmesi. Doktora Tezi S.Ü.Fen-Ed.Fak.Kimya Böl. Konya.
- Uçan, H. İ. and Mirzaoglu, R. 1990. Synthesis and complex formation of six new asymmetrical vic-dioximes. *Synth. React. Inorg. Met.-Org. Chem.* 20, 437.
- Uçan, H. İ. and Mirzaoglu, R. 1990. Synthesis and complex formation of six new asymmetrical vic-dioximes. *Synth. React. Inorg. Met.-Org. Chem.* 20, 437.
- Uçan, H. İ. Karataş, İ. İrez, G. Deveci, M. A. and Mercimek, B. 1997. *Synth. Reac.Inorg. Met-Org.Chem.* 27, 455.
- Uğur, A. Mercimek, B. Özler, M. A. and Şahin, N. 2000. Transition Metal Chemistry 25(4), 421-425.
- Ungnade, H. E. Fritz, B. and Kissinger, L. W. 1963. Structure and Physical Properties of Glyoximes. *J. Org. Chem.* 28, 134.

Uyar, T. 1988. Organik Tepkimeler. Okan Yayıncılık-Ankara

Weyl, H. 1968. Methoden der Organic Chime. Band 10/IV, Stuttgart, George Thieme Verlag, 335.

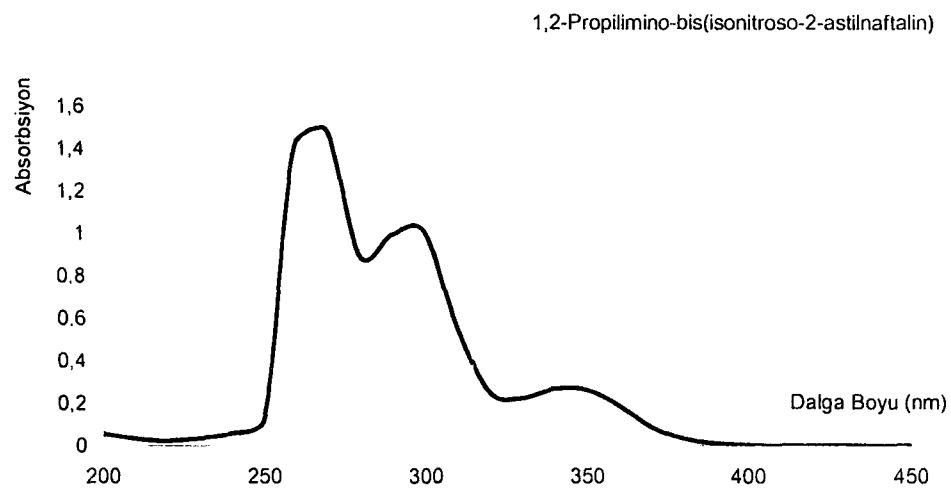
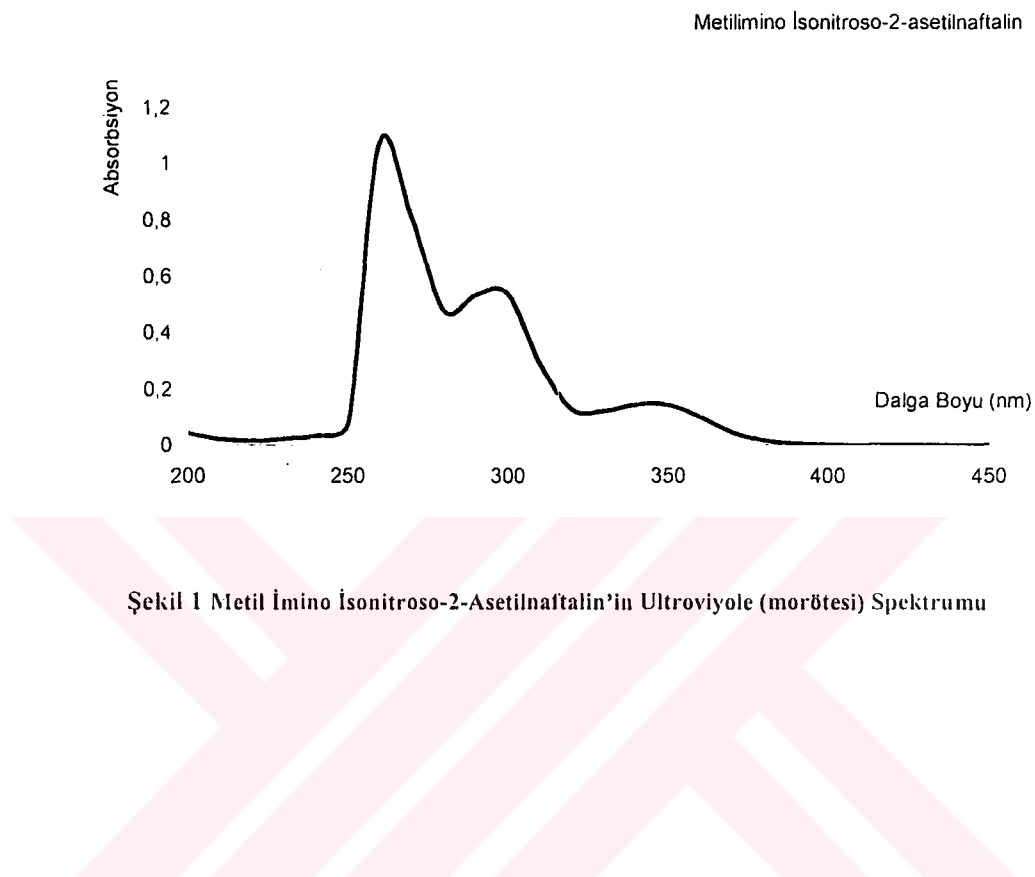
Yang, Z. Y., Yang, R. D., Li, F. S. and Yu, K. B. 2000. Polyhedron 19, 2599-2604.

Yıldırım, S. 1996. Değişik substitue amin grupları bulunduran farklı 2-naftilglioksimlerin sentezi ve metal komplekslerinin incelenmesi. Yüksek Lisans Tezi, N.Ü. Fen-Ede. Fak. Kimya Böl. Niğde.

Zishen, W., Zigi, G., Zhenhuan, Y. Synthesis, characterization and anticancer activity of L-alanine Schiff base complexes of Cu(II), Zn(II), and Co(II), 1990. Synth. React. Inorg. Met.-Org. Chem. 20, 3, 335-344.

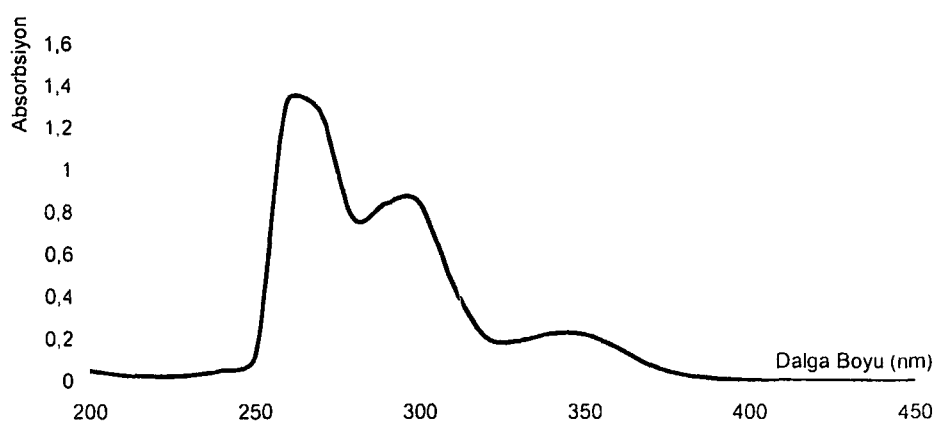
EKLER

EKİ. Ligand ve Komplekslerin UV-visible Spektrumları

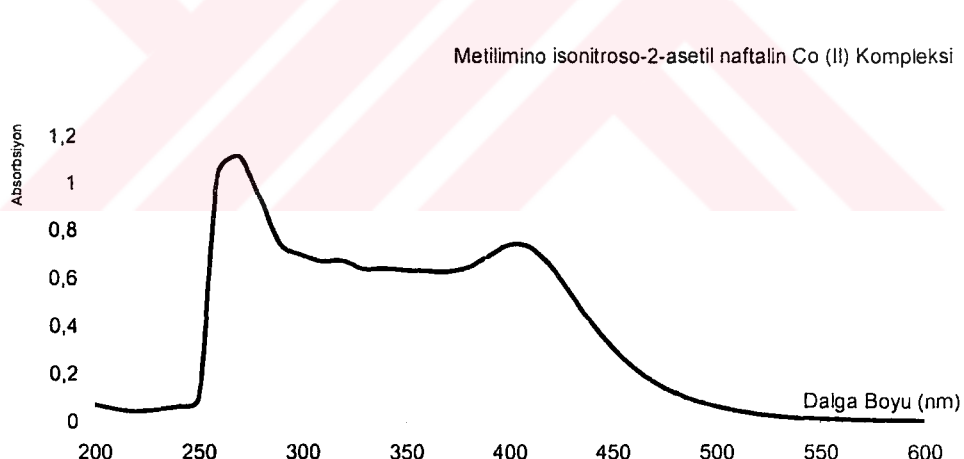


Şekil 2 1,2-Propil İmino- Bis(isonitroso-2-Asetilnaftalin)'in Ultraviyole (morötesi) Spektrumu

1,2-Etilimino-bis(isonitroso-2-asetilnaftalin)

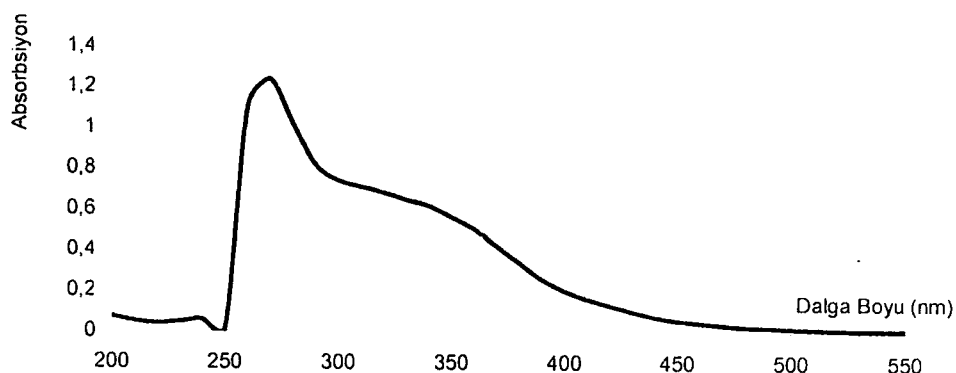


Şekil 3 1,2-Etil İmino- Bis(Isonitroso-2-Asetilnaftalin'in Ultraviyole (morötesi) Spektrumu

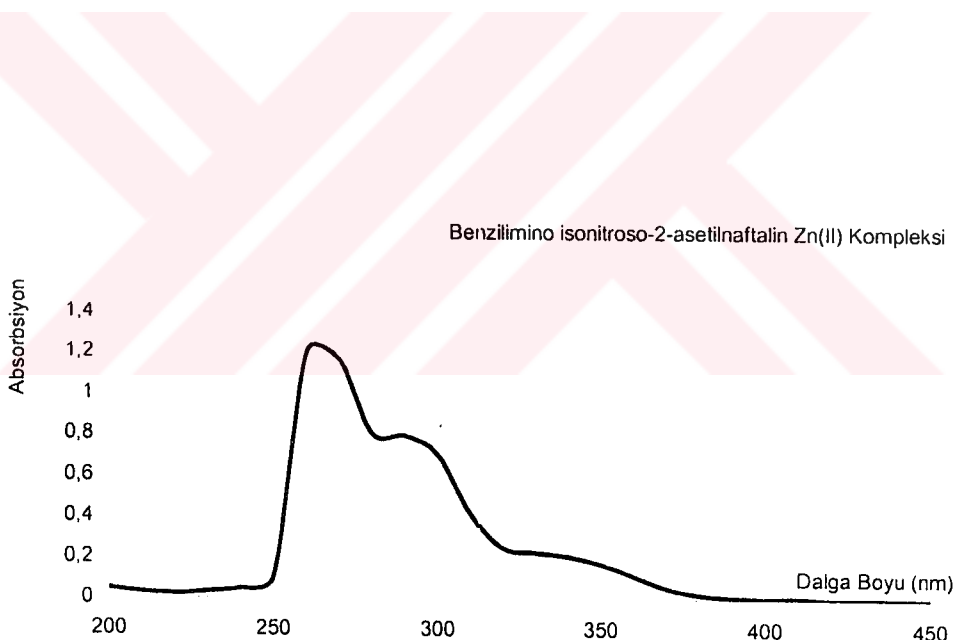


Şekil 4 Metil İmino İsonitroso-2-Asetilnaftalin Co(II) Kompleksi'nin Ultraviyole (morötesi) Spektrumu

1,2-propilimino-bis(isonitroso-2-asetil naftalin) Cu(II) kompleksi

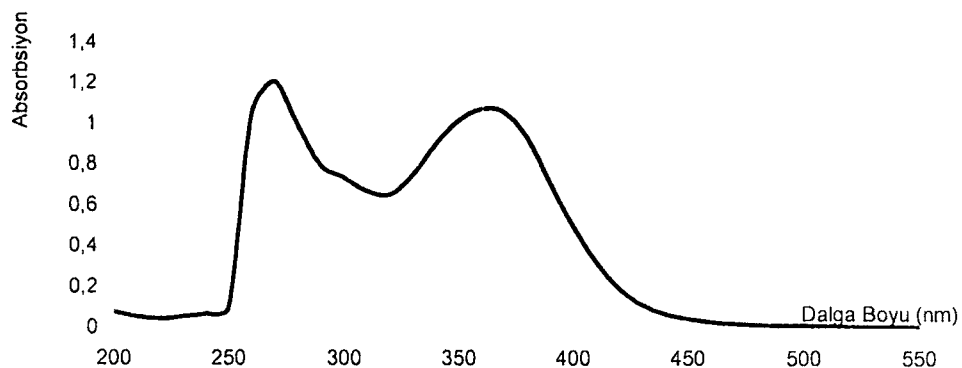


Şekil 5 1,2-Propil İmino- Bis(İsonitroso-2-Asetilnaftalin) Cu(II) Kompleksi'nin Ultraviyole (morötesi) Spektrumu



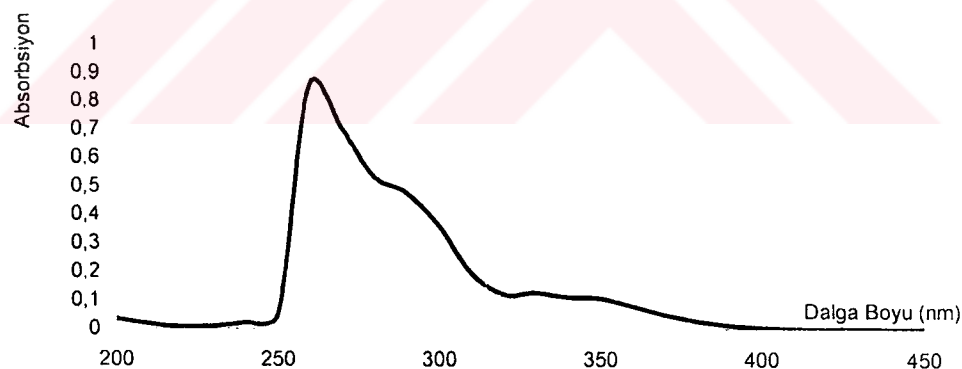
Şekil 6 Benzil İmino İsonitroso-2-Asetilnaftalin Zn(II) Kompleksi'nin Ultraviyole (morötesi) Spektrumu

1,2-Etilimino-bis(isonitroso-2-asetilnaftalin) Ni(II) Kompleksi



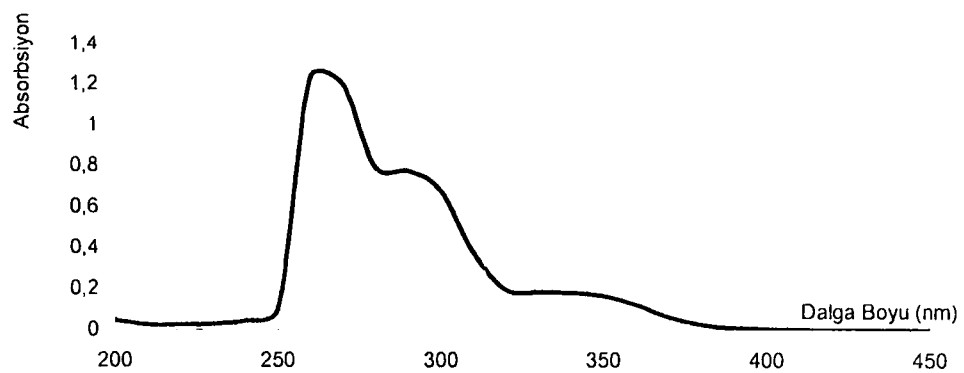
Şekil 7 1,2-Etil İmino- Bis(İsonitroso-2-Asetilnaftalin) Ni(II) Kompleksi'nin Ultraviyole (morötesi) Spektrumu

1,2 propilimino-bis(isonitroso-2-asetilnaftalin Cd(II) Kompleksi



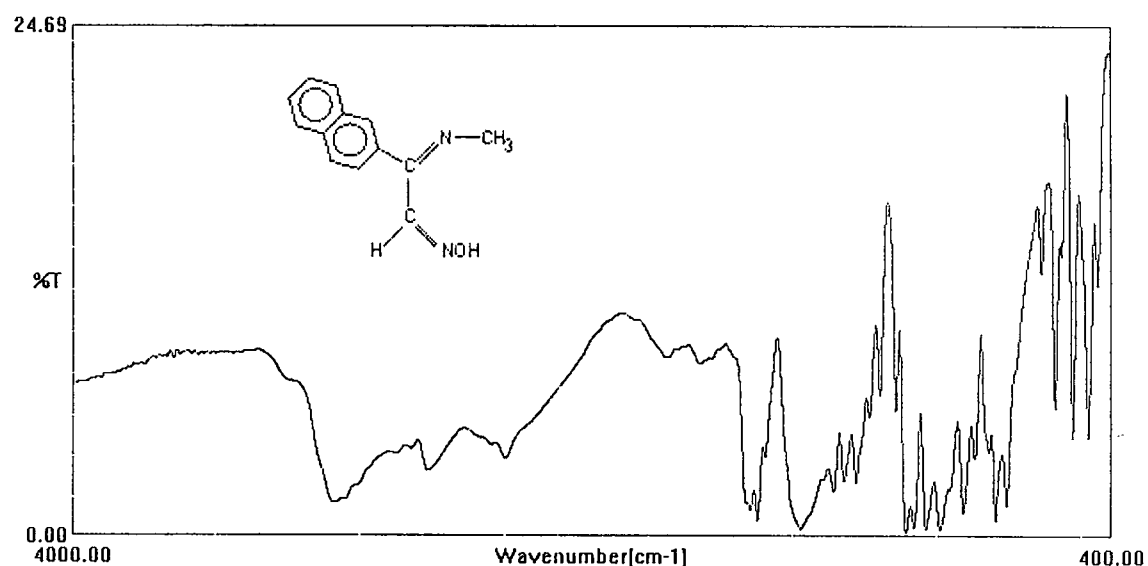
Şekil 8 1,2-Propil İmino- Bis(İsonitroso-2-Asetilnaftalin) Cd(II) Kompleksi'nin Ultraviyole (morötesi) Spektrumu

1,2-Etilimino-bis(isonitroso-2-asetilnaftalin) Hg(II) Kompleksi

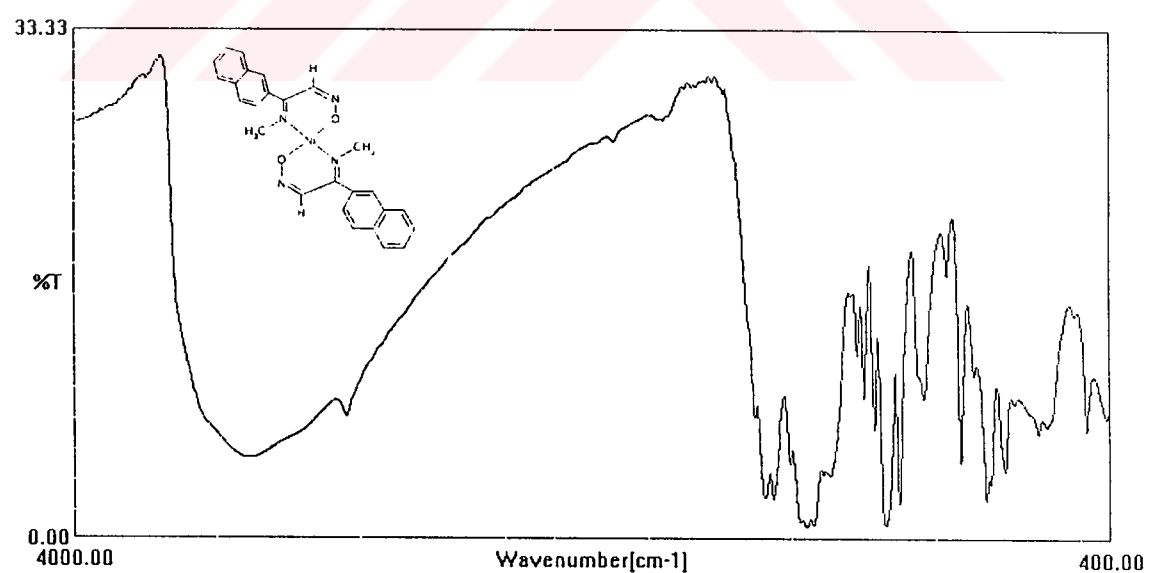


Şekil 9 1,2-Etil İmino- Bis(isonitroso-2-Asetilnaftalin Hg (II) Kompleksi'nin Ultraviyole (morötesi) Spektrumu

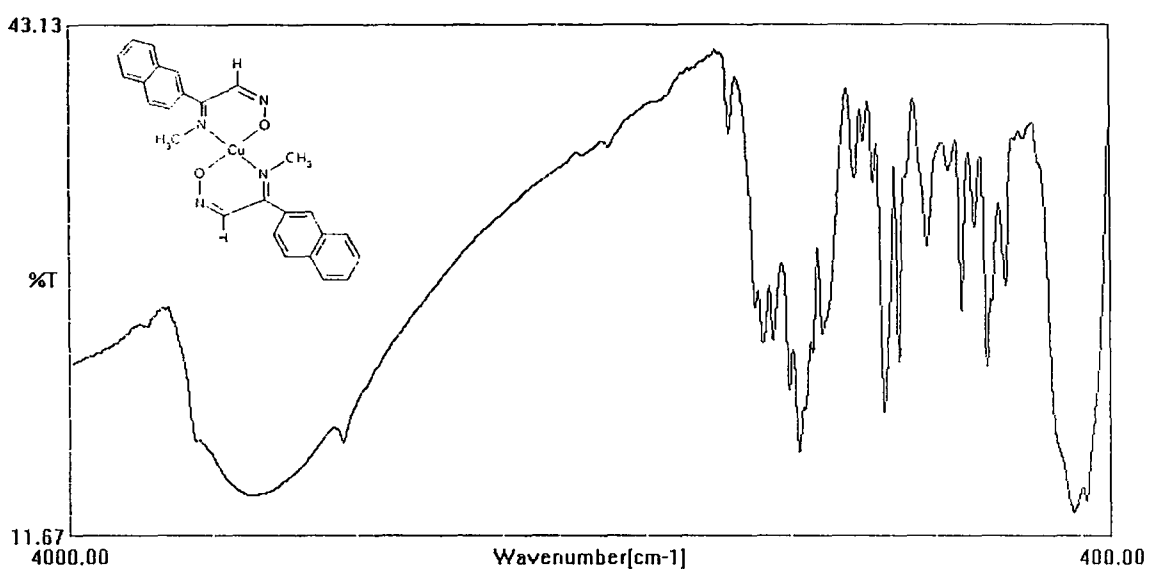
EK.II.Ligand ve Komplekslerin IR Spektrumları



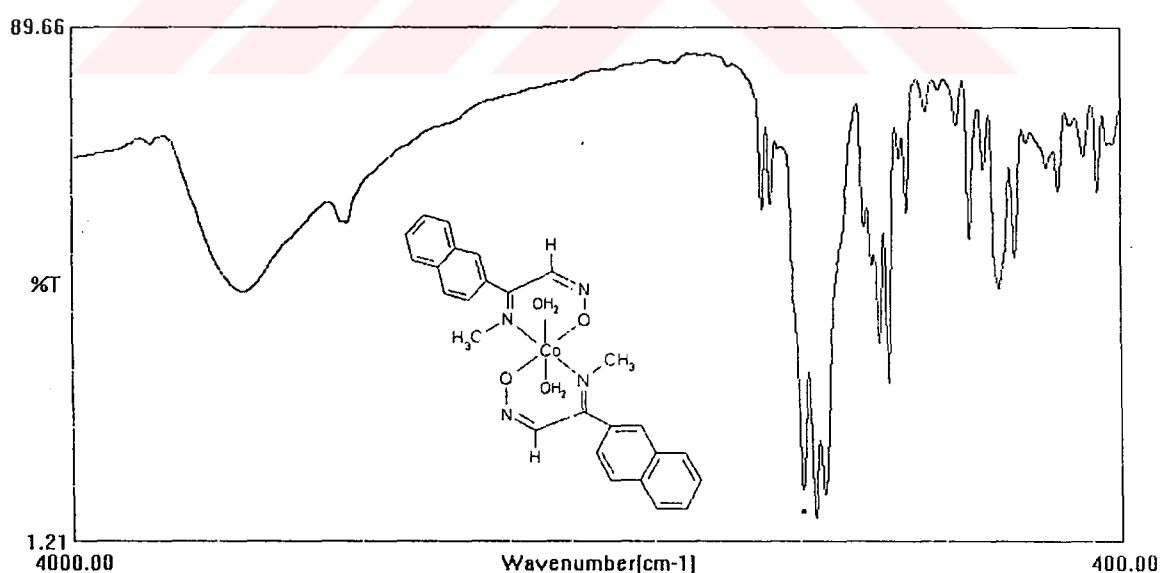
Şekil 1 Metylimino-(İsonitroso-2-asetilnaftalin) FT-IR Spektrumu



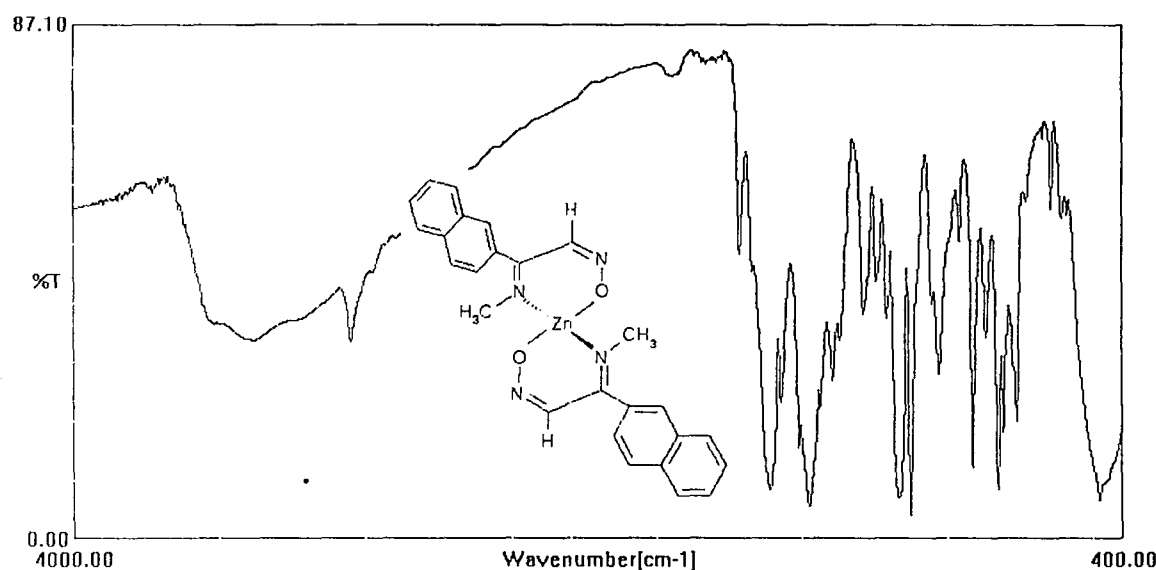
Şekil 2 Metylimino-(İsonitroso-2-asetilnaftalin)'in Ni(II) kompleksinin FT-IR Spektrumu



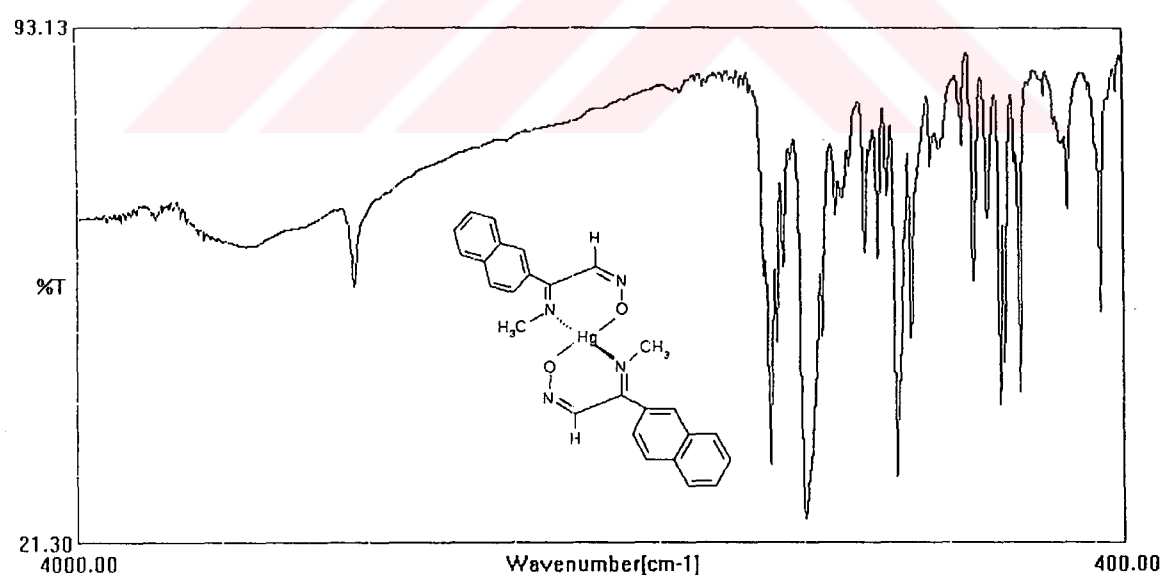
Şekil 3 Metilimino-(İsonitroso-2-asetilnaftalin)'in Cu(II) kompleksinin FT-IR Spektrumu



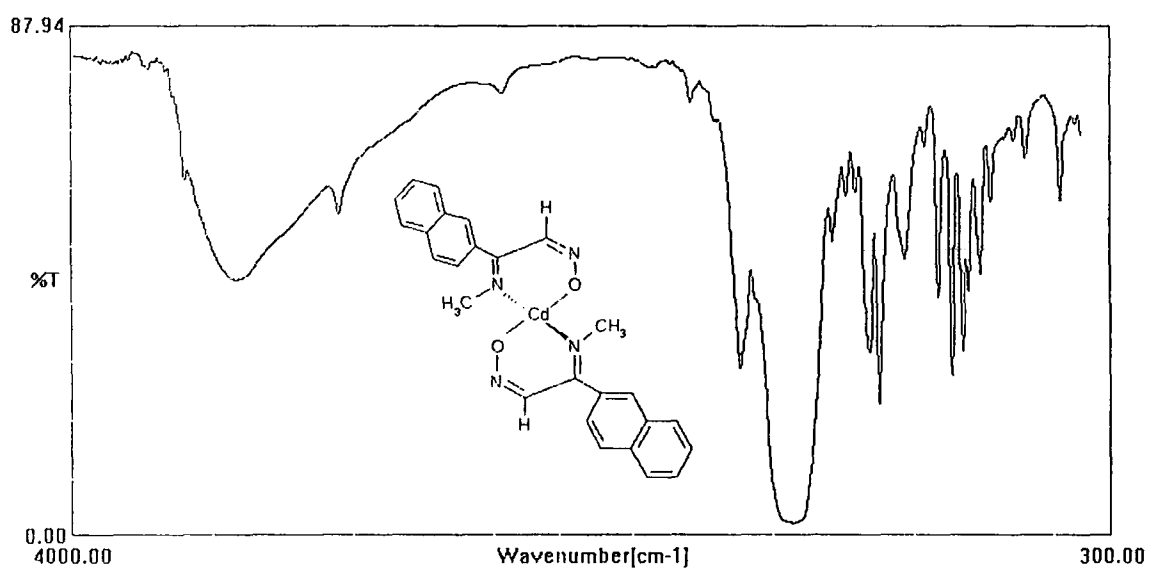
Şekil 4 Metilimino-(İsonitroso-2-asetilnaftalin)'in Co(II) kompleksinin FT-IR Spektrumu



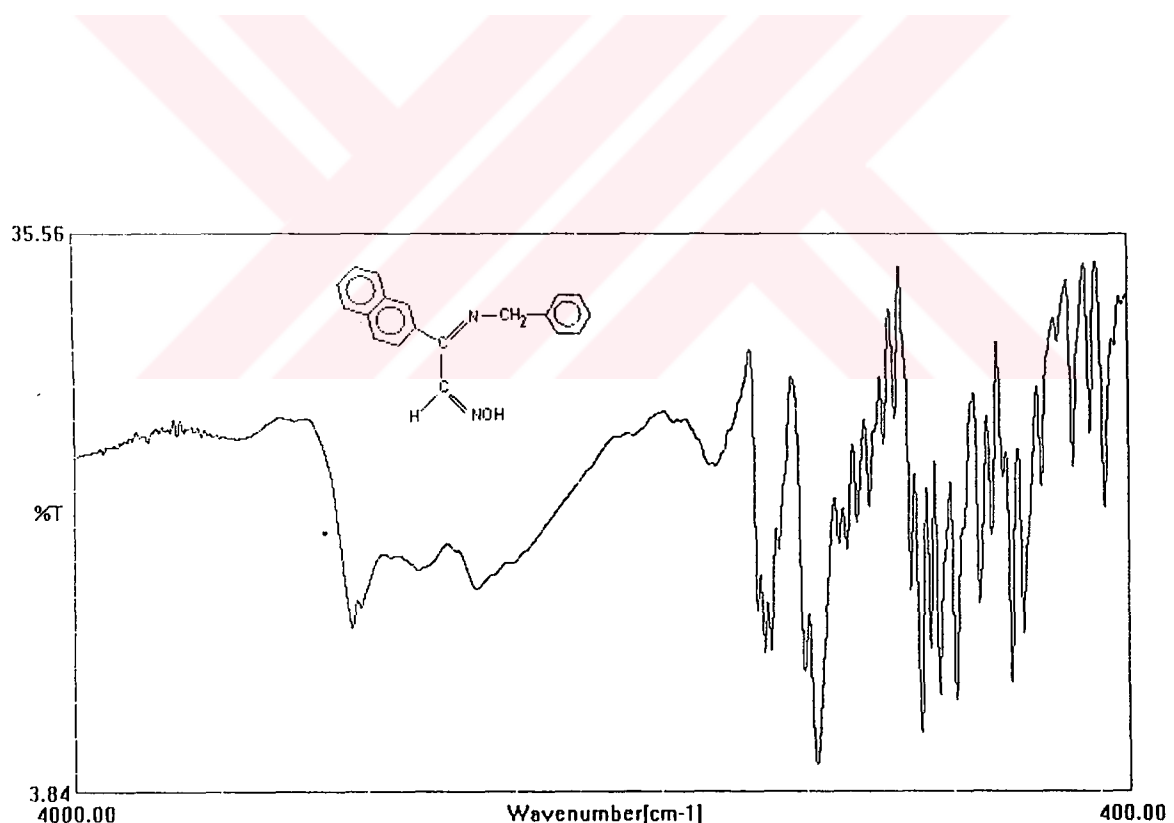
Şekil 5 Metylimino-(İsonitroso-2-asetilnaftalin)'in Zn(II) kompleksinin FT-IR Spektrumu



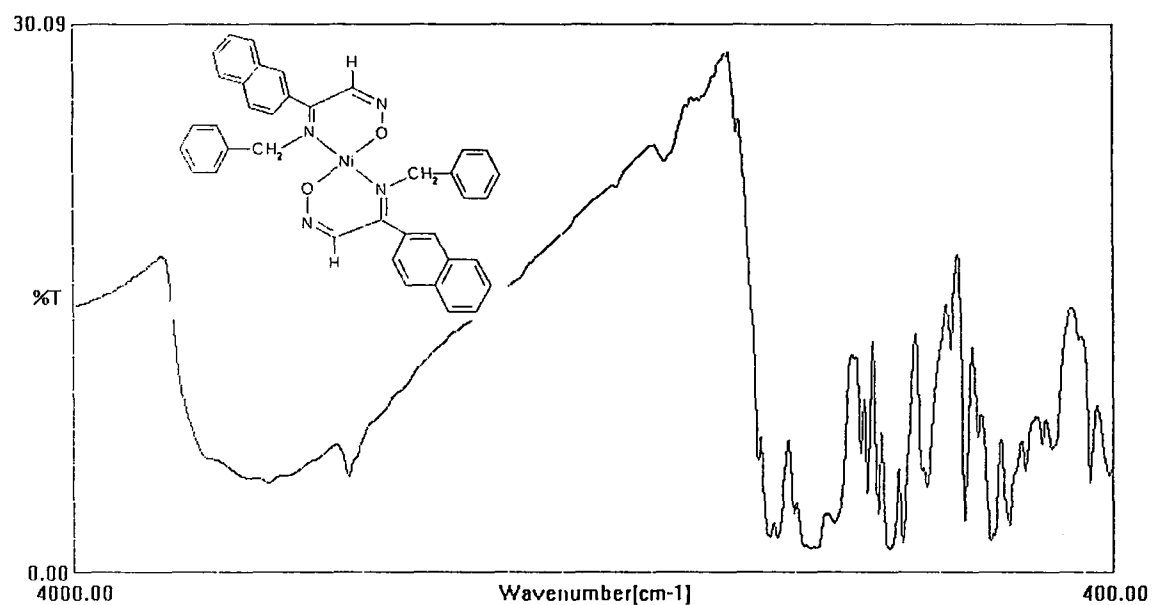
Şekil 6 Metylimino-(İsonitroso-2-asetilnaftalin)'in Hg(II) kompleksinin FT-IR Spektrumu



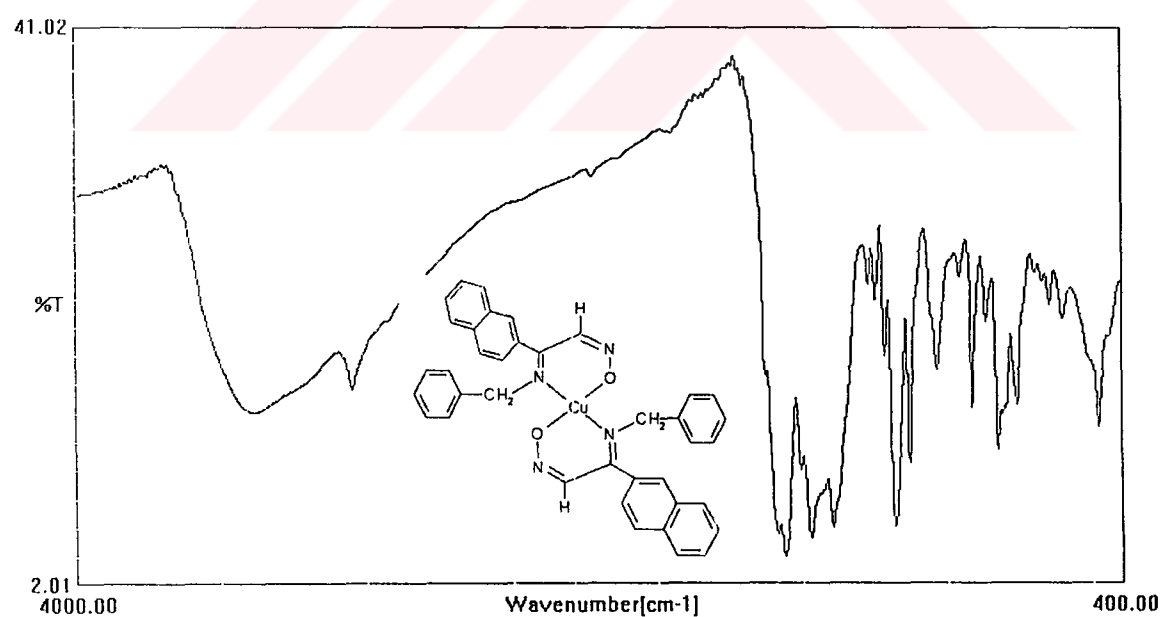
Şekil 7 Metilimino-(İsonitroso-2-asetilnaftalin)'in Cd(II) kompleksinin FT-IR Spektrumu



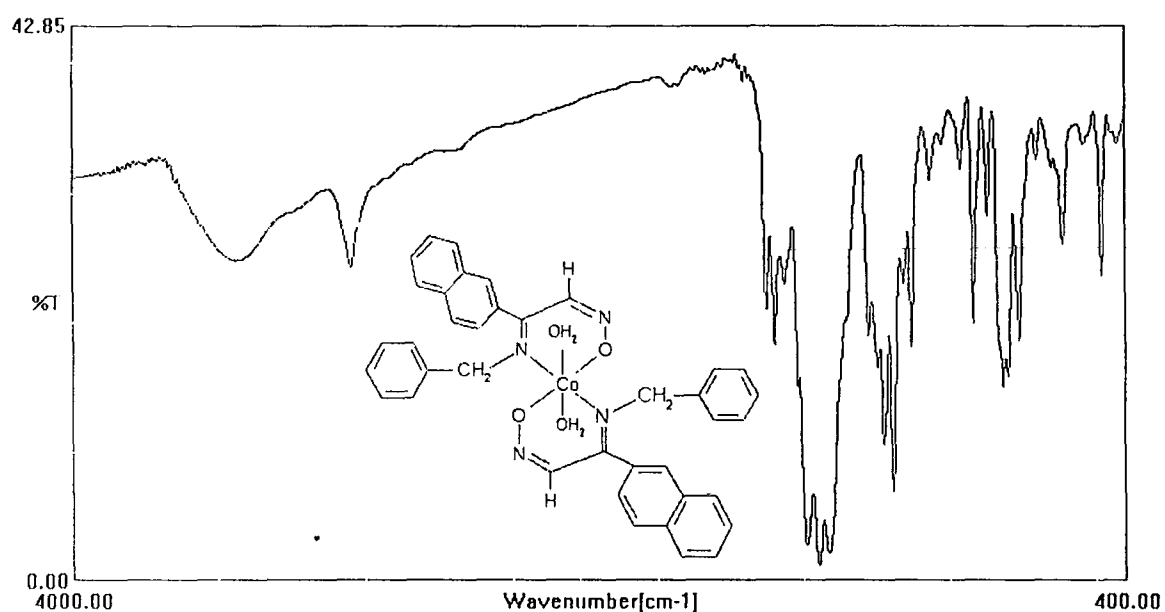
Şekil 8 Benzil İmino-(İsonitroso 2- Asetil Naftalin) FT-IR Spektrumu



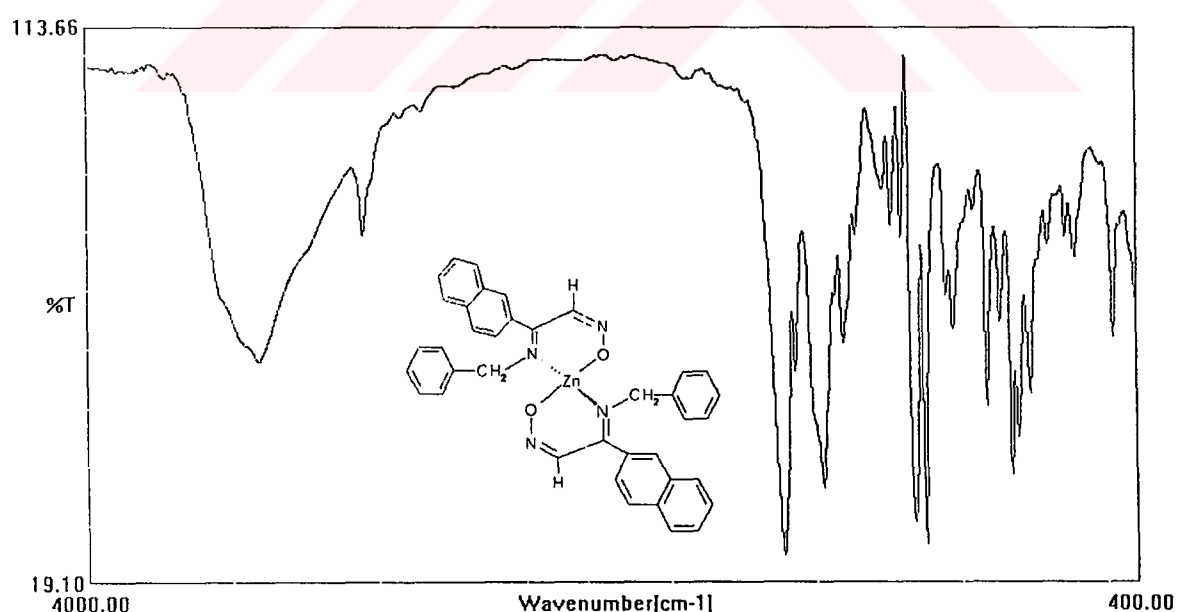
Şekil 9 Benzilimino-(Isonitroso 2- Asetilnaftalin)'in Ni(II) kompleksinin FT-IR Spektrumu



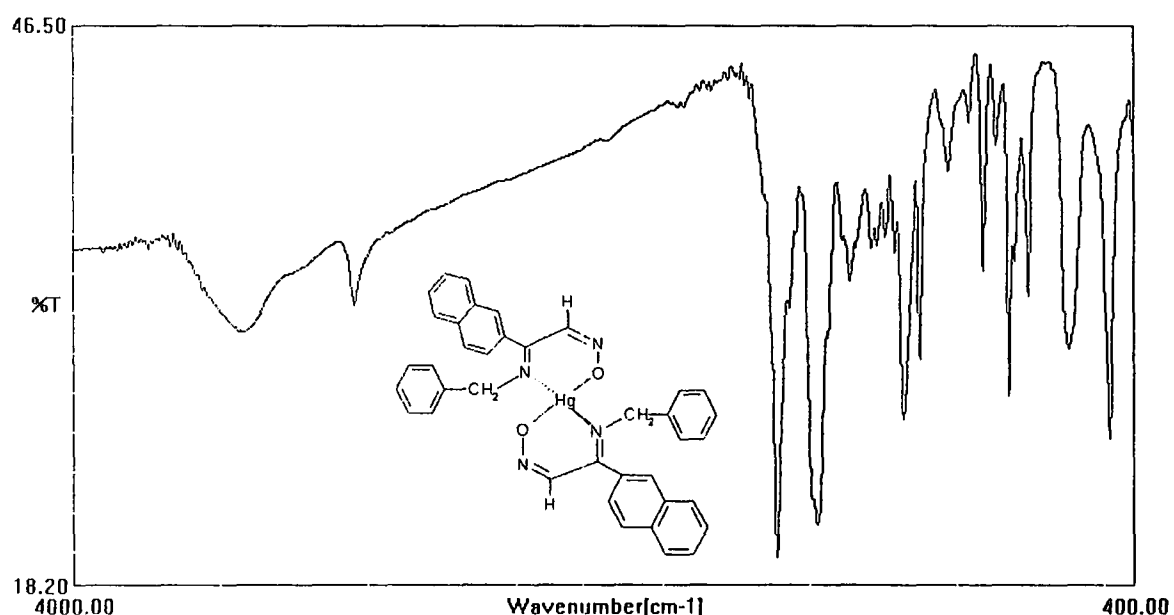
Şekil 10 Benzilimino-(Isonitroso 2- Asetilnaftalin)'in Cu(II) kompleksinin FT-IR Spektrumu



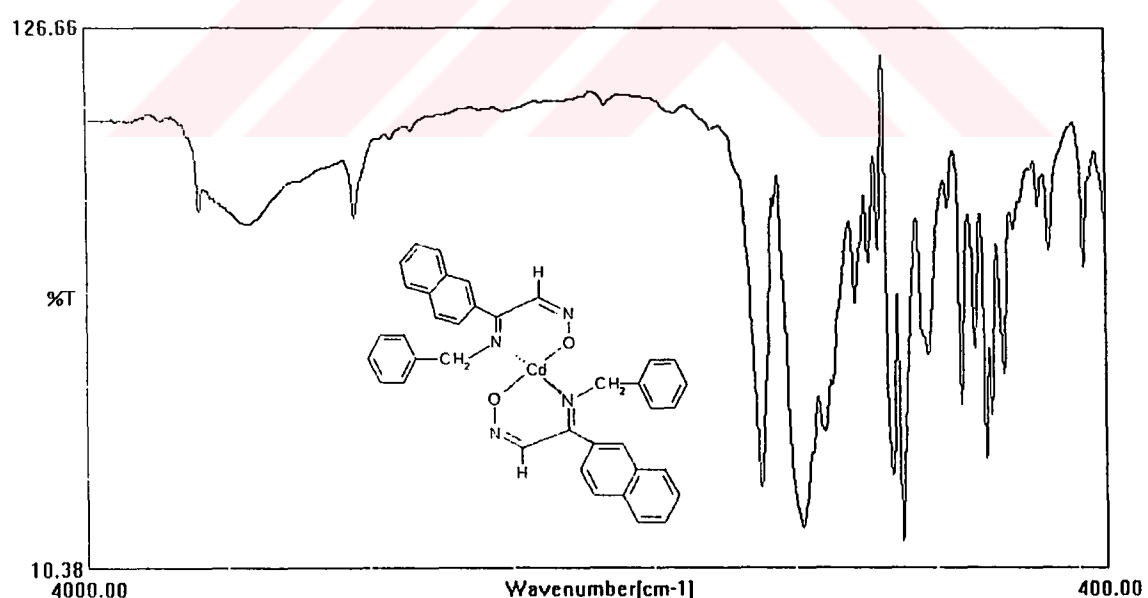
Şekil 11 Benzylimino-(İsonitroso 2- Asetilnaftalin)'in Co(II) kompleksinin FT-IR Spektrumu



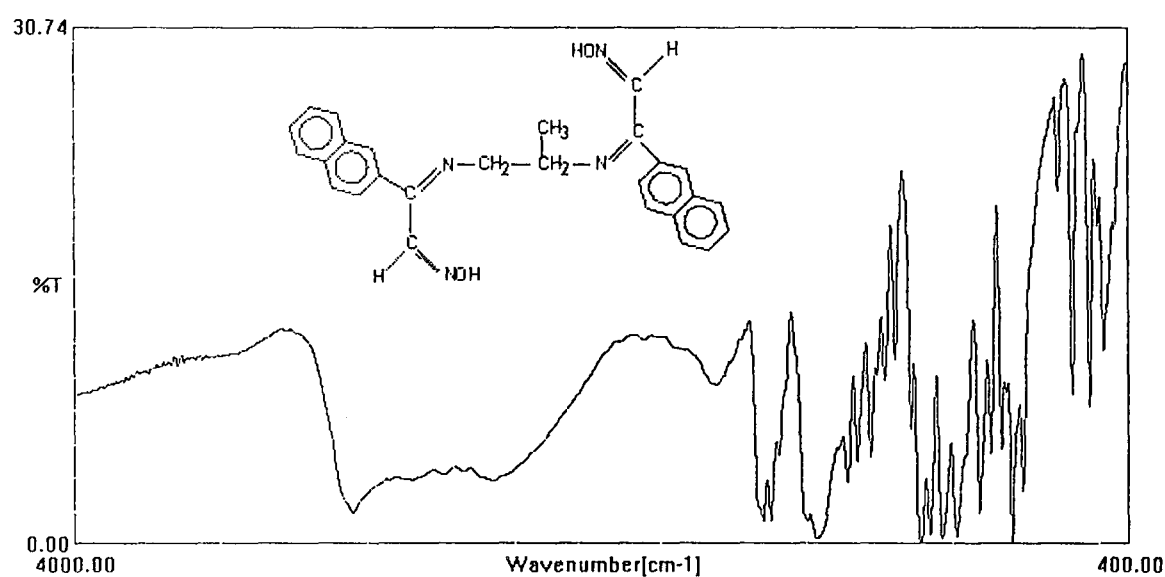
Şekil 12 Benzylimino-(İsonitroso 2- Asetilnaftalin)'in Zn(II) kompleksinin FT-IR Spektrumu



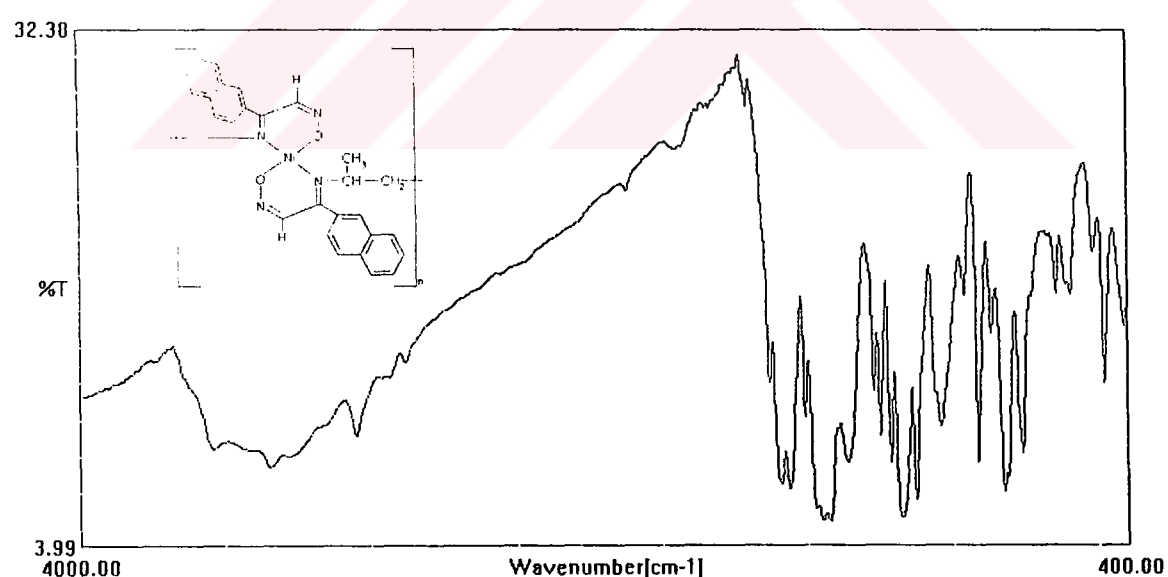
Şekil 13 Benzilimino-(İsonitroso 2- Asetilnaftalin)'in Hg(II) kompleksinin FT-IR Spektrumu



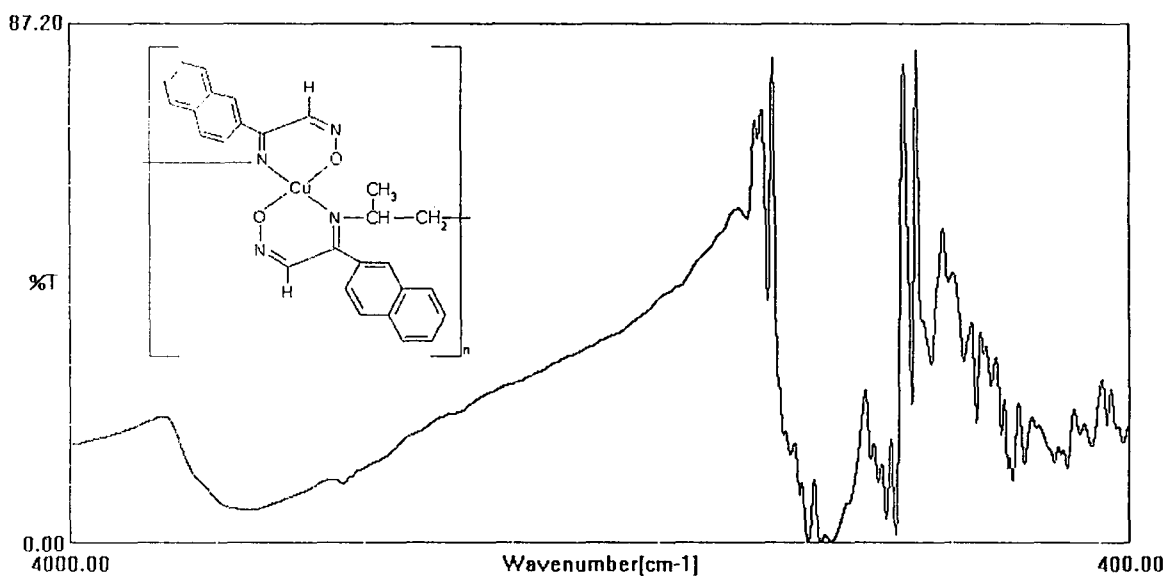
Şekil 14 Benzilimino-(İsonitroso 2- Asetilnaftalin)'in Cd(II) kompleksinin FT-IR Spektrumu



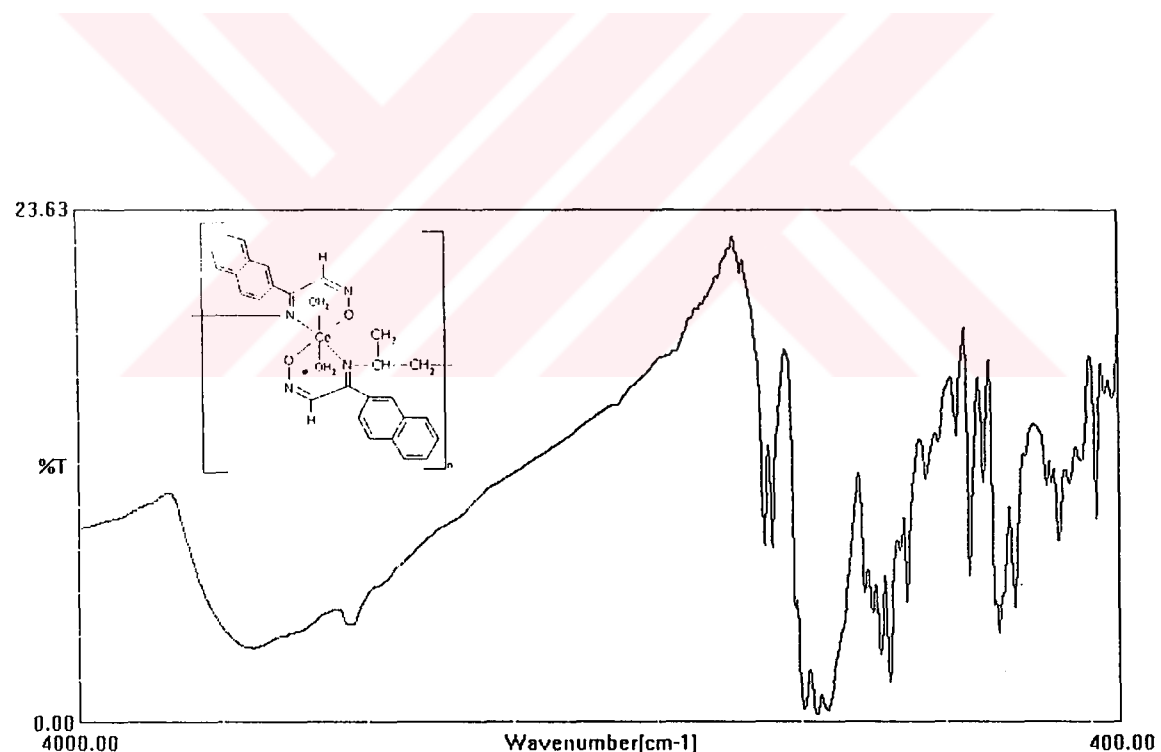
Şekil 15 1,2 Propilimino-(isonitroso-2-asetinlaftalin) FT-IR Spektrumu



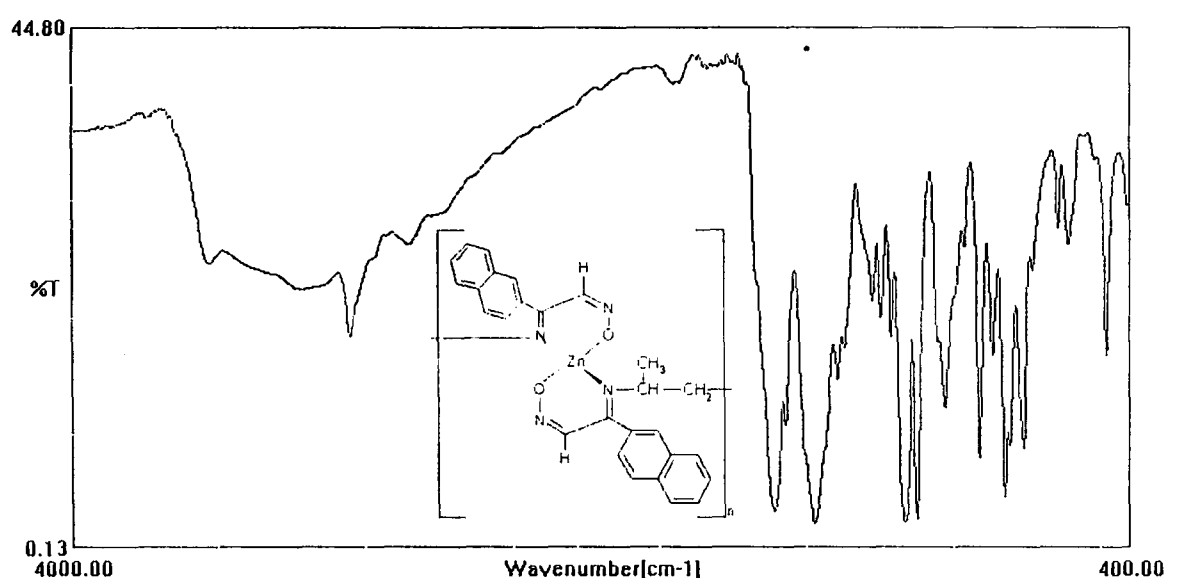
Şekil 16 1,2 Propilimino-(isonitroso-2-asetinlaftalin)'in Ni(II) kompleksinin FT-IR Spektrumu



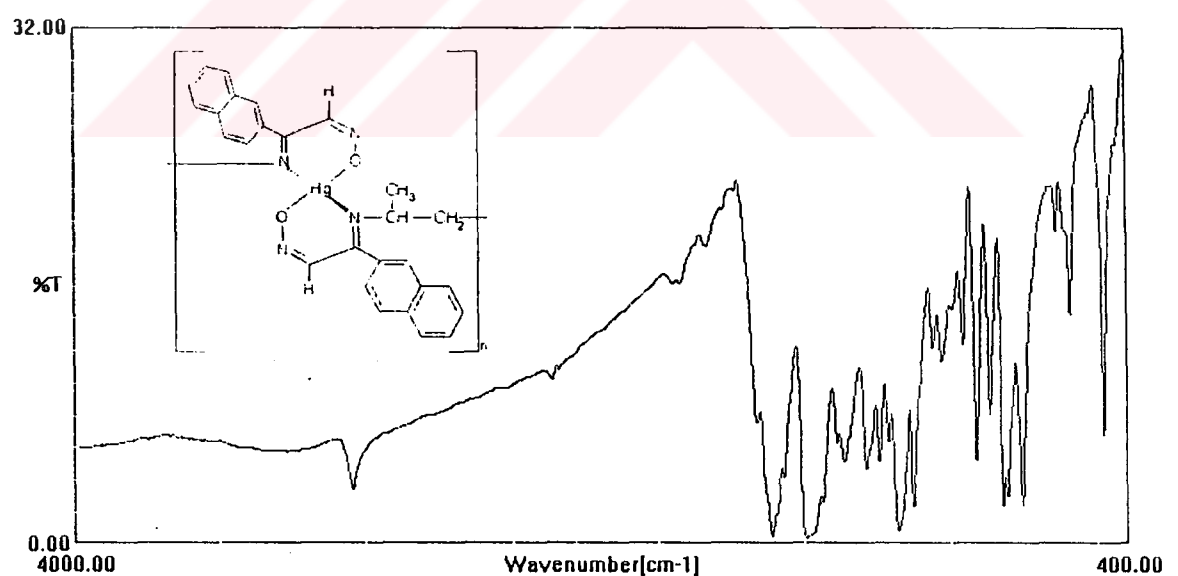
Şekil 17 1,2 Propilikimo-(isonitroso-2-asetilnaftalin)'in Cu(II) kompleksinin FT-IR Spektrumu



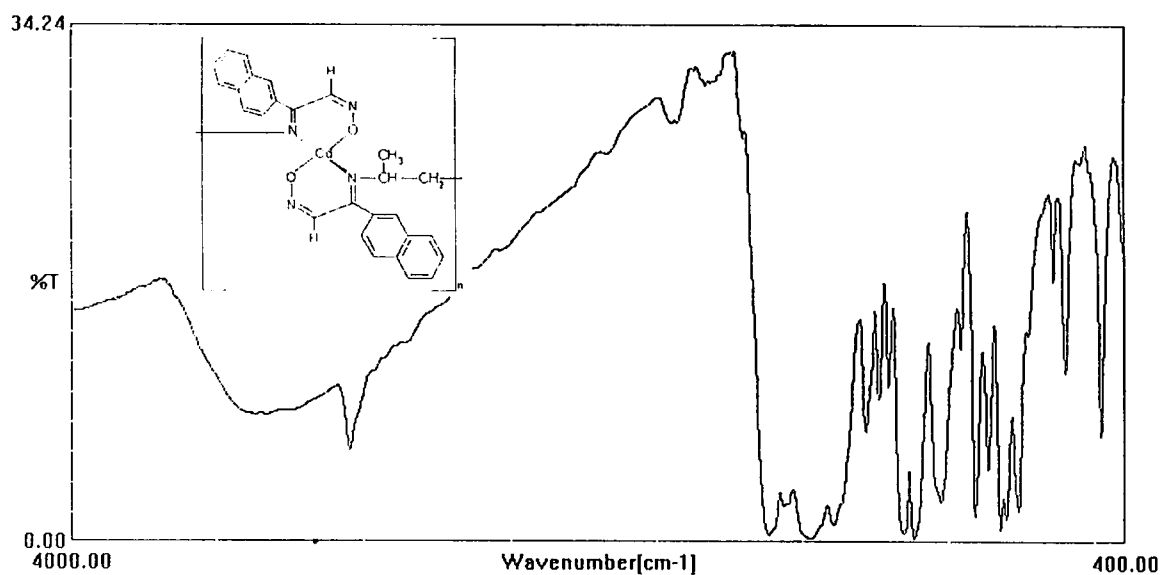
Şekil 18 1,2 Propilikimo-(isonitroso-2-asetilnaftalin)'in Co(II) kompleksinin FT-IR Spektrumu



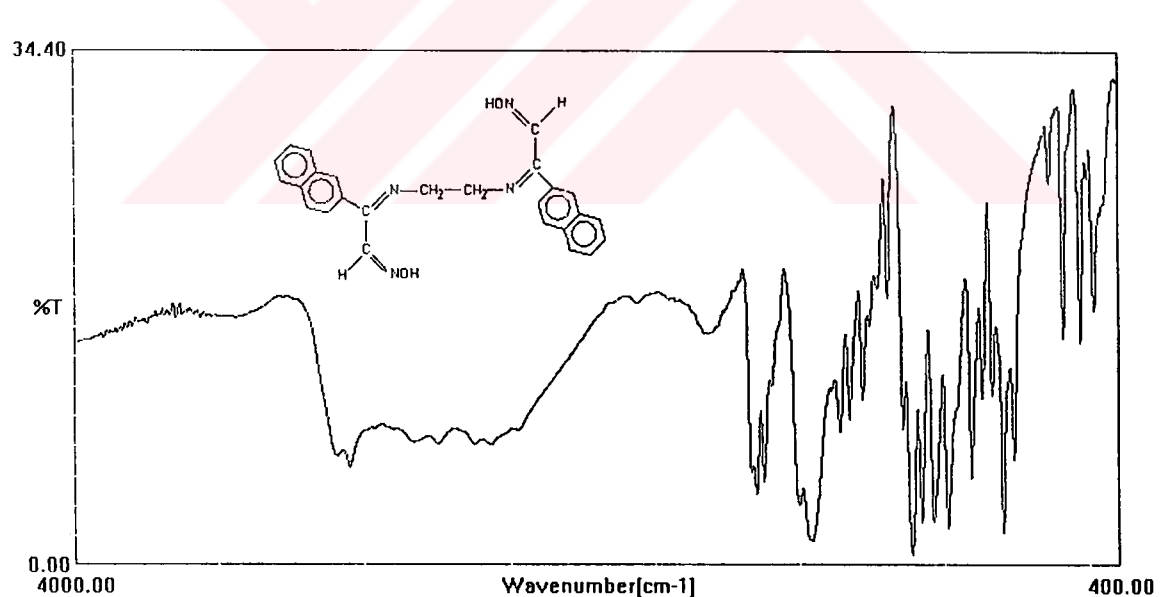
Şekil 19 1,2 Propylimino-(isonitroso-2-asetilnaftalin)'in Zn(II) kompleksinin FT-IR Spektrumu



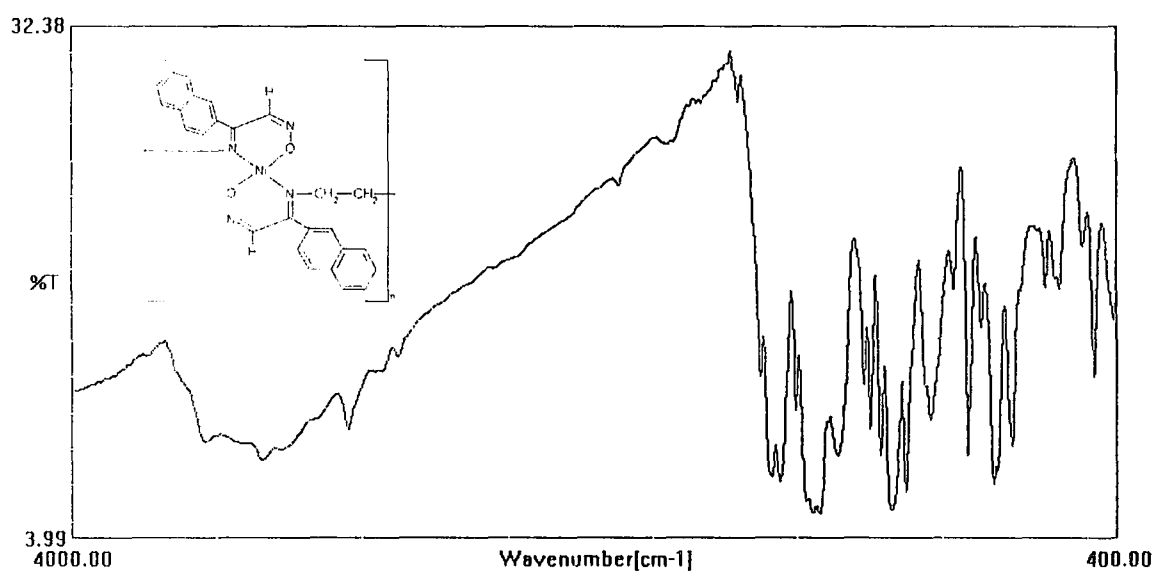
Şekil 20 1,2 Propylimino-(isonitroso-2-asetilnaftalin)'in Hg(II) kompleksinin FT-IR Spektrumu



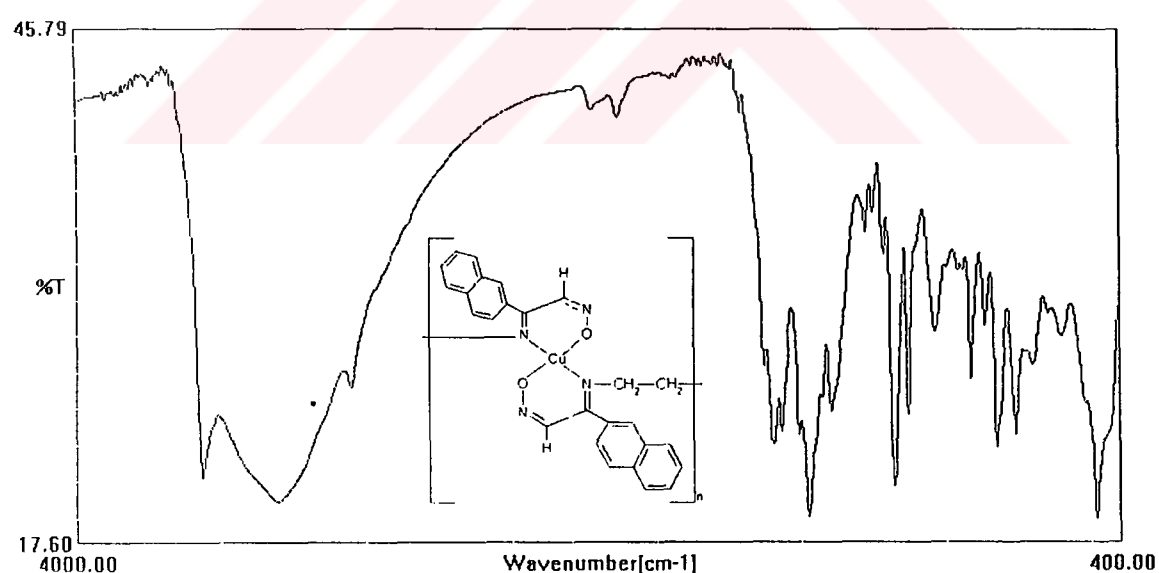
Şekil 21 1,2 Propylimino-(isonitroso-2-asetilnaftalin)'in Cd(II) kompleksinin FT-IR Spektrumu



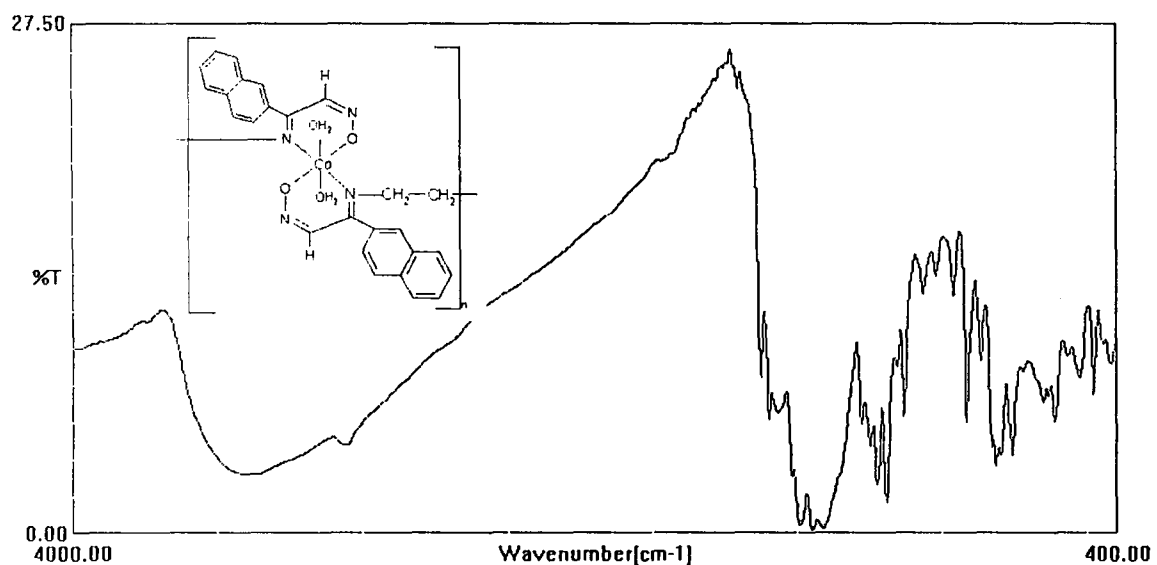
Şekil 22 1,2 Etilimino-(isonitroso-2-asetilnaftalin) FT-IR Spektrumu



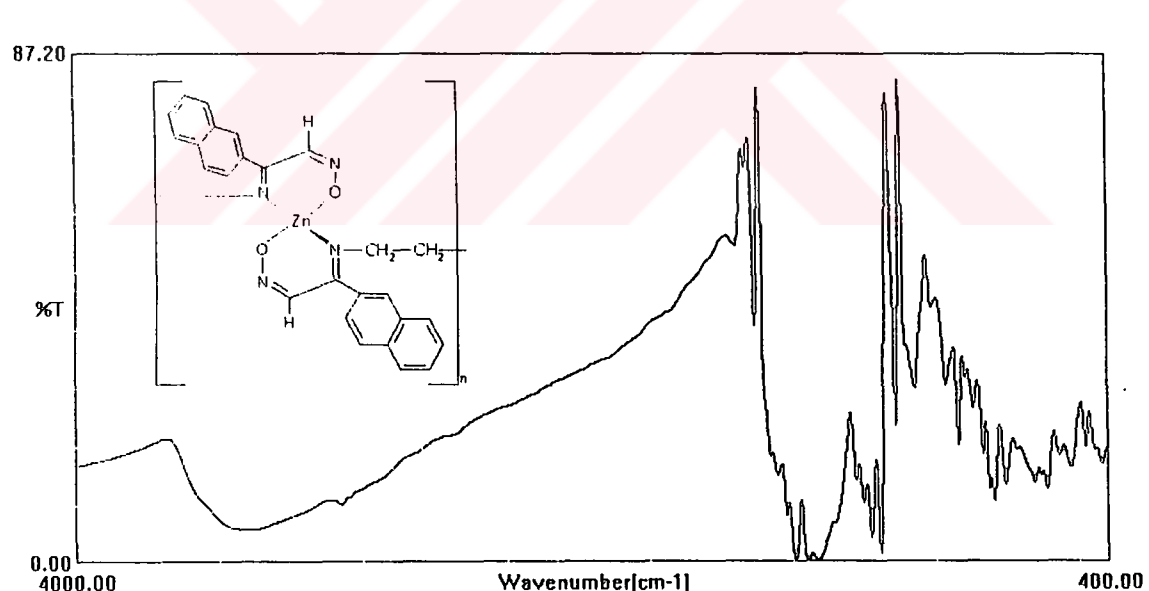
Şekil 23 1,2 Etilimino-(isonitroso-2-asetilnaftalin)'in Ni(II) kompleksinin FT-IR Spektrumu



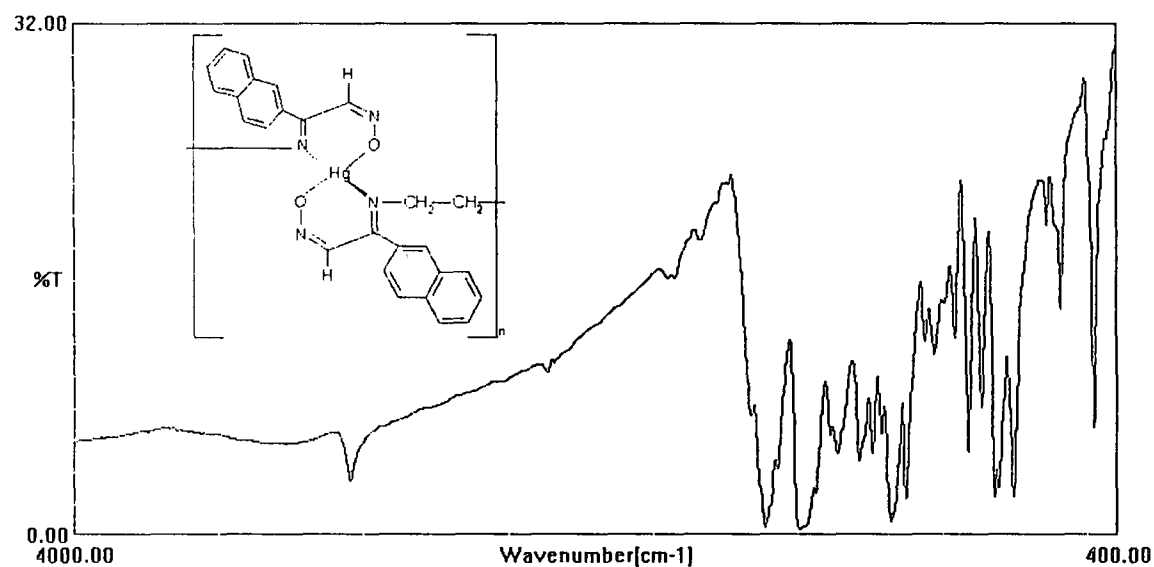
Şekil 24 1,2 Etilimino-(isonitroso-2-asetilnaftalin)'in Cu(II) kompleksinin FT-IR Spektrumu



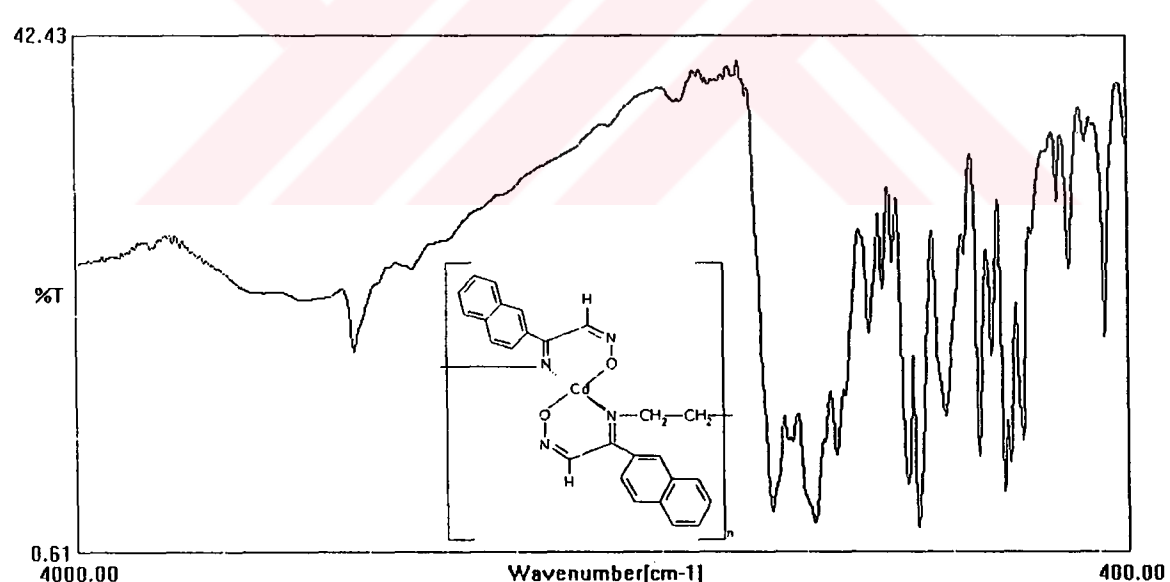
Şekil 25 1,2 Etilimino-(isonitroso-2-asetilnaftalin)'in **Co(II)** kompleksinin FT-IR Spektrumu



Şekil 26 1,2 Etilimino-(isonitroso-2-asetilnaftalin)'in **Zn(II)** kompleksinin FT-IR Spektrumu



Şekil 27 1,2 Etilimino-(isonitroso-2-asetilnaftalin)'in Hg(II) kompleksinin FT-IR Spektrumu

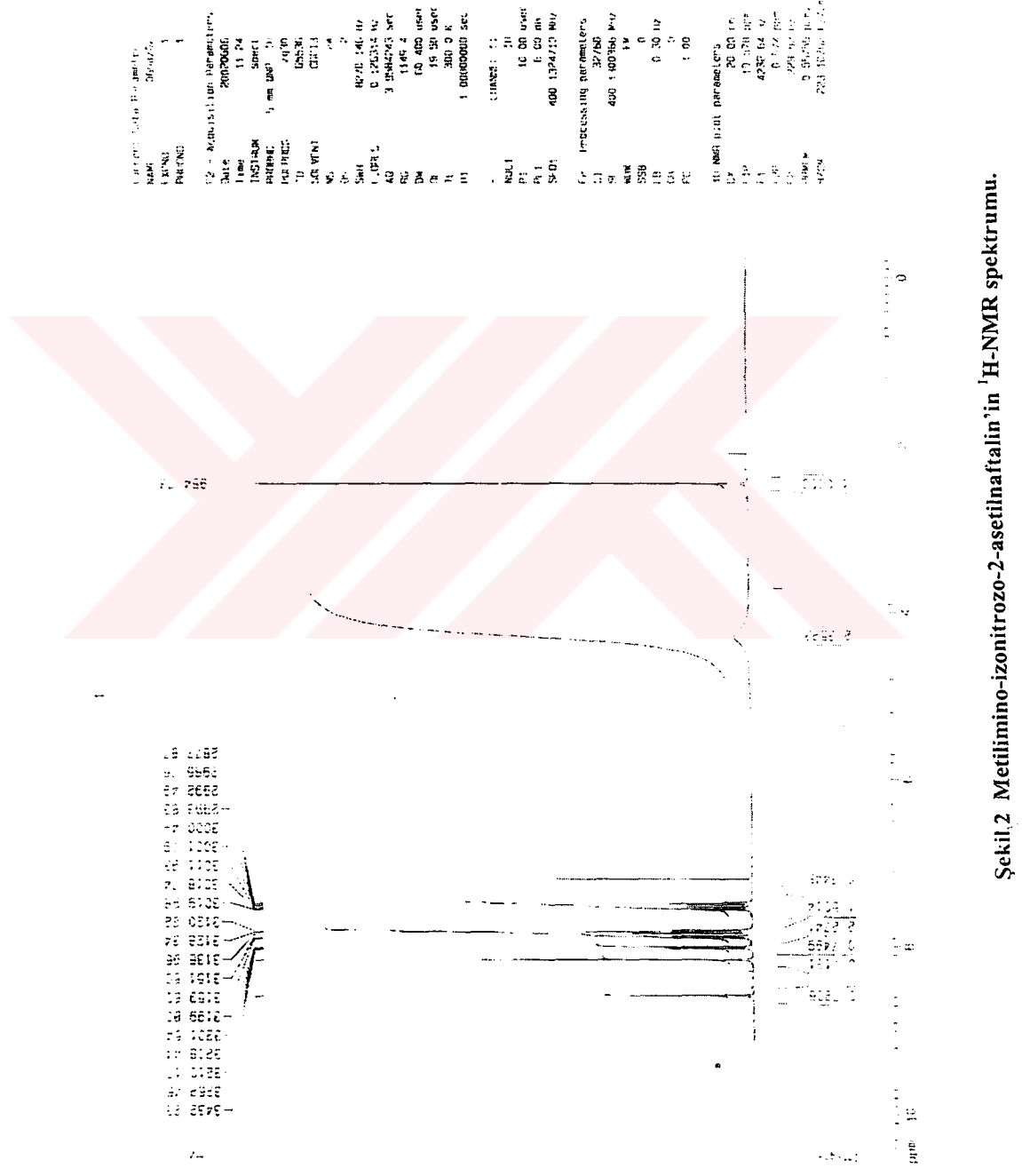


Şekil 28 1,2 Etilimino-(isonitroso-2-asetilnaftalin)'in Cd(II) kompleksinin FT-IR Spektrumu

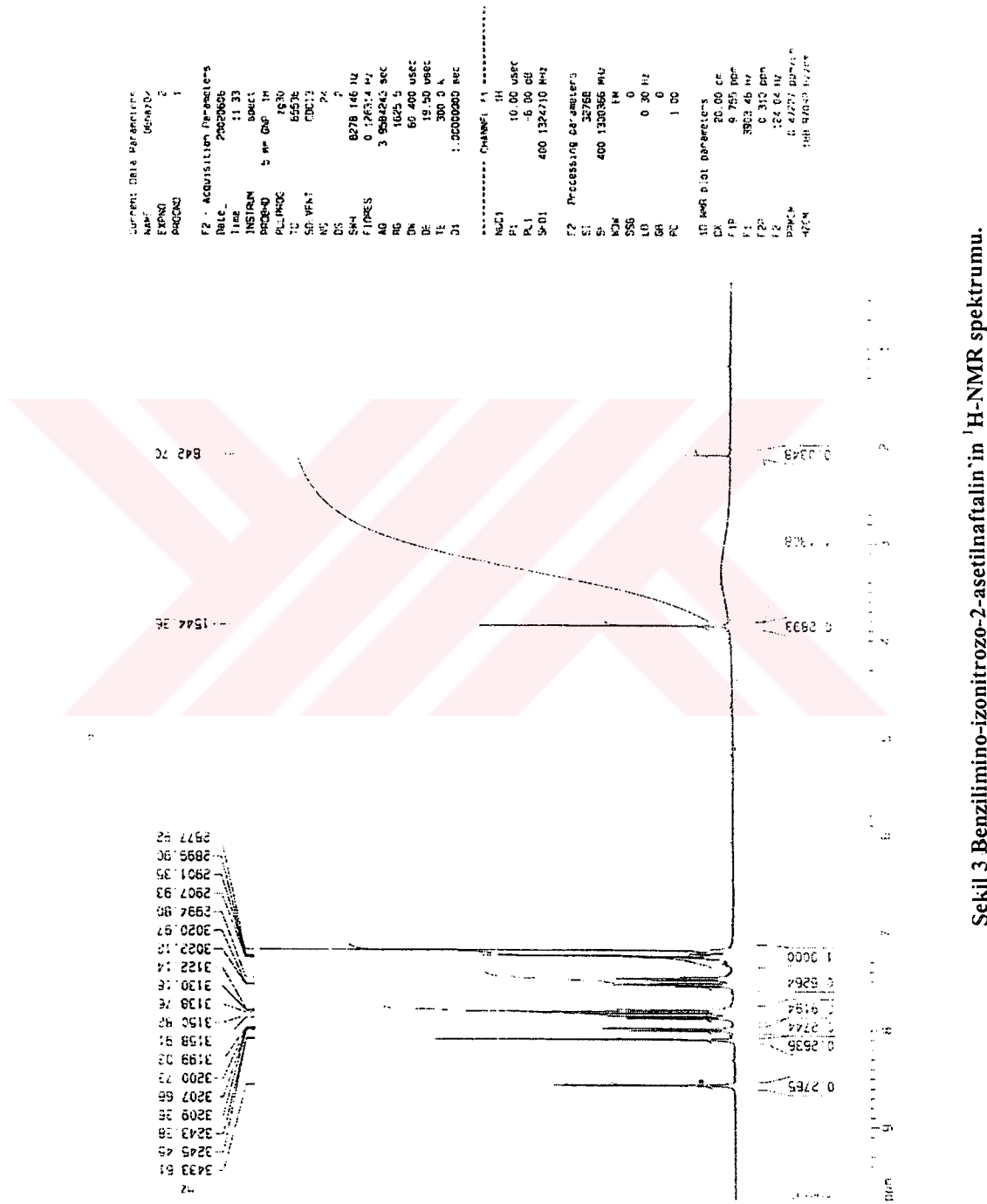
EK.III.Ligand ve Komplekslerin $^1\text{H-NMR}$ Spektrumları



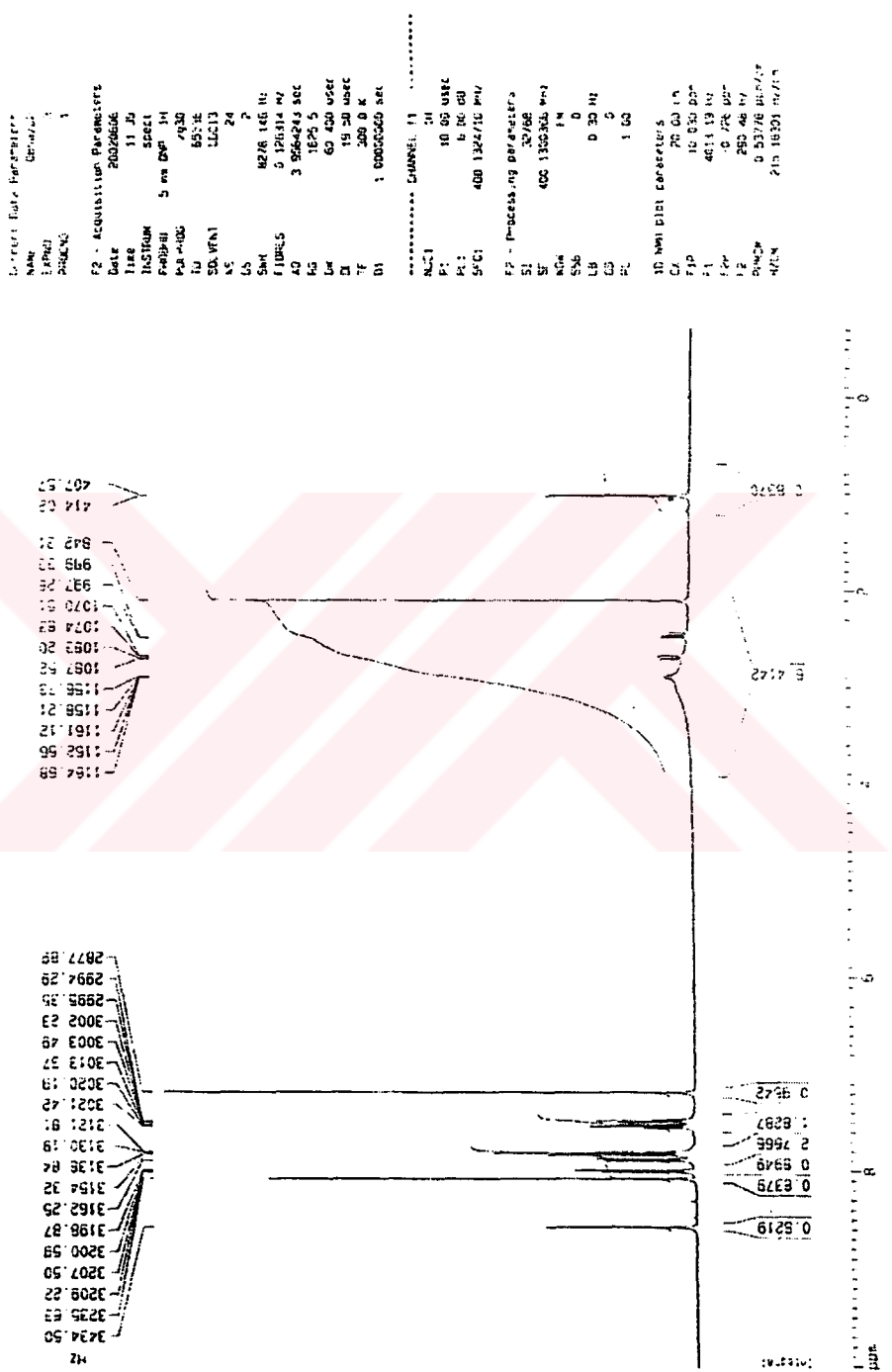
Sekil 1 İzonitrozo-2-asetilnafthalinin $^1\text{H-NMR}$ spektrumu.

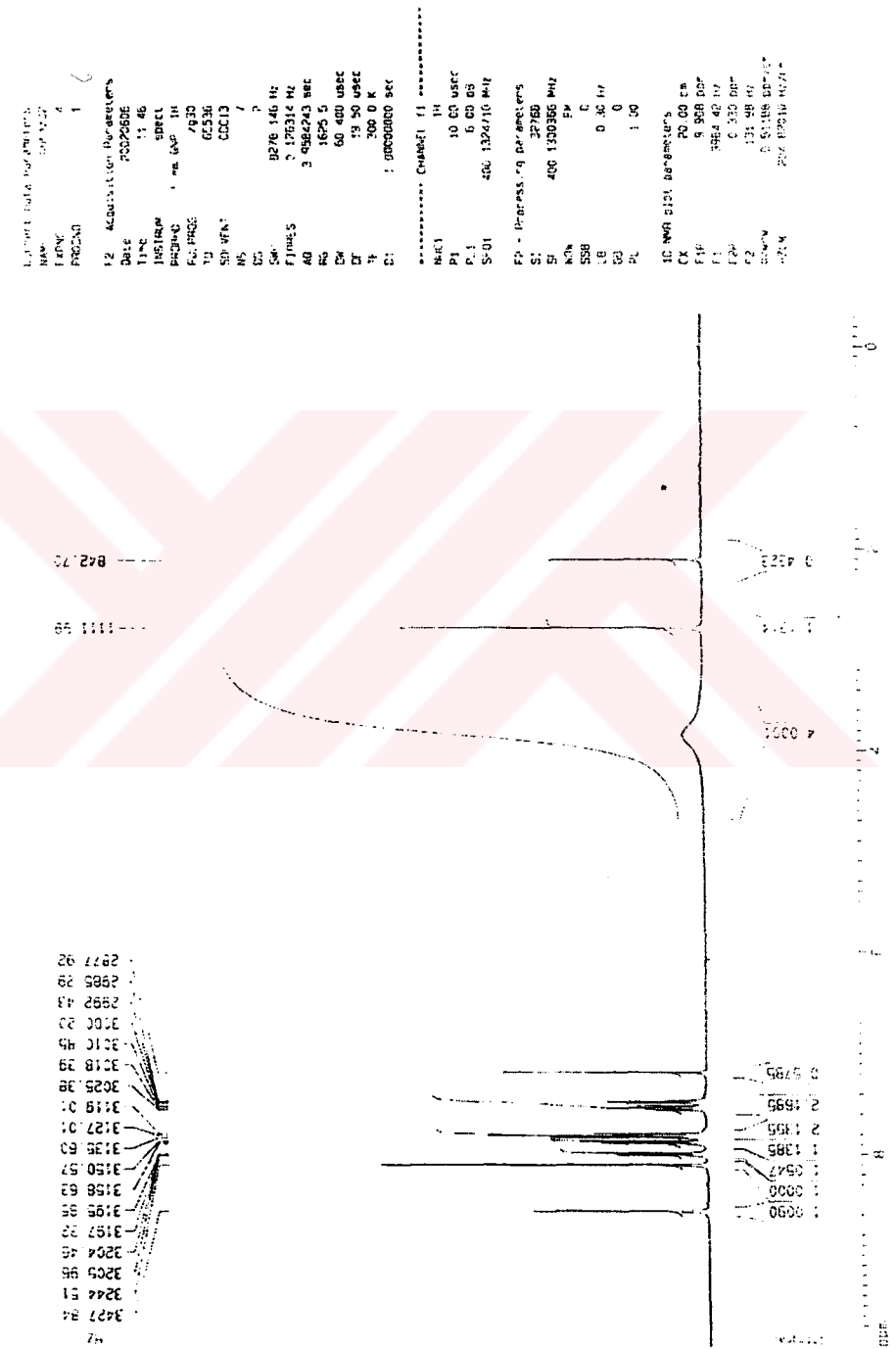


Sekil 2 Metilmino-izonitrozo-2-asetilnaftalin'in $^1\text{H-NMR}$ spektrumu.

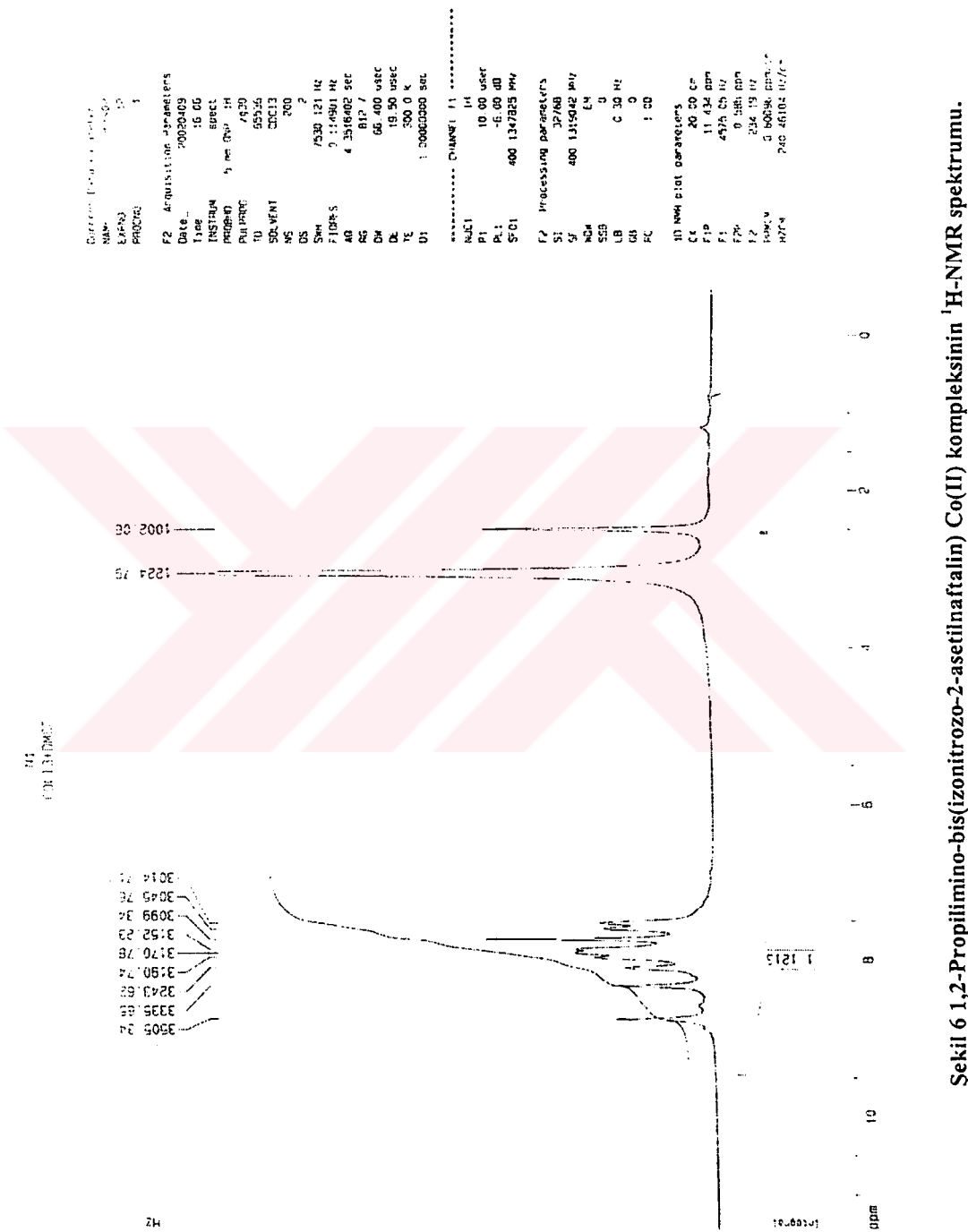


Şekil 3 Benzilimino-izonitrozo-2-asetilnaftalin'in ^1H -NMR spektrumu.



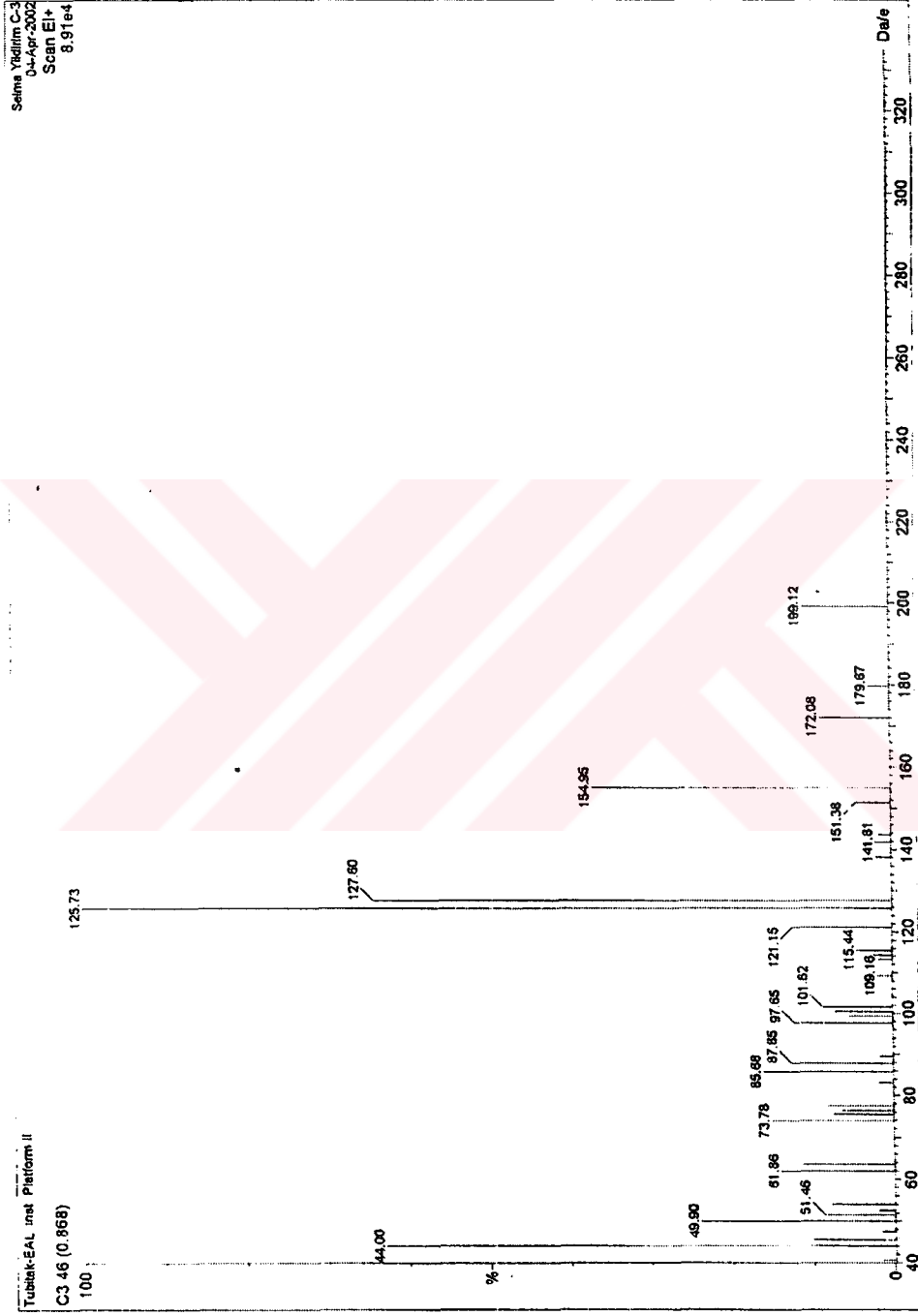


Şekil 5 1,2-Etil imino-bis(izonitrozo-2-asetilnaftalin)in $^1\text{H-NMR}$ spektrumu.

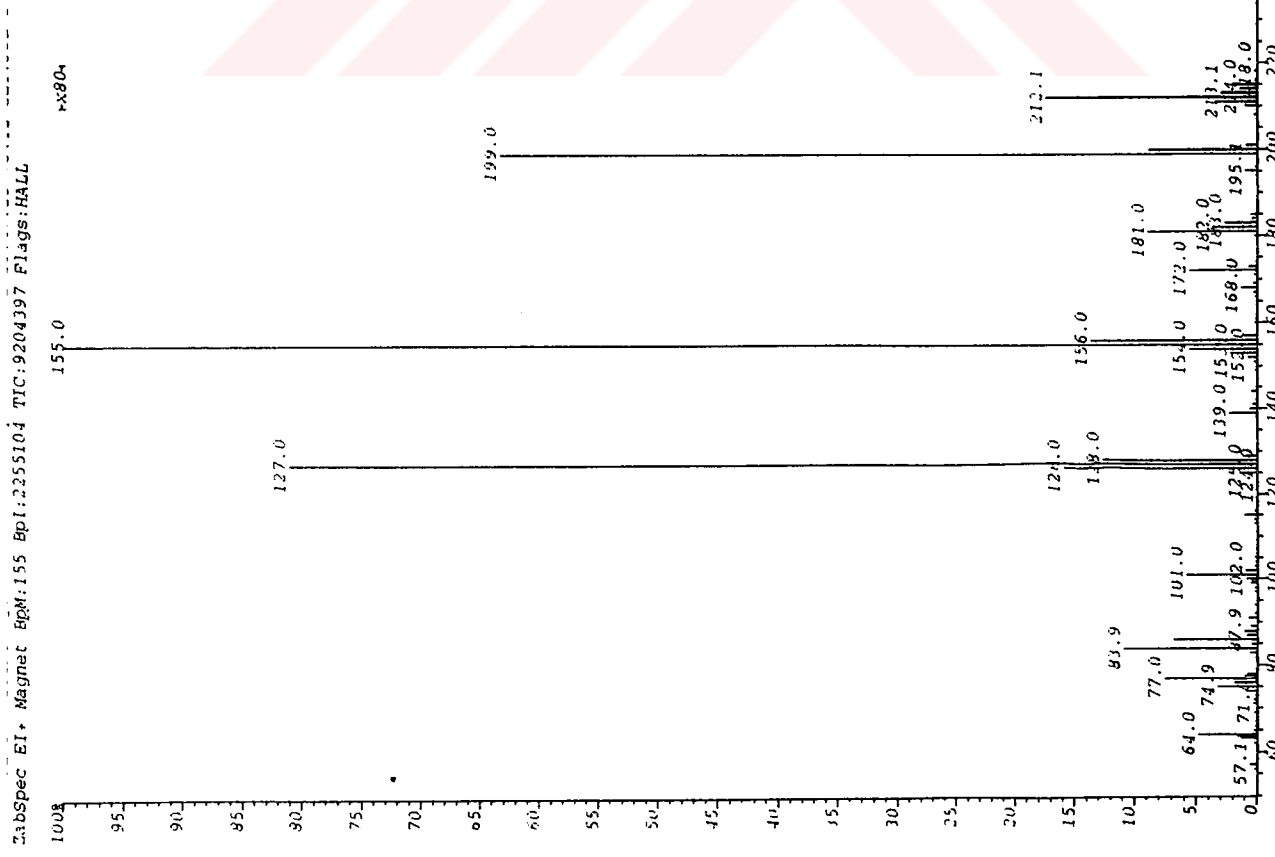


Sekil 6 1,2-Propilimino-bis(izonitrozo-2-asetinnaftalin) Co(II) kompleksinin $^1\text{H-NMR}$ spektrumu.

EK.IV.Ligand ve Komplekslerin Kütle Spektrometri

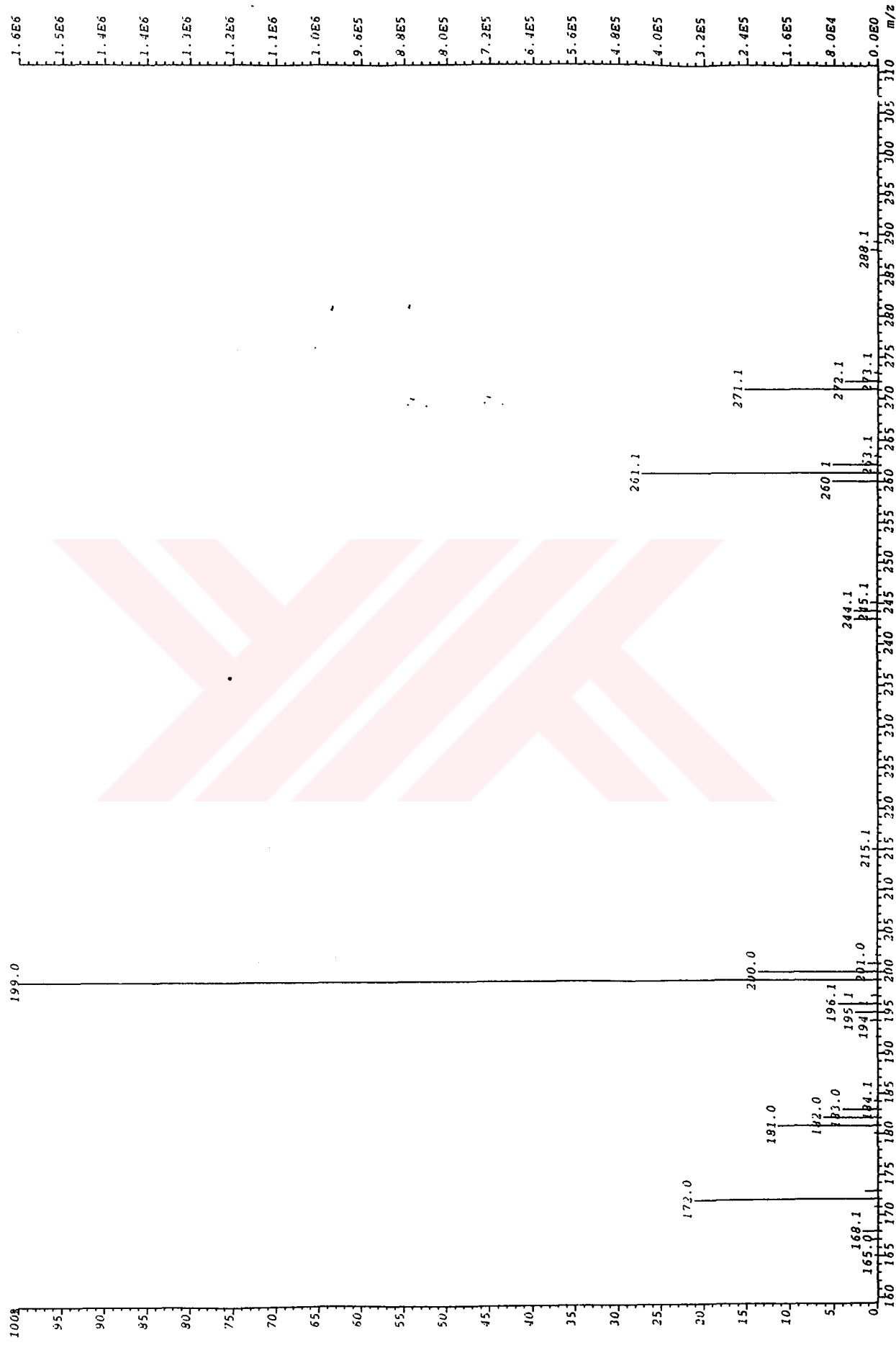


Sekil 1 4-nitro-2-acetylacetophenone'in kütle spektrumu.

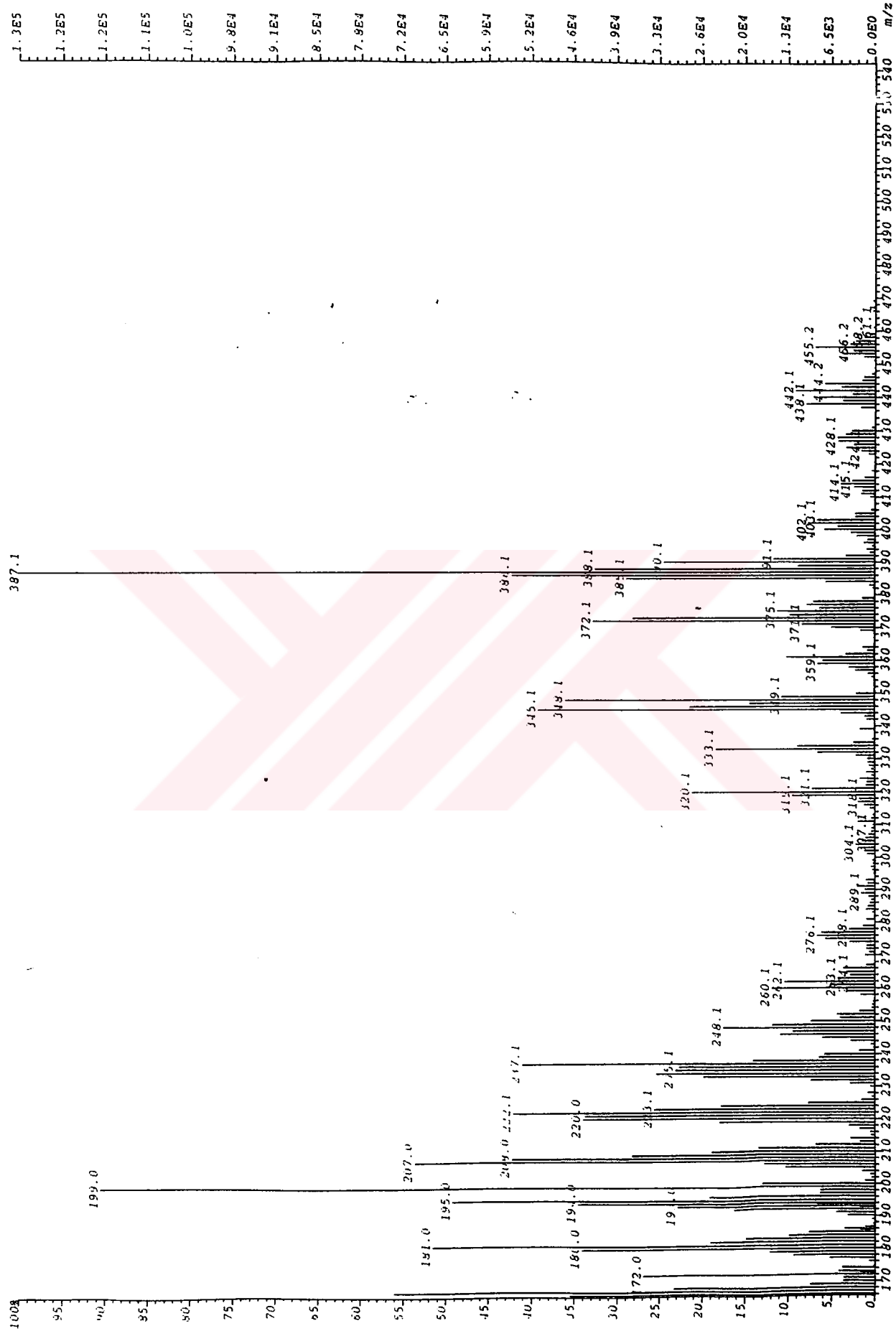


Metilimino-izonitrozo-2-asetilnaftalimin MS spektrumu

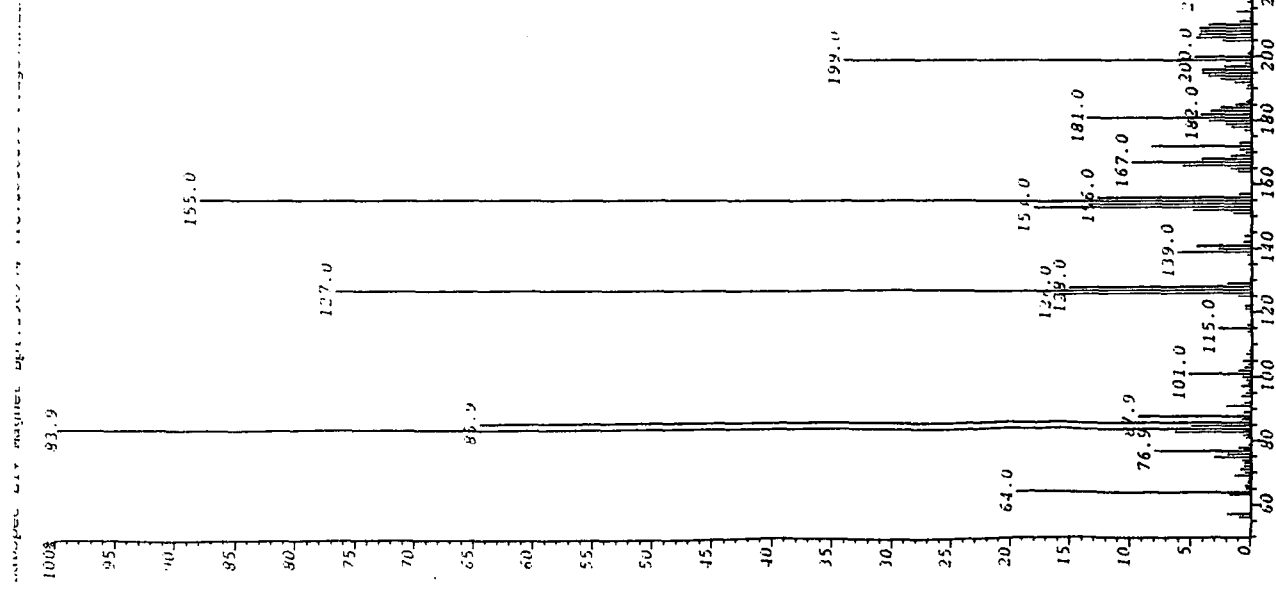
File:JUL-2-B Ident:6_7-11¹² Win 1000PPM Acq: 2-JUL-2002 10:39:26 +0:23 Cal:JUL-2
Zanspec EI+ Magnet Bpm:155 Bpi:2998848 TIC:14210040 Flags:HALL



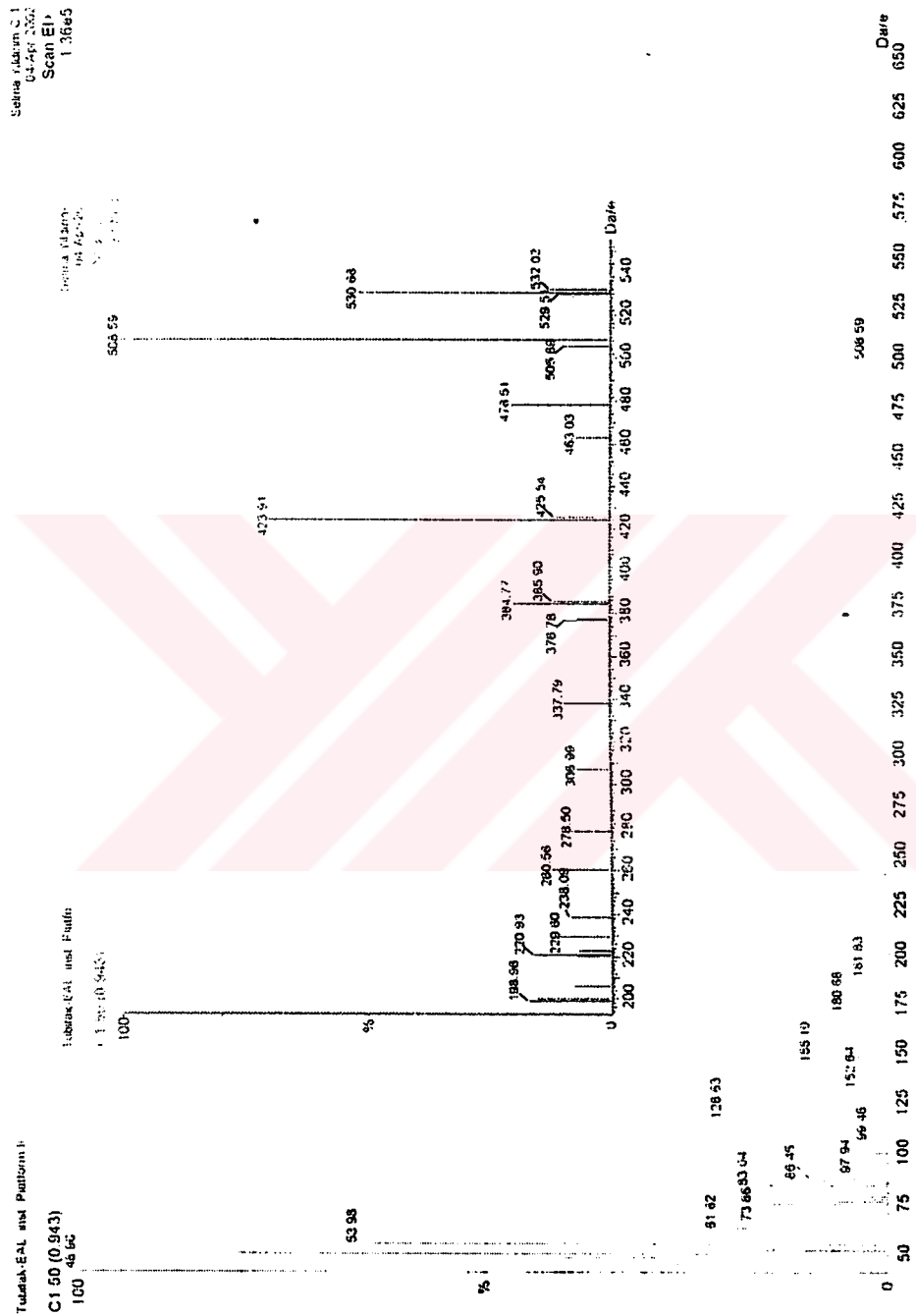
Benzilimino-izonitrozo-2-asetilnaffalinin MS spektrumu



Propilimino-bis(zonitrozo-2-acetylaffalin)in MS spektrumu

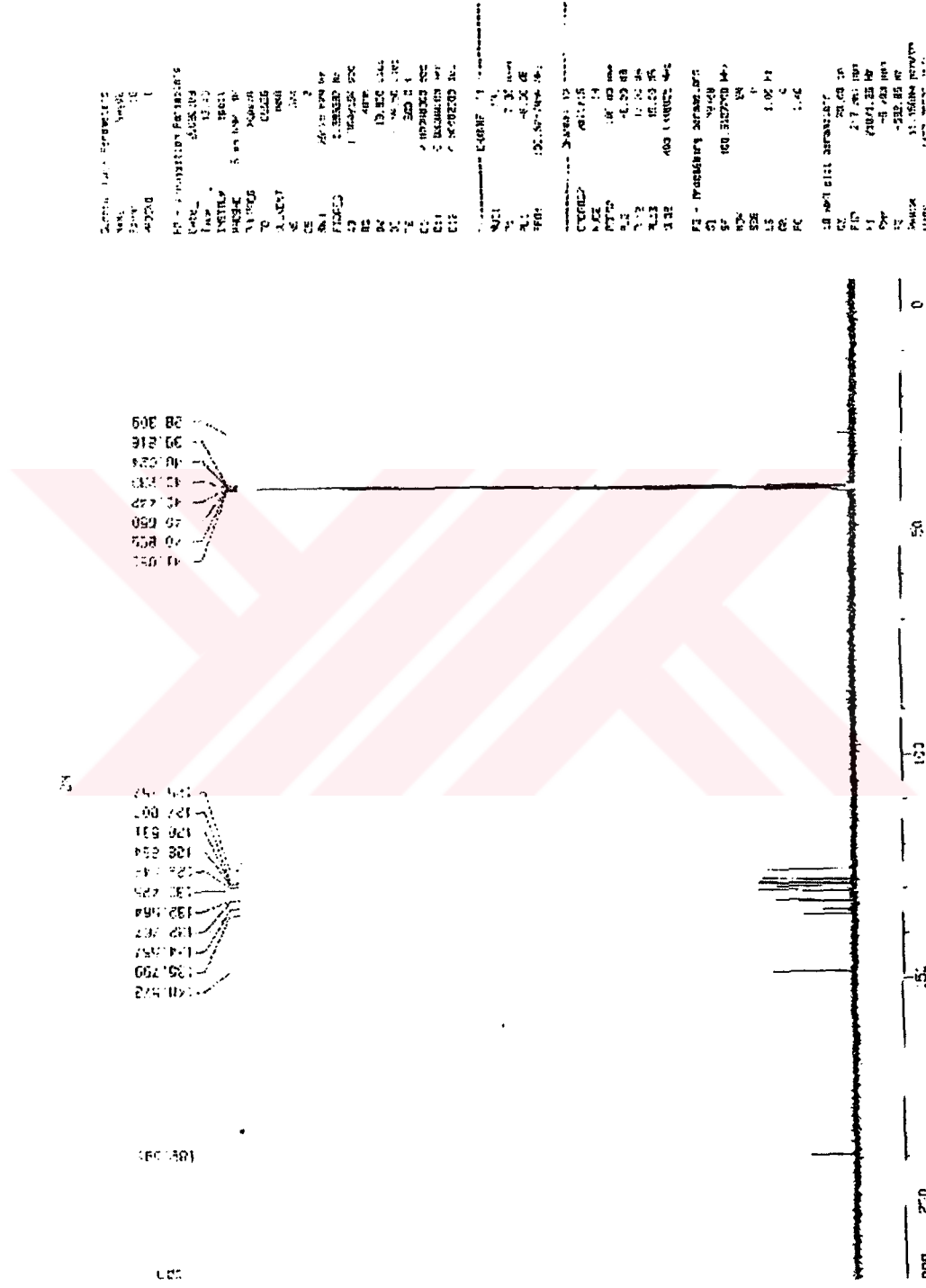


Etilimino-bis(izonitrozo-2-asetilnaftalin)in MS spektrumu

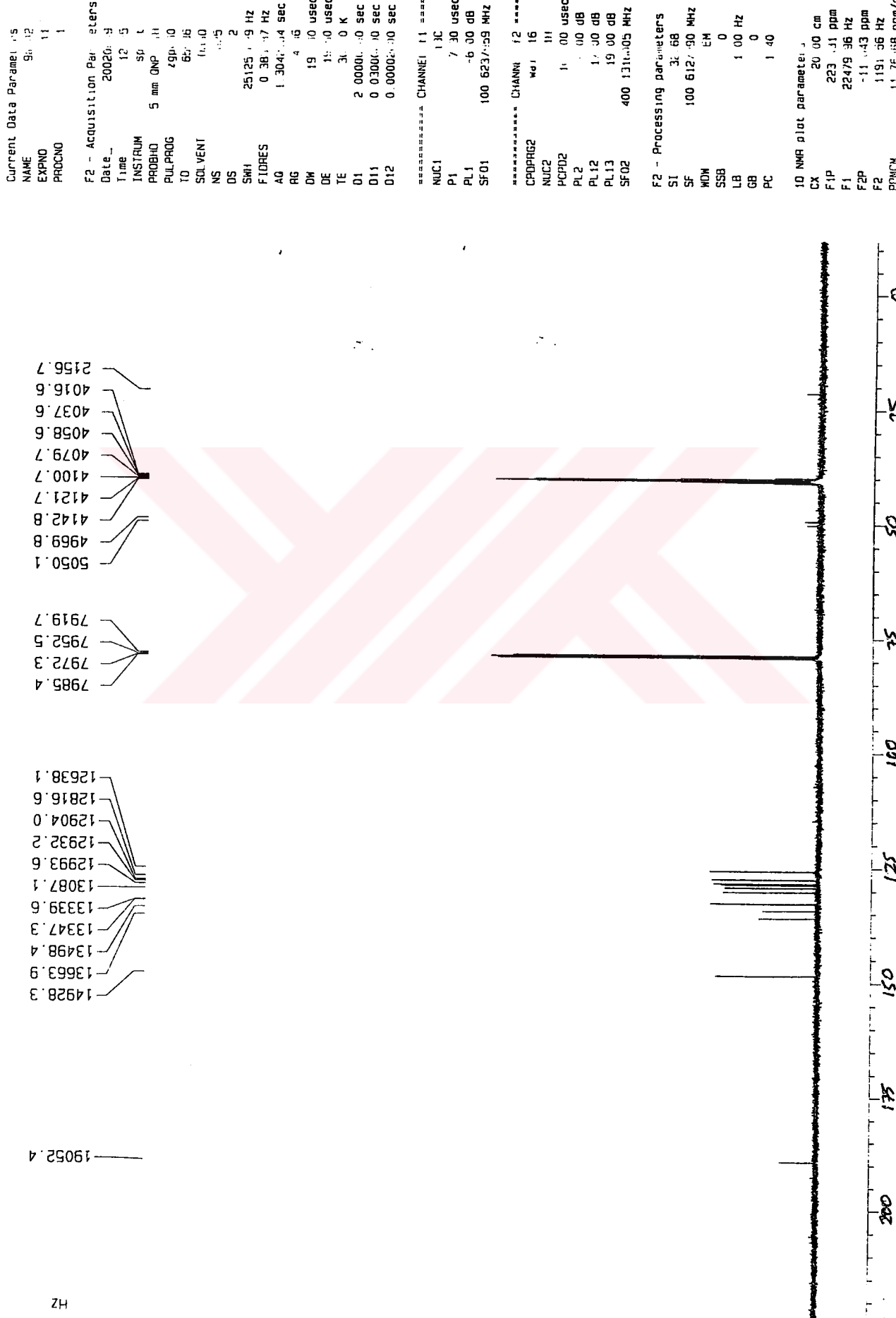


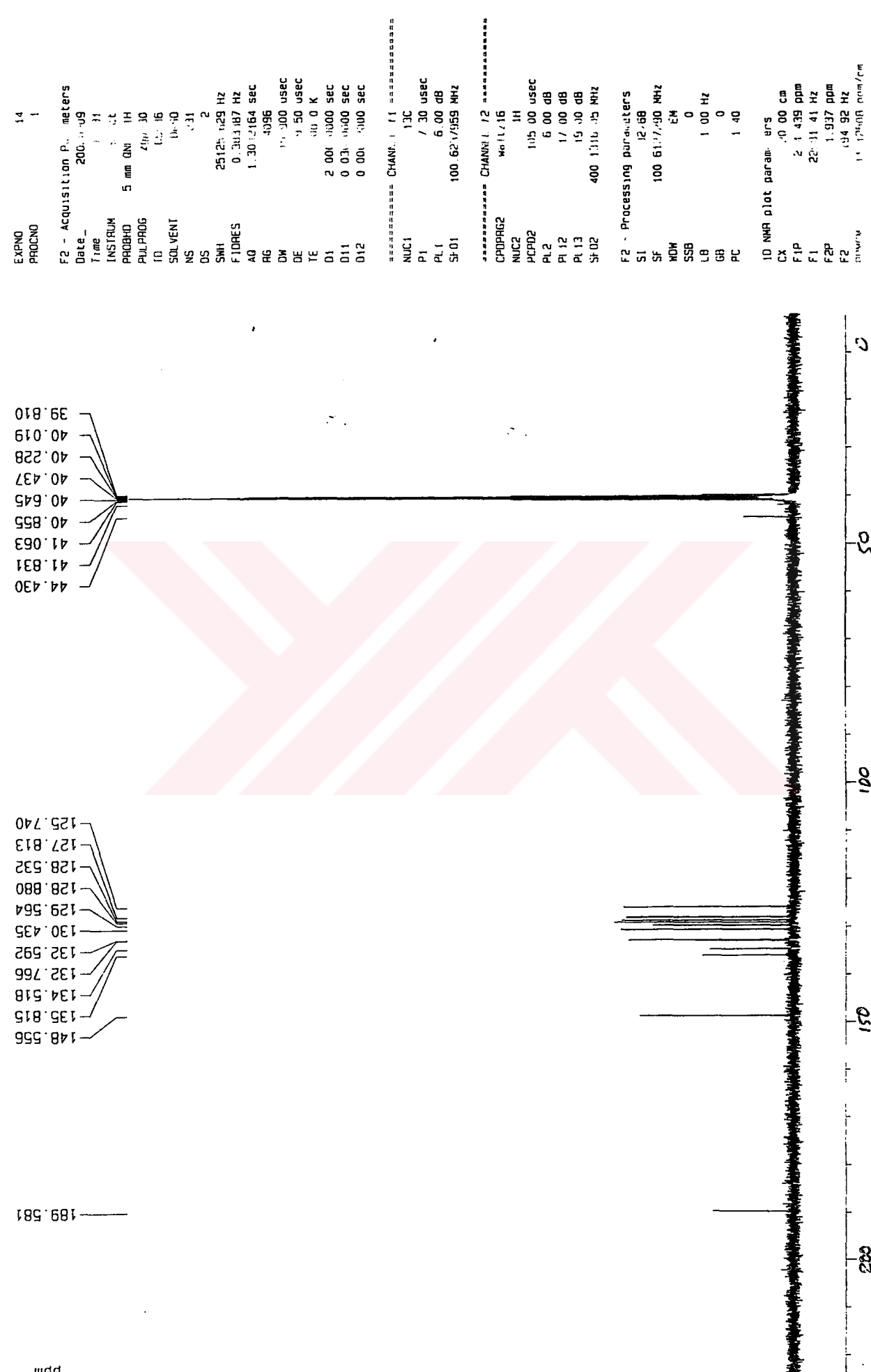
Şekil 2 1,2-Propil imino-Bis(isonitrozo-2-asetilnaftalin) Co(II) Kompleksi'nin Kütle Spektrumu.

EK.V: Ligandların ^{13}C -NMR Spektrumları



Sekil 2 Metiljimino-izonitrozo-2-asetilnaftalin'in ^{13}C -NMR spektrumu.





Etilimino-bis(izonitrozo-2-asetilnaftalin)in ¹³C-NMR spektrumu

ÖZGEÇMİŞ

Selma Yıldırım UÇAN 1966 yılında Konya-Ereğli' de doğdu. İlk öğrenimini Servili Köyü İlkokulu'nda, Orta ve Lise öğrenimini, Gaziantep Kilis Kız Öğretmen Lisesinde tamamladı. 1987 yılında Hacettepe Üniversitesi Eğitim Fakültesi Kimya Bölümü'ne girdi ve 1993 yılında Lisans eğitimini tamamladı. 1993 yılında Niğde Üniversitesi Fen Edebiyat Fakültesi Kimya Bölümünde Araştırma Görevlisi olarak görevye başladı. Yüksek Lisansını 1996 yılında Niğde Üniversitesi Fen Bilimleri Enstitüsünde tamamladı. Aynı yıl başladığı Doktora eğitimi halen devam etmektedir. Yabancı dili Almancadır.